50376 1074 N° d'ordre : 437

50376 1974 59

# THESE

présentée à

L'UNIVERSITÉ DES SCIENCES ET DES TECHNIQUES DE LILLE

pour obtenir le titre de

DOCTEUR DE SPECIALITÉ

par

Marc GODON

DANS LE SPECTRE DE ROTATION

DES MOLECULES DE METHYLE CARBYLAMINE



Soutenue le 30 janvier 1974 devant la Commission d'examen

Membres du Jury

M. WERTHEIMER Président
M. MAES Rapporteur
M. DELHAYE Examinateur
Mle BAUER Examinateur
Mme TARRAGO Membre invité

U. E. R. DE PHYSIQUE FONDAMENTALE

#### DOYENS HONORAIRES de l'Ancienne Faculté des Sciences

MM. H. LEFEBVRE, R. DEFRETIN

#### PROFESSEURS HONORAIRES des Anciennes Facultés de Droit et Sciences Economiques, des Sciences et des Lettres

M. ARNOULT, Mme BEAUJEU, MM. BROCHARD, CAU, CHAPPELON, CHAUDRON, CORDONNIER, DEHEUVELS, DEHORNE, DEHORS, FAUVEL, FLEURY, P. GERMAIN, HEIM DE BALSAC, HOCQUETTE, KAMPE DE FERIET, KOURGANOFF, LAMOTTE, LELONG, Mme LELONG, LIEBAERT, MARTINOT-LAGARDE, MAZET, MICHEL, NORMANT, PEREZ, ROIG, ROSEAU, ROUBINE, ROUELLE, WIEMAN, ZAMANSKI.

#### PRESIDENT DE L'UNIVERSITE DES SCIENCES ET TECHNIQUES DE LILLE

M. PARREAU

Professeur

#### PROFESSEURS TITULAIRES

M. BACCHUS Pierre Astronomie M. BEAUFILS Jean-Pierre Chimie Générale M. BECART Maurice Physique M. BIAYS Pierre Géographie M. BONNEMAN Pierre Chimie et Physico-Chimie Industrielle M. BONTE Antoine Géologie Appliquée M. BOUGHON Pierre Mathématiques M. BOURIQUET Robert Biologie Végétale M. CELET Paul' Géologie M. CONSTANT Eugène Physique Industrielle-Electronique M. CORSIN Pierre Paléobotanique M. DECUYPER Marcel Mathématiques Générales M. DELATTRE Charles Géologie Générale M. DURCHON Maurice Zoologie Générale et Appliquée M. FAURE Robert Mécanique M. FOURET René Physique M. GABILLARD Robert Radio-Electricité-Electronique M. GLACET Charles Chimie Organique M. GONTIER Gérard Mécanique M. GUILLAUME Jean Biologie Végétale M. HEUBEL Joseph Chimie Minérale M. LANSRAUX Guy Physique Mme LENOBLE Jacqueline Physique Expérimentale M. LOMBARD Jacques Sociologie M. MAILLET Pierre Sciences Economiques et Sociales

M. MONTARIOL Frédéric Chimie Appliquée M. MONTREUIL Jean Chimie Biologique M. POUZET Pierre Informatique (Lille) M. PROUVOST Jean Géologie Minéralogie Mme SCHWARTZ Marie-Hélène Analyse Supérieure M. TILLIEU Jacques Physique Théorique

M. TRIDOT Gabriel Chimie M. VAILLANT Jean Mathématiques M. VIDAL Pierre Automatique M. VIVIER Emile Biologie Animale M. WERTHEIMER Raymond Physique

M. ZEYTOUNIAN Radyadour Mathématiques

#### PROPESSEURS A TITRE PERSONNEL

M. BOUISSET Simon

M. DELHAYE Michel

M. DERCOURT Jean-Michel

M. LEBRUN André

M. LEHMANN Daniel

M. LINDER Robert

M. LUCQUIN Michel

M. PARREAU Michel

M. SCHILTZ René

Physiologie Animale

Chimie

Sciences de la Terre Electronique (Lille)

Mathématiques

Botanique

Chimie Physique

Mathématiques Appliquées

Physique

#### PROFESSEURS SANS CHAIRE

M. BELLET Jean

M. BILLARD Jean

M. BODARD Marcel

M. BOILLET Pierre

M. BONNOT Ernest

M. BRIDOUX Michel

M. CAPURON Alfred

M. DEPREZ Gilbert

M. DEVRAINNE Pierre M. GOUDMAND Pierre

M. GRUSON Laurent

M. GUILBAULT Pierre

M. LABLACHE-COMBIER Alain

M. LACOSTE Louis

M. LANDAIS Jean

Mme LEHMANN Josiane

M. LOUCHEUX Claude

M. MAES Serge

Mle MARQUET Simone

M. MONTEL Marc

M. PANET Marius

M. SALMER Georges

M. SEGUIER Guy

Physique Physique Botanique Physique

Biologie

I.U.T. Béthune Chimie Minérale

I.U.T. Lille

Chimie Minérale Chimie Physique

Mathématiques

Biologie

Chimie

Biologie

Chimie

Mathématiques

Chimie

Physique

Mathématiques

Physique

I.E.E.A.

I.E.E.A.

I.U.T. Béthune

#### MAITRES DE CONFERENCES (et chargés de fonctions)

M. ADAM Michel

M. ANDRE Charles

M. ANGRAND Jean-Pierre

M. ANTOINE Philippe

M. BART André

M. BEGUIN Paul

M. BKOUCHE Rudolphe

M. BOILLY Bénoni

M. BONNEMAIN Jean-Louis

M. BOSCQ Denis

M. BREZINSKI Claude

M. BRUYELLE Pierre

M. CARREZ Christian

M. CORDONNIER Vincent

M. CORTOIS Jean

M. COQUERY Jean-Louis

M. COULON Jean

M. CROSNIER Yves

M. COUTUREER Demiel

Economie Politique

Sciences Economiques

Géographie

Mathématiques

Biologie

Mécanique des Fluides

Mathématiques

Biologie

Biologie Végétale

Mathématiques

I.E.E.A.

Géographie et Aménagement Spatial

I.E.E.A.

Informatique

Physique

Thy brown

Biologie

I.E.E.A. E.U.D.I.L.

Chimie

#### MAITRES DE CONFERENCES (et chargés de fonctions) suite

Mle DACCHARI Monique Géographie et Aménagement Spatial M. DEBOURSE Jean-Pierre Sciences Economiques et Sociales M. DEBRABANT Pierre Sciences Appliquées M. DHAINAUT André Biologie M. DELAUNAY Jean-Claude Sciences Economiques et Sociales M. DERIEUX Jean-Claude Biologie (I.U.T.) M. DOUKHAN Jean-Claude Physique M. DRIEUX Baudouin I.E.E.A. M. DUEE Gérard Sciences de la Terre M. DYMENT Arthur Mathématiques M. ESCAIG Bertrand Physique Mme EVRARD Micheline Chimie (I.U.T.) I.U.T. Lille M. FONTAINE Jacques-Marie M. FOURNET Bernard I.U.T. Lille M. FROELICH Daniel Sciences Appliquées M. GAMBLIN André Géographie M. GOBLOT Rémi Mathématiques M. GOSSELIN Gabriel Sociologie Sciences Economiques M. GRANELLE Jean-Jacques M. GUILLAUME Henri Sciences Economiques et Sociales M. HECTOR Joseph S.E.N. Calais M. HERMAN Maurice Physique M. HUARD DE LA MARRE Pierre I.E.E.A. M. JOURNEL Gérard Sciences Appliquées Mle KOSMANN Yvette Mathématiques M. KREMBEL Jean Chimie M. LAURENT François Automatique Mle LEGRAND Denise Mathématiques Mle LEGRAND Solange Mathématiques M. LENTACKER Firmin Géographie et Aménagement Spatial M. LEROY Jean-Marie E.N.S.C.L. M. LEROY Yves Electronique (Lille) M. LHENAFF René Géographie M. LOCQUENEUX Robert Physique M. LOUAGE Francis Sciences Appliquées M. LOUCHET Pierre I.U.T. Lille M. MAHIEU Jean-Marie Physique (I.U.T. Lille) Géographie et Aménagement Spatial Mme N'Guyen Van Chi Régine M. MAIZIERES Christian I.E.E.A. M. MALAUSSENA Jean-Louis Sciences Economiques et Sociales M. MESSELYN Jean Physique M. MIGEON Michel Chimie (Sciences Appliquées) M. MOTZKIN Joseph Mathématiques M. MONTUELLE Bernard I.U.T. Lille M. NICOLE Jacques Chimie (E.N.S.C.L.) M. PAQUET Jacques Sciences Appliquées M. PARSY Fernand Mathématiques M. PECQUE Marcel Chimie (Béthune) M. PERROT Pierre Chimie M. PERTUZON Emile Biologie M. PONSCLLE Louis Chimie (Valenciennes) M. POVY Jean-Claude Sciences Appliquées M. RACZY Ladislas Physique M. ROGALSKI Marc Mathématiques M. ROUSSEAU Jean-Paul Physiologie Animale M. ROY Jean-Claude Biologie M. SIMON Michel Psychologie

Chimie

M. SLIWA Henri

.../...

#### MAITRES DE CONFERENCES (et Chargés de Fonctions) suite

M. SMET Pierre

M. SOMME Jean

Mle SPIK Geneviève

M. THERY Pierre

M. TOULOTTE Jean-Marc

M. TREANTON Jean-René

M. VANDORPE Bernard

M. VILETTE Michel

M. WERNER Georges

M. WATERLOT Michel

Mme ZINN JUSTIN Nicole

Physique Géographie

Chimie Biologique

Calais

Sciences Appliquées

Sciences Economiques et Sociales

Chimie Physique

Génie Mécanique (Béthune)
Informatique (I.U.T. Lille)

Géologie

Mathématiques

Ce travail a été effectué à l'U.E.R. de Physique Fondamentale de Lille, dans le laboratoire de Spectroscopie Hertzienne, Equipe associée au C.N.R.S., dirigé par Monsieur le Professeur WERTHEIMER qui a bien voulu me faire l'honneur de présider le Jury.

Monsieur le Professeur MAES a suivi les différentes phases de ce travail et n'a cessé de me prodiguer conseils et encouragements. Q'uil trouve ici l'expression de ma profonde et sincère gratitude.

Monsieur le Professeur DELHAYE a bien voulu juger mon travail, je lui en suis reconnaissant.

Je remercie particulièrement Mademoiselle BAUER, Chargée de Recherches au C.N.R.S., qui a dirigé ce travail avec compétence et une minutieuse patience.

Nous avons établi au cours de notre étude sur la molécule CH<sub>3</sub>NC une collaboration étroite avec Madame TARRAGO, Chargée de Recherches au C.N.R.S., qui a bien voulu se joindre au Jury. Qu'elle trouve ici l'expression de ma reconnaissance.

Je remercie aussi tous les membres du Centre Interuniversitaire du Traitement de l'Information et en particulier Madame REMY et Madame WERTHEIMER qui m'ont aidé dans la mise au point des programmes de calcul.

Enfin, j'adresse tous mes remerciements à ceux qui ont contribué à l'élaboration matérielle de ce mémoire, en particulier Madame LECROART et Messieurs, CAREY, RAFFAUD et VILAIN.

#### ERRATA

Dans tout le texte, remplacer méthyle carbylamine par méthyl carbylamine.

- p. 8 ligne 13 lire : le hamiltonien s'est trouvé réduit à ses seuls éléments diagonaux.
- p. 13 et 23 : remplacer  $D_J$  et  $D_{JK}$  par  $D_e^J$  et  $D_e^{JK}$
- p. 22 et 23 : remplacer B\*xx par B\*xx\*
- p. 24 : en bas de page lire : nous avons ainsi effectué
- p. 30 ligne 14 : remplacer en une somme de matrices par : en une somme directe de matrices.
- p. 45 : en bas de page remplacer en une somme de sous-matrices par : en une somme directe de sous-matrices.
- p. 69 et 70 :  $F = 2 B_{v_{+}}^{xx} = 3 (J + 1) 4 D_{e}^{J} (J + 1)^{3}$  .....
- p. 90, 92, 97, 104, 108 et 112 : ajouter en bas de page : Les raies notées \* ne sont pas utilisées pour la détermination des constantes par la méthode de moindres carrés.
- p. 82 et 86 : remplacer |K| par  $|K|\ell_{r} 1$
- : remplacer les termes diagonaux en  $(q_{12}^8)$ par : les éléments non diagonaux en (q812).
- : dernière ligne lire : l'étude de l'état excité de deux isotopes ...  $\frac{\Delta F \mid K \mid \ell_t 1 \mid}{4 \mid (J + 1)}$ : dernière ligne lire :  $\frac{\Delta F \mid K \mid \ell_t 1 \mid}{4 \mid (J + 1)}$ p. 10
- p. 29 ligne 6: remplacer  $|K = \frac{1}{2} 3$ ,  $\ell_{t} = \frac{1}{2} 2 > par |K = \frac{1}{4} 3$ ,  $\ell_{t} = \frac{1}{4} 2 > par |K = \frac{1}{4} 3$
- p. 29 ligne 7 : remplacer  $|K = \frac{1}{4}, \ell_t = \frac{1}{4} > par |K = \frac{1}{4}, \ell_t = \frac{1}{4} > p$ . 67 ligne 10 lire :  $B^{XX} = B^{XX}_{v_t} = 1 D^{JK}_{e} + \eta_t^J \frac{12 (q_{1,2}^t)^2}{\rho}$
- p. 108 : remplacer 162 161,097 par 162 171,411 et 47,427 par 57,742.

# - SOMMAIRE-

		Page
	INTRODUCTION -	1
-	CHAPITRE I -	2
	I - 1 - DEVELOPPEMENT DU HAMILTONIEN- ENERGIE DE ROTATION	
	I - 2 - CALCUL DES FREQUENCES DES TRANSITIONS DE ROTATION PURE D'UNE MOLECULE DE SYMETRIE C30 DANS UN ETAT	
	EXCITE V <sub>t</sub> = 4	3
	CHAPITRE 11 - : ETUDE DE LA METHYLE CARBYLAMINE ET APPAREILLAGE	5
	CHAPITRE III- : ETAT FONDAMENTAL	8
	- Spectre de CH <sub>3</sub> <sup>14</sup> NC - Spectre de CH <sub>3</sub> <sup>15</sup> NC	8
	- Spectre de CH <sub>3</sub> 15NC	8
-	CHAPITRE IV - : ETAT EXCITE V = 1	10
	- Spectre de CH <sub>3</sub> <sup>14</sup> NC	18
	- Spectre de CH <sub>3</sub> <sup>15</sup> NC	21
	CHAPITRE V-1 : ETAT EXCITE Ug = 2	24
	- Spectre de CH <sub>3</sub> <sup>14</sup> NC	24
	- Spectre de CH <sub>3</sub> <sup>15</sup> NC	29
-	CHAPITRE V-2+: CALCUL DIRECT DES FREQUENCES DES RAIES DE RESONANCE	
	DE L'ETAT U8= 1 DE CH3 14 NC	29
-	CHAPITRE VI - : ETAT EXCITE Ug = 3	32
	- Spectre de CH <sub>3</sub> <sup>14</sup> NC	37
	- Spectre de CH <sub>3</sub> <sup>15</sup> NC	44
	Mise en évidence du dédoublement $(K=\pm 3, l_t=\pm 3)$	44
-	CHAPITRE VII -: ETAT EXCITE Ug= 4	52
À	- Spectre de CH <sub>3</sub> <sup>14</sup> NC	52
	- Spectre de CH <sub>3</sub> <sup>15</sup> NC	61
-	CHAPITRE VIII -: SPECTRES SECONDAIRES	62
-	CONCLUSION -	65

### - APPENDICES -

* · ·	
	66
	67
	68
	69
	71ر ب
	74
	75
* ·	76
	77
	78
	80
CH <sub>3</sub> <sup>14</sup> NC Fréquences F <sub>o</sub> de v=1	82
CH <sub>3</sub> <sup>15</sup> NC Fréquences F <sub>o</sub> de v=1	86
Raies $CH_3^{14}NC v = 1$	89
Races $CH_3^{15}NC v = 1$	91
Races $CH_3^{14}NC v = 2$	93
Raies $CH_3^{15}NC v = 2$	98
Raies $CH_3^{14}NC v = 3$	100
Raies $CH_3^{15}NC v = 3$	105
Raies $CH_3^{14}NC v = 4$	109
Raies $CH_3^{15}NC v = 4$	113
	115
7	117
Raies CH <sub>3</sub> <sup>15</sup> NC Spectres secondaires	118
Raies $CH_3^{15}NC v_4 = 1$	120
Raies non identifiées	121
IBLIOGRAPHIE -	122
	Raies $CH_3^{14}NC$ $v = 1$ Raies $CH_3^{15}NC$ $v = 1$ Raies $CH_3^{15}NC$ $v = 2$ Raies $CH_3^{15}NC$ $v = 2$ Raies $CH_3^{15}NC$ $v = 3$ Raies $CH_3^{15}NC$ $v = 3$ Raies $CH_3^{15}NC$ $v = 4$ Raies $CH_3^{15}NC$ $v = 4$ Raies $CH_3^{15}NC$ $v = 4$ Raies $CH_3^{14}NC$ Spectres secondaires  Raies $CH_3^{15}NC$ $v_4 = 1$ Raies $CH_3^{15}NC$ Spectres secondaires  Raies $CH_3^{15}NC$ Spectres secondaires

L'étude de l'intéraction rotation-vibration de molécules symétriques est surtout intéressante dans le cas de vibration dégénérée par plusieurs quantums, car dans ce cas de nombreux couplages entre niveaux d'énergie interviennent. Cependant, l'observation des transitions en Spectroscopie Hertzienne n'est accessible que si la population de ces niveaux est suffisante, c'est-à-dire si l'énergie de ces états de vibration est relativement basse. C'est précisément le cas de l'acétonitrile ( où  $v_g$ = 361 cm $^{-1}$ ) et du trioxane, molécules déjà étudiées au laboratoire respectivement par A. BAUER et J.M. COLMONT pour des états de vibration dégénérée excités par deux quantums.

La méthyle carbylamine est à ce point de vue une molécule encore plus favorable, car elle présente une vibration dégénérée dont l'énergie ne se situe qu'à 263 cm $^{-1}$  de celle du niveau fondamental.

Dans une première partie nous avons rappelé les principes théoriques et décrit l'appareillage utilisé pour l'étude du spectre de cette molécule. La deuxième partie a été consacrée à l'étude de la résonance dans l'état excité de vibration  $v_g=1$ ; pour cela il a été nécessaire de procéder à une étude préliminaire de l'état fondamental. De plus, le calcul exact des raies quasi-dégénérées de l'état  $v_g=1$  a exigé la connaissance de certaines constantes qui n'ont pu être déterminées que grâce à l'analyse de l'état  $v_g=2$ .

La dernière partie a été consacrée d'une part à l'étude de l'état  $v_g=3$  où on a mis en évidence et interprété le dédoublement des raies (K =±3,  $l_{t}=\pm3$ ), phénomène jusqu'alors non observé et d'autre part celle de l'état  $v_g=4$ .

# - I - <u>1 - DEVELOPPEMENT DU HAMILTONIEN</u> ENERGIE DE ROTATION

La spectroscopie moléculaire à haute résolution connait actuellement des développements importants. L'interprétation des spectres de grande précision nécessite l'élaboration d'une théorie très complexe qui tienne compte notamment de l'interaction rotation-vibration. A notre connaissance, les calculs de correction d'énergie de rotation-vibration d'une molécule polyatomique portés à l'ordre de perturbation le plus élevé sont ceux obtenux par H.H. NIELSEN et G. AMAT {1} poursuivis par S. MAES {2} et S.K. KURTZ {3}, puis par G.TARRAGO {4} Le hamiltonien utilisé est celui que proposent B.T. DARLING et D.M. DENNISSON {5}

$$H = \frac{1}{2} \left\{ \sum_{\alpha,\beta} \mu^{\frac{1}{4}} (P_{\alpha} - P_{\alpha}) \mu_{\alpha\beta} \mu^{-\frac{1}{2}} (P_{\beta} - P_{\beta}) \mu^{\frac{1}{4}} + \sum_{s,\sigma} \mu^{\frac{1}{4}} P_{s\sigma}^{*} \mu^{-\frac{1}{2}} p_{s\sigma}^{*} \mu^{\frac{1}{4}} + V \right\}$$
(1)

Dans cette équation,  $\alpha$  et  $\beta$  caractérisent les composantes du moment cinétique total  $\vec{P}$  ou du moment cinétique interne  $\vec{p}$  suivant l'un des axes x, y, z du trièdre principal d'inertie de la molécule;  $\vec{p}^*$  est le moment conjugué de la coordonnée normale  $Q_{s\sigma}$ ;  $\mu_{\alpha\beta}$  est un des éléments de la matrice de transformation permettant de passer des composantes du vecteur  $(\vec{P}-\vec{p})$  aux composantes du vecteur vitesse angulaire  $\vec{\Omega}$ :  $\Omega_{\alpha} = \sum_{\beta} \mu_{\alpha\beta} (P_{\beta}-p_{\beta})$ ;  $\mu$  est le déterminant de la matrice  $\mu_{\alpha\beta}$ ; V représente la fonction potentielle.

Ces auteurs développent le hamiltonien en série en fonction des coordonnées normales  $\{1\}$ 

$$H = H_0 + H_1 + H_2 + \dots + H_n + \dots$$

Ensuite ils opèrent une double transformation de contact

$$(H' = T H T^{-1}; H^{+} = \mathcal{C}H' \mathcal{C}^{-1})$$
 et obtiennent alors  $H^{+} = H_{0} + H^{+}_{1} + H^{+}_{2} + \dots + H^{+}_{n} + \dots$ 

<sup>(1)</sup> Ce hamiltonien est actuellement controversé par R. WERTHEIMER {6}, cependant il ne semble pas que les termes qui diffèrent dans les deux hamiltoniens interviennent dans le calcul des transitions de rotation pure en l'absence de résonance vibrationnelle à l'ordre d'approximation adopté.

Dans le hamiltonien transformé  $H^+$ ,  $H_0^+$ ,  $H_1^+$ ,  $H_1^+$  est diagonal par rapport aux nombres quantiques  $v_s$  dans la base  $|J, K, v_s|$ ,  $\ell > en l'absence de résonances vibrationnelles(2).$ 

Par contre  $H_3^+$  admet des termes non diagonaux en  $v_s$ , mais ceux-ci ne contribuent à l'énergie qu'au sixième ordre (3). Sur la matrice  $H_s^+$  diagonale en  $v_s$  et J mais non diagonale en K et  $\ell$ , les auteurs précédents ont effectué un calcul de perturbation de façon à obtenir des expressions de l'énergie pour chaque valeur de  $v_s$  et  $\ell$ .

Pour cela il a fallu déterminer la forme des éléments de la matrice  $H^+$  susceptibles d'être différents de zéro en fonction du type de symétrie de la molécule G. AMAT  $\{8\}$  a établi à partir de considérations de théorie des groupes une règle donnant la condition pour qu'un élément matriciel  $\{J,K,\ \ell_t\mid H^+\mid J,K+\Delta K,\ \ell_t+\Delta \ell_t\}$  soit différent de zéro.

Pour une molécule de symétrie C3v, cette règle devient:

 $\Delta K - \sum_i \Delta k_i = 3p$  avec p entier. Il a fallu également faire un tri des t différents termes de façon à éliminer ceux qui ne sont pas susceptibles de donner lieu à une observation expérimentale. Les auteurs précédents n'ont conservé que les termes contribuant à l'énergie au quatrième ordre en vibration et sixième ordre en rotation.

L'expression de l'énergie obtenue pour l'état fondamental de vibration ainsi que celle des états de vibration dégénérée  $v_E = v_t = 1$ , 2 et 3 sont rassemblées dans la monographie de G. AMAT, H.H. NIELSEN et G. TARRAGO  $\{7\}$ 

A partir des règles de sélection pour des transitions de rotation pure de molécules  $C_{3v}(\Delta J=1,\Delta K=0,\ \Delta l_{t}=0,\ A_{1}\leftrightarrow A_{2},\ E\leftrightarrow E)$ , on obtient les expressions des fréquences de rotation qui sont données en appendice.

# - 1 - 2 - CALCUL DES FREQUENCES DES TRANSITIONS DE ROTATION PURE D'UNE MOLECULE DE SYMETRIE $C_3$ DANS UN ETAT EXCITE $v_{\pm}$ = 4.

La sensibilité de notre appareillage a permis l'observation de raies appartenant au spectre de rotation d'un état excité de vibration  $v_t$  = 4.

<sup>(2)</sup> Ce calcul exclut le cas de molécules contenant des vibrations triplement dégénérées.

<sup>(3)</sup>L'ordre de contribution à l'énergie utilisé est celui que définissent G. AMAT, H.H. NIELSEN et G. TARRAGO dans la monographie "rotation-vibration of Polyatomic molecules" {7}; cet ordre de grandeur est différent de celui qui est habituellement défini dans les calculs de perturbation.

Or, à notre connaissance, aucune publication sur ce sujet n'est encore parue. Nous avons donc calculé les expressions des fréquences de rotation pure à partir des expressions de l'énergie données par G. TARRAGO  $\{9\}$ . Les règles de sélection utilisées sont les mêmes que celles que nous avons rappelées précédemment. L'expression générale des fréquences est décomposée en plusieurs formules correspondant aux différentes valeurs du nombre quantique  $\ell_t(\ell_t=0,\pm 2,\pm 4)$ . Ces expressions sont rapportées dans l'appendice n°5.

#### CHAPITRE-11-

### ETUDE DE LA METHYLE CARBYLAMINE ET APPAREILLAGE

#### II - 1 - ETUDE DE LA METHYLE CARBYLAMINE

La méthyle carbylamine  ${\rm CH_3}$  NC est une molécule de symétrie  ${\rm C_{3v}}$  qui se prête particulièrement bien à l'étude de spectres d'états excités par plusieurs quantums. En effet, d'une part elle possède un moment dipolaire électrique permanent élevé ( $\mu$  = 3,83  $\pm$  0,06 Debyes, {10}), d'autre part la fréquence de son mode de vibration  $\nu_8$  de type E est basse ( $\nu_8$ = 263 cm $^{-1}$ ) {11}

Compte tenu de la sensibilité du spectromètre utilisé, il nous a donc été possible d'observer de nombreux spectres de rotation correspondant aux états excités  $v_8$ ,  $2v_8$ ,  $3v_8$  et même  $4v_8$ .

Le coefficient de couplage quadripolaire de CH<sub>3</sub><sup>14</sup>NC étant faible ( eq Q= 0,483 MHz, {12}), le pouvoir de résolution de notre spectromètre étant insuffisant, la structure hyperfine quadripolaire n'a jamais pu être mise en évidence et a donc été négligée. Une première étude des spectres de rotation de la carbylamine CH<sub>3</sub><sup>14</sup>NC a été effectuée par M. BOGEY {13}, {14}. Nous l'avons développée pour des valeurs de J et de v<sub>8</sub> plus élevées. En même temps nous avons relevé les spectres de rotation de la carbylamine CH<sub>3</sub><sup>15</sup>NC. Le produit utilisé pour ce dernier type d'expériences n'est enrichi qu'à 73,5% de <sup>15</sup>N et comporte encore 26,5 % de CH<sub>3</sub><sup>14</sup>NC. Il est donc nécessaire de connaître le spectre de la méthyle carbylamine CH<sub>3</sub><sup>14</sup>NC avant de commencer l'interprétation du spectre de l'isotope CH<sub>3</sub><sup>15</sup>NC.

#### II - 2 <u>- APPAREILLAGE UTILISE</u>

Les mesures ont été effectuées en spectrométrie vidéo classique. La cellule utilisée est constituée d'un guide standard RG 53/U de 8 m de long et comportant 3 coudes à 180° dans le plan E.

Les sources hyperfréquences utilisées sont des klystrons reflex balayés à la fréquence de 50 Hz par une tension en dent de scie appliquée sur le réflecteur. Nous utilisons ces sources soit dans leur gamme fondamentale soit dans leur harmonique de rang 2 ou 3. La multiplication de fréquence est produite à l'aide d'appareils commerciaux (Philips, Custom Microwave) ou grâce à un multiplicateur mis au point au laboratoire {15}. Les signaux de sortie sont captés par

des détecteurs à cartouche Philips ou à "moustache" (Philips, Custom Microwave).

Les types d'appareils utilisés dans les différentes gammes de fréquence de travail sont donnés dans le tableau  $\{II-1\}$ . La mesure précise de la fréquence F d'une raie est effectuée de la façon suivante: On fait battre sur un cristal mélangeur une fréquence F' fixe et de valeur connue, à la précision d'un étalon de fréquence ( la stabilité relative à court terme est de  $10^{-11}$ ), avec l'hyperfréquence de la gamme fondamentale du klystron et l'on mesure la fréquence intermédiaire  $F_i$ . Dans ce montage la fréquence F' prend des valeurs discrètes et il est donc nécessaire d'utiliser un amplificateur à fréquence variable ( récepteur de trafic Hammarlund) afin d'obtenir la fréquence  $F_i$ , qui est alors mesurée avec précision  $\{15\}$ .

L'erreur de mesure est de l'ordre de 0,030 MHz pour la gamme fondamentale de la source. Il faut multiplier cette erreur par un facteur égal au rang de l'harmonique utilisé pour la fréquence de travail. Ainsi pour obtenir une fréquence de 180 000 MHz, nous utilisons l'harmonique 3 d'un klystron (voir tableau {II - 1 } et de ce fait l'erreur de mesure est de l'ordre de 3 x 0,030MHz=0,090MHz.

Les valeurs des fréquences des raies et des constantes sont indiquées dans les tableaux en MHz.

FREQUENCE EN	KLYSTRON	Rang d'harmonique	MULTIPLICATEUR	DETECTEUR
40	OKI 40-V-10	1	•	C. Philips
60	BTC 60 BT/A	1	•	C. Philips
79-81	OKI 40-V-10	2	M {1}	C. Philips
99-101	VARIAN BRE2103B1	2	M Philips	M. Philips
119-122	BTC 60 BT/A	2	M.Philips	M Custom Microwave
135-143	Philips	2	M.Philips M.Custom Microwave	M Custom Microwave
160-163	BTC 55 BT/A	3	M Custom Microwave	M Custom Microwave
175-183	VARIAN 2000 B12	3	M Custom Microwave	M Custom Microwave
200-202	BTC 65 BT/A	3	M Custom Microwave	M Custom Microwave

#### TABLEAU {II - 1}

- -{1} Multiplicateur 6 4 mm fabriqué au laboratoire
- C Multiplicateur ou détecteur à cartouche
- M " ou " à " moustache".

### ETAT FONDAMENTAL

L'étude du spectre de rotation pure dans l'état fondamental de vibration n'a été entreprise que dans la mesure où elle permettait une comparaison avec les états excités de vibration. En effet, ce genre de travail est devenu classique et a été de plus facilité dans notre cas par l'intensité des raies observées. Dans cet état fondamental de vibration on a v = 0 et  $\ell_t = 0$ , et les seuls éléments de matrice non diagonaux de  $\ell_t$  dans la base  $\ell_t$ ,  $\ell$ 

Pour la même raison, nous avons aussi négligé les éléments de matrice diagonaux qui donnent naissance à des termes de distorsion centrifuge en  $^{\rm H}_{
m J}$ ,  $^{\rm H}_{
m JJK}$ ,  $^{\rm H}_{
m JKK}$  et  $^{\rm H}_{
m K}$ .

Compte tenu des règles de sélection indiquées précédemment, la formule exprimant la fréquence F des raies de rotation pure, rapportée dans l'appendice n° 1, s'écrit:

$$F = 2(J+1) B_{V=0}^{XX} - 2 (J+1) K^{2} D_{e}^{JK} - 4(J+1)^{3} D_{e}^{J}.$$

# SPECTRE DE CH<sub>3</sub> 14 NC

Nous avons poursuivi l'étude entreprise par M. BOGEY {13}en ce qui concerne les transitions J=1+2, 2+3, 3+4, 4+5, 5+6 et 6+7 par la mesure des raies correspondant aux transitions J=7+8, 8+9, et 9+10.

L'ensemble des mesures est reportée dans le tableau A1. Par un calcul de moindres carrés effectué sur ces mesures nous avons déterminé les valeurs des constantes de rotation et de distorsion centrifuge que nous avons relevées dans le tableau général GI.

### SPECTRE DE CH<sub>3</sub><sup>15</sup>NC

Dans cet état fondamental de vibration nous avons mesuré toutes les raies correspondant aux transitions  $J = 1 \rightarrow 2$ ,  $2 \rightarrow 3$ ,  $3 \rightarrow 4$ ,  $4 \rightarrow 5$ ,  $5 \rightarrow 6$ ,  $6 \rightarrow 7$ ,  $7 \rightarrow 8$  et  $8 \rightarrow 9$ .

Les résultats sont donnés dans le tableau B1. Les valeurs des constantes  $B_{V=0}^{xx}$ ,  $D_e^J$  et  $D_e^{JK}$  obtenues par un calcul de moindres carrés effectué sur l'ensemble des mesures sont reportées dans le tableau général G.II.

Aussi bien pour  ${\rm CH_3}^{14}{\rm NC}$  que pour  ${\rm CH_3}^{15}{\rm NC}$ , les écarts entre fréquences mesurées et fréquences calculées sont contenus dans le domaine d'erreur expérimentale.

# ETAT EXCITE V8=1

Nous avons observé à des fréquences proches de celles du spectre de rotation correspondant à toutes les transitions  $J \rightarrow J+1$  de l'état fondamental de  $CH_3^{14}NC$  ou de  $CH_3^{15}NC$  un ensemble de raies que nous avons attribué au spectre de rotation de l'état excité de vibration dégénérée  $v_8=1$  de chacun de ces isotopes (4).

Dans cet état excité, le nombre quantique  $\ell_t$  correspondant à la vibration dégénérée  $v_t$  = 1 peut prendre les valeurs  $\ell_t$  = +1, -1, ce qui introduit une interaction rotation-vibration . De ce fait, il existe des éléments de matrice non diagonaux du hamiltonien  $H^+$  écrit dans la base  $|J,K,\ell_t>$  qui peuvent être différents de zéro.

A partir de cette hypothèse, M.L. GRENIER-BESSON et G. AMAT {16} ont calculé l'expression de la fréquence F d'une transition de rotation d'un état excité de vibration dégénérée v = 1 que nous avons rappelée dans l'appendice n°2. Nous avons identifié le spectre par la méthode mise au point par A. BAUER {17} qui peut être utilisée pour tous les états excités à condition que l'expression de la fréquence de chaque raie puisse se mettre sous la forme:

$$F = A (K, \ell_t)(J + 1) + B(K, \ell_t) (J + 1)^3$$

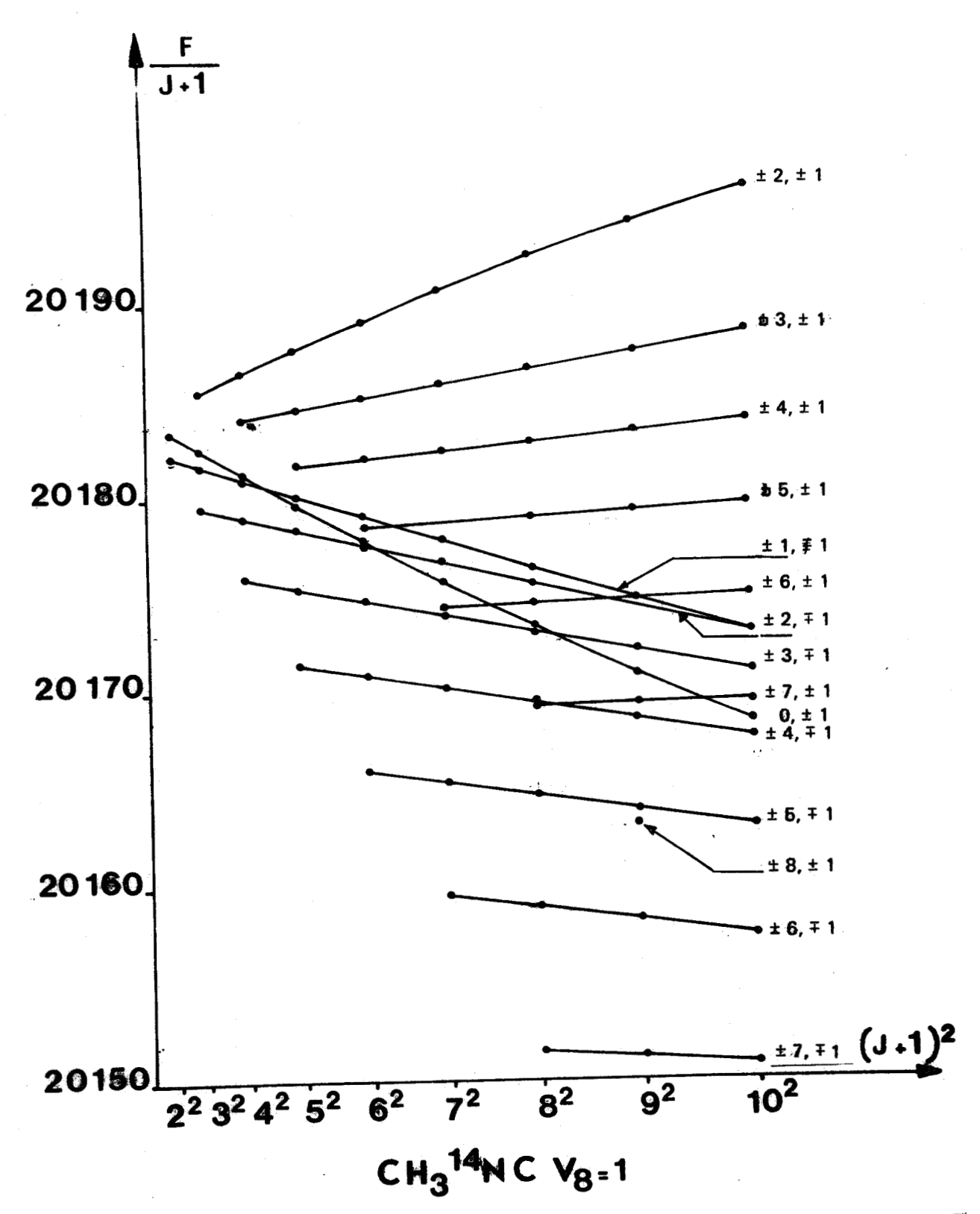
où  $A(K, \ell_t)$  et  $B(K, \ell_t)$  sont des fonction compliquées de K et de  $\ell_t$ .

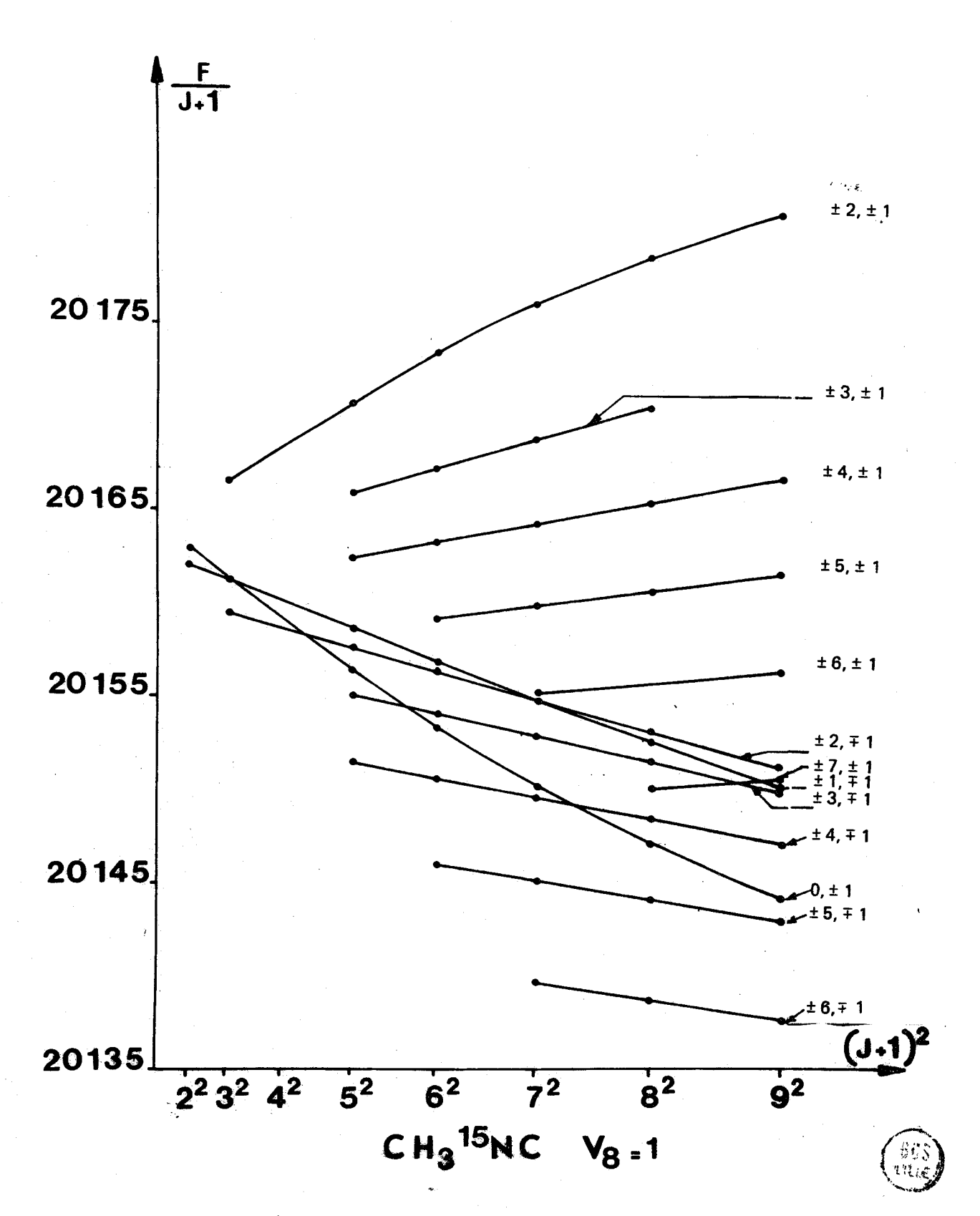
On a alors:  $\frac{F}{J+1} = A(K, \ell_t) + B(K, \ell_t) (J+1)^2$ .

Le report des points  $\frac{F}{(J+1)}$  en fonction de  $(J+1)^2$  doit alors donner des droites correspondant chacune à un couple  $(K, \ell_t)$  et permettant l'identification des transitions. Les figures (IV, 1) et (IV, 2) reproduisent ces tracés respectivement pour  $CH_3^{14}NC$  et  $CH_3^{15}NC$ .

On observe sur ces deux schémas que les courbes correspondant aux couples (K,  $\ell_{\rm t}$ ) de valeurs (± 2, ±1) et (0, ±1) ne sont pas rectilignes. D'autre part un calcul de moindres carrés effectué sur l'ensemble des mesures correspondant à chacun des spectres montre que les écarts entre fréquence calculée et fréquence mesurée deviennent importants lorsque  $|K \ell_{\rm t} - 1|$  prend des valeurs faibles et en particulier  $|K\ell_{\rm t} - 1| = 1$ , ce qui correspond aux couples de valeurs (K = 0,  $\ell_{\rm t} = \pm 1$ ) et (K = $\pm 2$ ,  $\ell_{\rm t} = \pm 1$ ).

(4) Dans l'étude du composé en N, qui n'est pas pur, les spectres de CH<sub>3</sub> NC et de CH<sub>3</sub> NC se chevauchent parfois, de sorte que nous avons dû mener de front l'étude excité des deux isotopes afin de pouvoir identifier le spectre de CH<sub>3</sub> NC.





FEGURE - IV - 2 -

Pour un J donné, ces écarts sont du même ordre de grandeur et de signe contraire pour des raies correspondant à des valeurs de  $(K, \ell_t^{-1})$  opposées.

Nous retrouvons ce phénomène en traçant les courbes  $\frac{\Delta Fx \left| Kl_t - 1 \right|}{4(J+1)}$  en fonction de  $\left| Kl_t - 1 \right|^2$  où  $\Delta F$  représente la différence entre les fréquences de deux raies de même  $\left| Kl_t - 1 \right|$  pour un J donné (cf. figure IV 3 et 4 pour la transition J = 8 + 9 respectivement de CH<sub>3</sub> NC et de CH<sub>3</sub> NC). Un calcul à partir de la formule exprimant les fréquences des transitions nous

Un calcul à partir de la formule exprimant les fréquences des transitions nous donne l'équation de cette courbe sous la forme:

$$\frac{\Delta Fx \left| K \ell_{t}^{-1} \right|}{4(J+1)} = \frac{2(q_{v}^{t})^{2}(J+1)^{2}}{\mu} + \rho^{*} \left| K \ell_{t}^{-1} \right|^{2} \text{ avec } \Delta F = F_{+} - F_{-} \text{ et } K \ell_{t}^{-1} = 0$$

$$(\mu = B_e^{zz} - B_e^{xx} - B_e^{zz} \zeta_t^z \text{ d'après } G. TARRAGO \{18\})$$

Nous constatons aussi bien pour  $\operatorname{CH}_3^{14}$  NC que pour  $\operatorname{CH}_3^{15}$  NC que ces courbes ne sont pas rectilignes et qu'elles s'incurvent fortement pour les faibles valeurs de  $|\operatorname{KL}_t - 1|$ . Ce résultat est dû à une quasi-dégénérescence des niveaux d'énergie correspondant à une valeur de  $|\operatorname{KL}_t - 1|$  faible.

L'interprétation de ces raies ne peut se faire qu'à partir d'un calcul direct des fréquences. Pour cela il est nécessaire de connaître la valeur des constantes notamment celle de  $\eta_8^J$  qui ne peut être déterminée pour cet état excité  $v_8$  = 1. L'étude du spectre de rotation de la méthyle carbylamine dans l'état excité  $v_8$  = 2 nous permet d'obtenir une valeur de  $\eta_8^J$  qui, si l'on néglige la variation de ce coefficient avec v, doit être égale à celle de l'état  $v_8$  = 1. Pour cette raison, ce travail a été effectué après l'étude de l'état excité  $v_8$  =2 ( cf. page 29 ).

Une identification de ces raies a pu être proposée provisoirement en formant les demi-sommes des fréquences correspondant à une même valeur de  $|K\ell_t^{-1}|$  pour une même valeur de J. Ainsi nous éliminons les termes provenant d'éléments non diagonaux qui sont à l'origine de ce phénomène. La fréquence obtenue s'exprime sous la forme:

$$F_{O} = \frac{F_{+} + F_{-}}{2} = 2B^{XXX} (J+1) - 2D_{JK} (J+1) (K \ell_{+} - 1)^{2} - 4D_{J} (J+1)^{3}.$$

Cette formule est très comparable à celle de l'état fondamental. Pour un J donné, la courbe représentant  $F_o$  en fonction de  $(K\ell_t^{-1})^2$  est théoriquement une droite. Nous constatons aussi bien pour  $CH_3^{14}NC$  (cf. figure IV, 5) que pour  $CH_3^{15}NC$ (cf. figure IV,6) que la courbe est rectiligne. Nous obtenons ainsi confirmation de notre identification précédente.

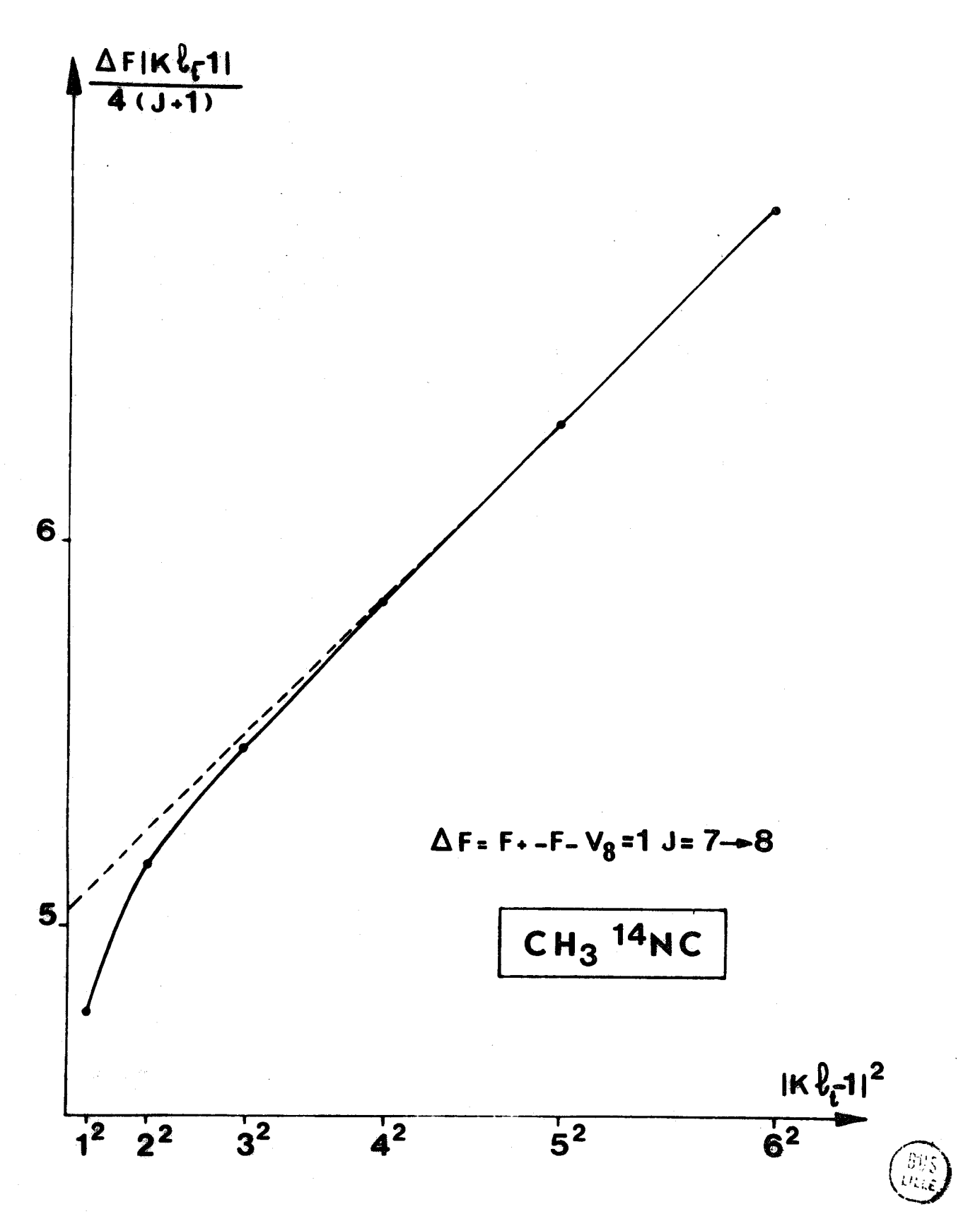
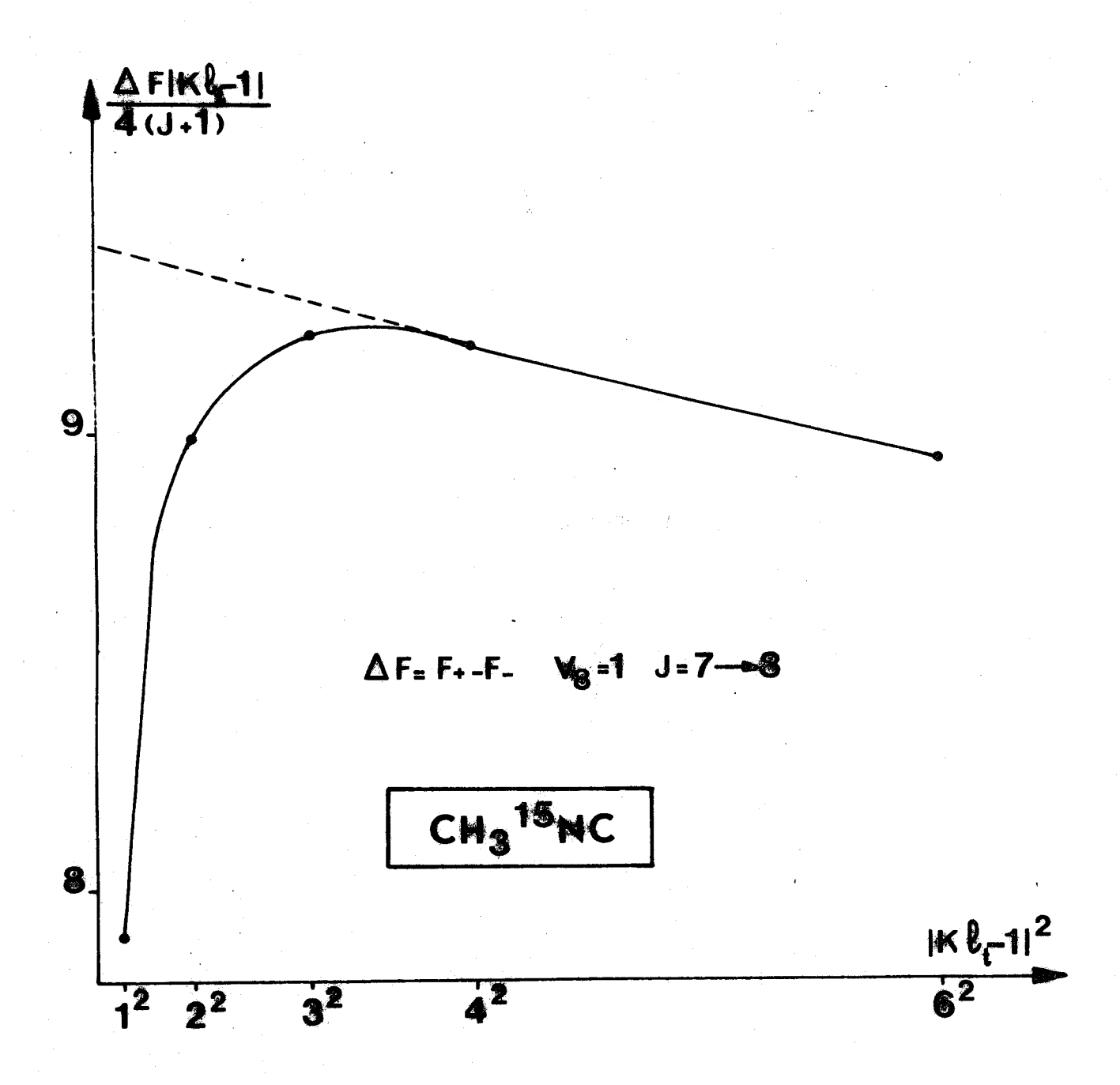
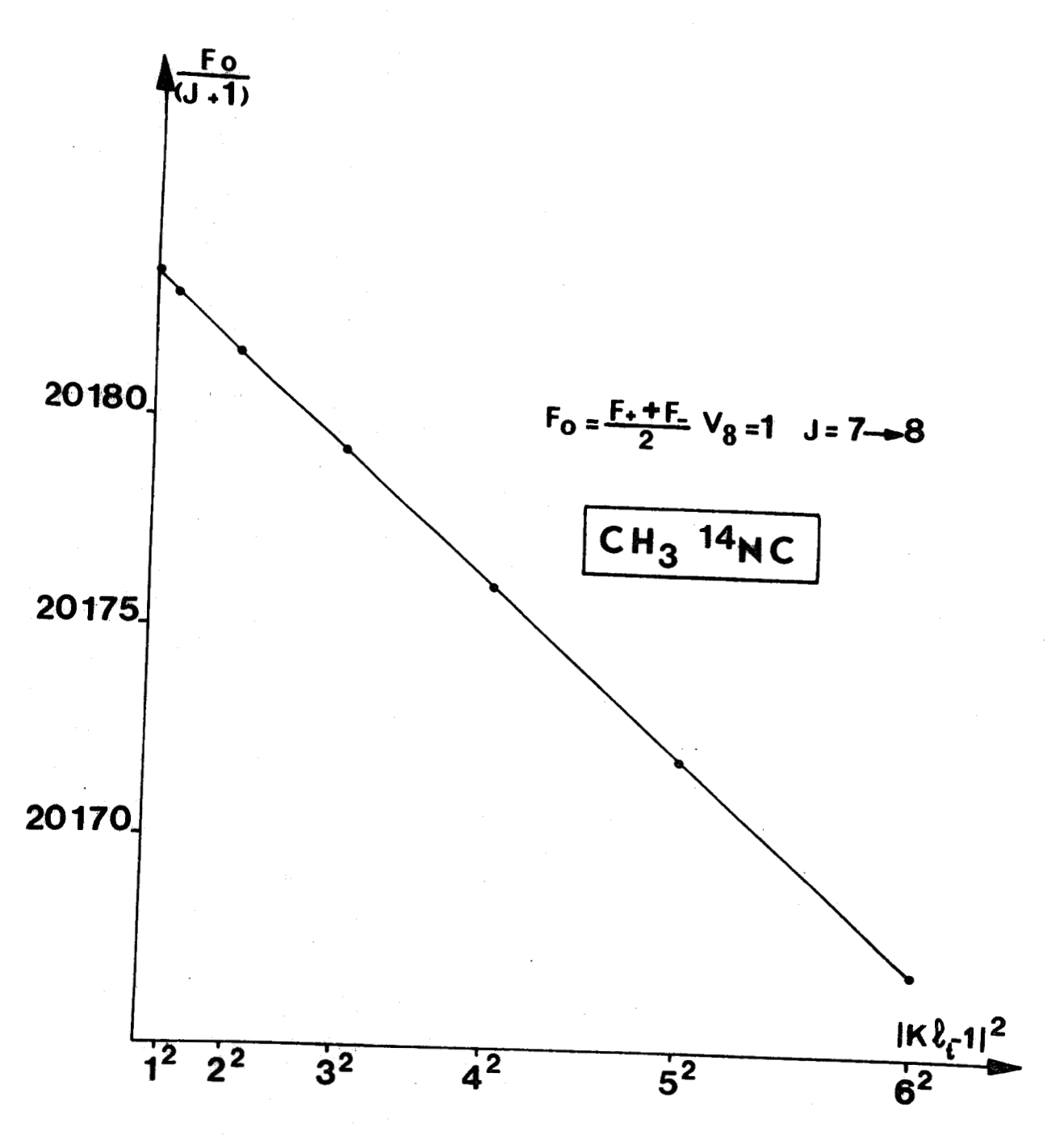
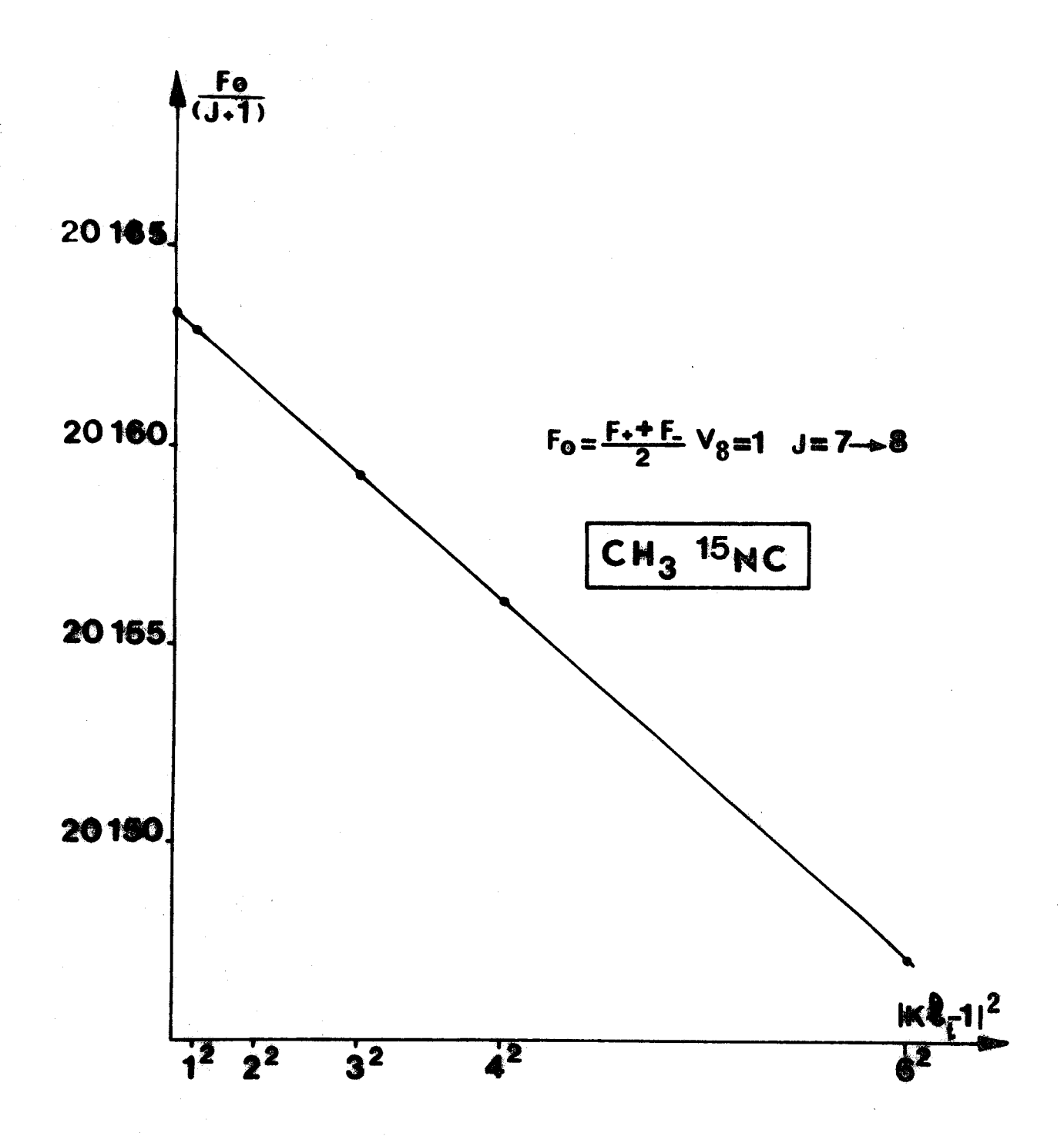


FIGURE - IV - 3 -









D'autre part, cet état excité de vibration dégénérée  $v_8$ =1 est caractérisée par un dédoublement des niveaux d'énergie (K = ±1,  $\ell_t$  = ± 1), entraînant l'apparition de raies de dédoublement de "type  $\ell$ " séparées par un écart de fréquence  $\Delta F = 8 \left| q_V^{t,J} \right| (J+1)$ 

La variation avec J du coefficient  $q_V^{t,J}$  de l'élément matriciel  $\langle K=\pm 1, \ell_t=+1 | H^{\dagger} | K=-1, \ell_t=-1 \rangle$  est donné par :

$$q_V^{t,J} = q_V^t + f_{2,2}^{t,J} \quad J(J+1)$$
 {19},

ce qui pour une transition  $J \rightarrow J+1$  correspond à une variation de la forme:

$$q_{V}^{t,J} = q_{V}^{t} + 2 f_{22}^{t,J} (J+1)^{2}$$

Nous avons essayé de mettre en évidence cette variation signalée expérimentalement par M. BOGEY {14} en étudiant des transitions de valeur de J plus élevée.

On a 
$$\frac{\Delta F}{8(J+1)} = |q_V^t + 2 f_{2,2}^{t,J} (J+1)|^2$$

Le report des points représentant  $\frac{\Delta F}{8(J+1)}$  en fonction de  $(J+1)^2$  (figures IV 7 et 8) ne nous a cependant pas permis de préciser la droite attendue qui aurait pour pente  $\pm 2f_{22}^{t}$ ) car les domaines d'erreur expérimentale sont trop importants. Cependant de ces figures il nous est possible de déterminer le signe et l'ordre de grandeur de ces différents coefficients:

- .  $q_V^t$  et  $q_V^{t,J}$  sont de même signe (ordonnée à l'origine positive)
- $q_{V}^{t}$  et  $f_{2,2}^{t,J}$  sont de signe contraire (pente négative)
- .  $|f_{22}^{t,J}|$  est inférieur à 0,00012 MHz.

### Spectre de CH<sub>3</sub><sup>14</sup>NC

Pour le premier état de vibration dégénérée v<sub>8</sub>=1 nous avons observé les transitions J =7+8, 8+9 et 9+10, poursuivant ainsi les travaux de M. BOGEY {14} sur cet état, les fréquences des raies des transitions J+J+1(avec J=1+9) sont rapportées dans le tableau A2. Comme nous l'avons montré dans un mémoire antérieur {20}, nous pouvons calculer les constantes de deux manières différentes:

- Soit par un calcul de moindres carrés sur les fréquences de toutes les raies, sauf celles affectées par la quasi-dégénéréscence;
- Soit par une méthode mixte utilisant d'une part les courbes représentant  $\frac{\Delta F_{+}|K\ell_{t}^{-1}|}{4(J+1)}$  en fonction de  $|K\ell_{t}^{-1}|^{2}$  pour déterminer  $\rho^{*}$  et

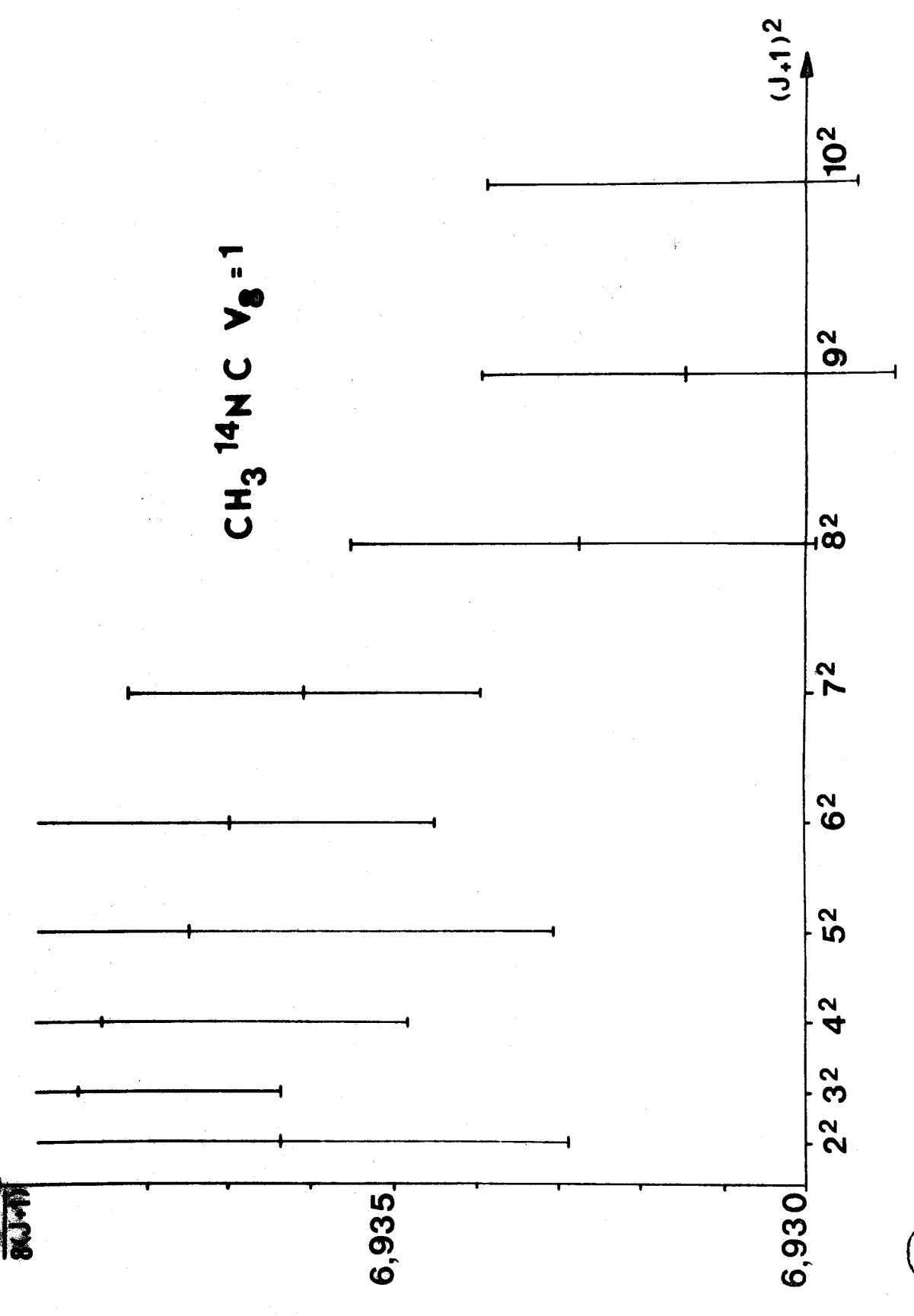
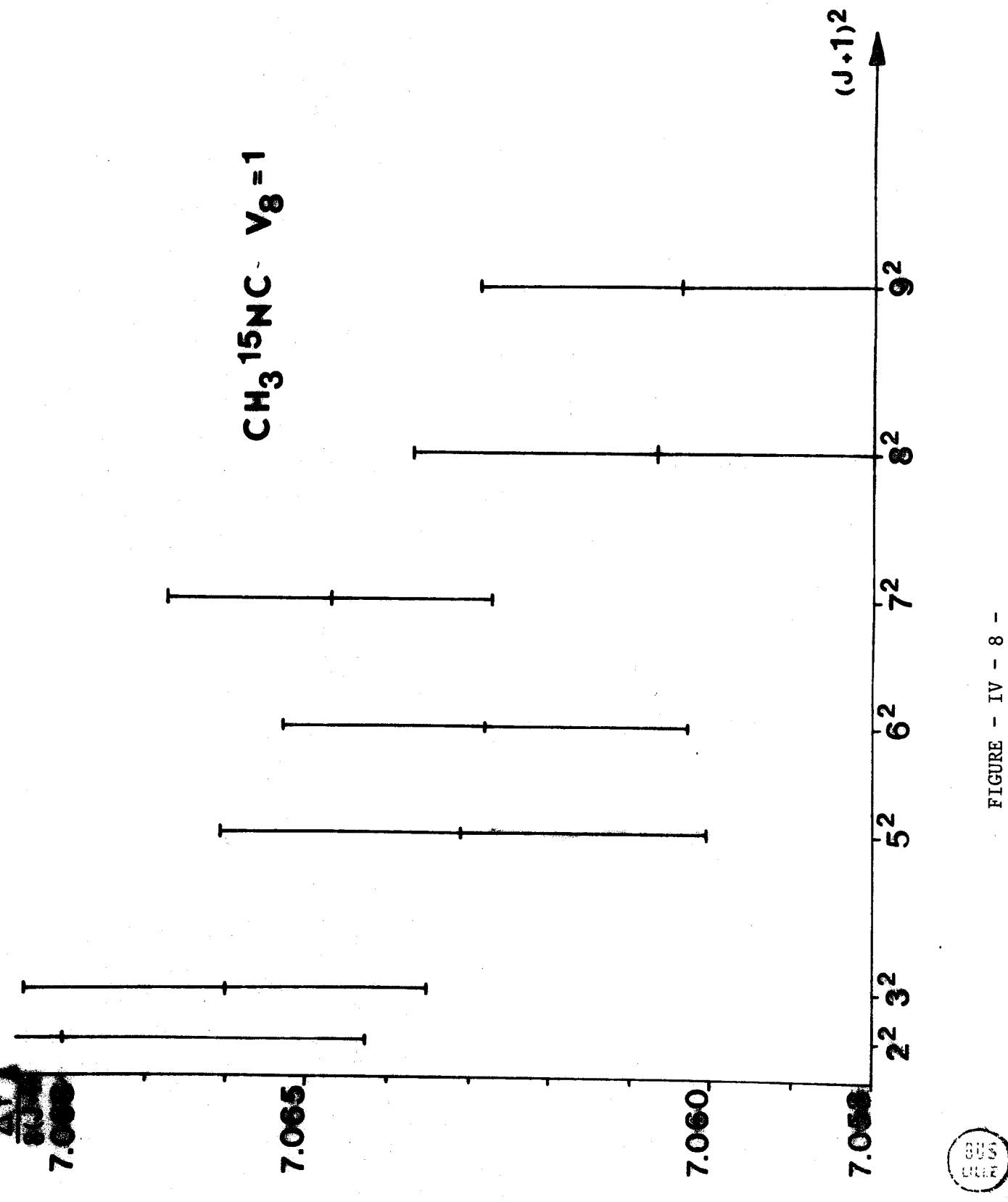


FIGURE - IV - 7 -





des valeurs des constantes obtenues par les deux méthodes et relevées dans le tableau A3 pour déterminer B<sup>XX\*</sup>, D<sub>e</sub> et D<sub>e</sub> . La comparaison des valeurs des constantes obtenues par les deux méthodes et relevées dans le tableau C1 montre que les deux séries de valeurs sont très proches. Par ailleurs nous avons reproduit dans le tableau général GI les valeurs des constantes obtenues par le calcul de moindres carrés qui sont très proches de celles calculées par M. BOGEY {14}. Ainsi, la valeur de la constante de couplage de Coriolis  $\xi_8^2$  calculées à partir des deux séries de constantes reste la même et vaut 0,927.

# Spectre de $CH_3^{15}NC$

Nous avons observé pour  $v_8$  = 1, les mêmes transitions que dans l'état fondamental. Les fréquences F des raies de même que les fréquences F définies précédemment sont rappelées dans les tableaux B2 et B3. Nous avons utilisé les deux méthodes de calcul décrites précédemment pour déterminer la valeur des constantes relevées dans le tableau C2. Leur comparaison montre que les deux séries de valeurs sont semblables . Les résultats obtenus par le calcul de moindres carrés sont également reproduits dans le tableau général GII.

Le rapport  $\frac{|q_V^8|^2}{\mu} = \frac{q_V^8}{B_e^{zz} - B_e^{xx} - B_e^{zz} \frac{z}{8}}$  permet d'autre part d'obtenir la cons-

La valeur de Bezz est très probablement égale à celle de l'isotope en  $^{14}$ N, car l'atome substitué est sur l'axe de la molécule,; nous adoptons donc Bezz  $\simeq$  154300MHz, valeur calculée à partir des données de COSTAIN pour CH3  $^{14}$ NC {21}. En prenant pour  $|q_V^8|$  la valeur obtenue par moindres carrés sur l'ensemble des raies et en admettant que Bezz  $\simeq$  B<sup>XX\*</sup>, nous obtenons à partir des deux séries de constantes du tableau C2 une valeur identique  $\zeta_8^z$ .

$$\zeta_8^2 = 0,930.$$

	Calcul de moindres carrés sans les raies de valeur de  Kl <sub>t</sub> -1  faibles	Méthode Mixte
B*XX	10092,310	10092,314
D <sub>e</sub> J	0,00487	0,00488 moindres carrés sur F
D <sub>e</sub> JK	0,2269	0,2270
ρ <sup>*</sup>	0,05401	0,053 Méthode
$\left \frac{\mathbf{q}_{\mathbf{V}}^{8}\right }{\mu}$	+ 0,0388	graphique
8 <sub>V</sub>	6,939	And the second s
f <sup>8J</sup>	0,00004	

TABLEAU C1 CH<sub>3</sub><sup>14</sup>NC

	Calcul de moindres carrés sans les raies de valeur de  KL - 1  faible	Méthode Mixte
B*xx	10 082,297	10 082,306 ) Moindres
$\mathtt{p}_{\mathtt{J}}$	0,00487	0,00490 carrés .
<sup>D</sup> JK	0,2253	0,2254 sur F <sub>0</sub>
ρ**	-0,0153	-0,014 \ \ Méthode
$\frac{\left q_{\mathbf{V}}^{8}\right ^{2}}{\mu}$	0,073	0,073 graphique
q <mark>8</mark>	7,065	
f <sup>8J</sup> <sub>2,2</sub>	0,00003	

TABLEAU C2

сн<sub>3</sub>15<sub>NC</sub>



# CHAPITRE-V-

# V - 1 - ETAT EXCITE Ug =2

La sensibilité de notre spectromètre nous a permis d'observez au voisinage des spectres des états fondamentaux et  $\mathbf{v}_8$  = 1 des deux isotopes, des raies de faible intensité que nous avons attribuées au spectre de rotation de l'état excité de vibration dégénéré  $\mathbf{v}_8$  = 2, caractérisé par des valeurs de nombre quantique  $\mathbf{l}_t$  égales à zéro et plus on moins deux. Les expressions des fréquences sont déduites de celles de G. TARRAGO{18}, dans lesquelles nous avons dû introduire la variation de la constante  $\mathbf{q}_V^{t,J}$  avec J, afin de pouvoir interpréter les transitions de valeurs de J élevées. Ces formules sont rapportées dans l'appendice N°3(5).

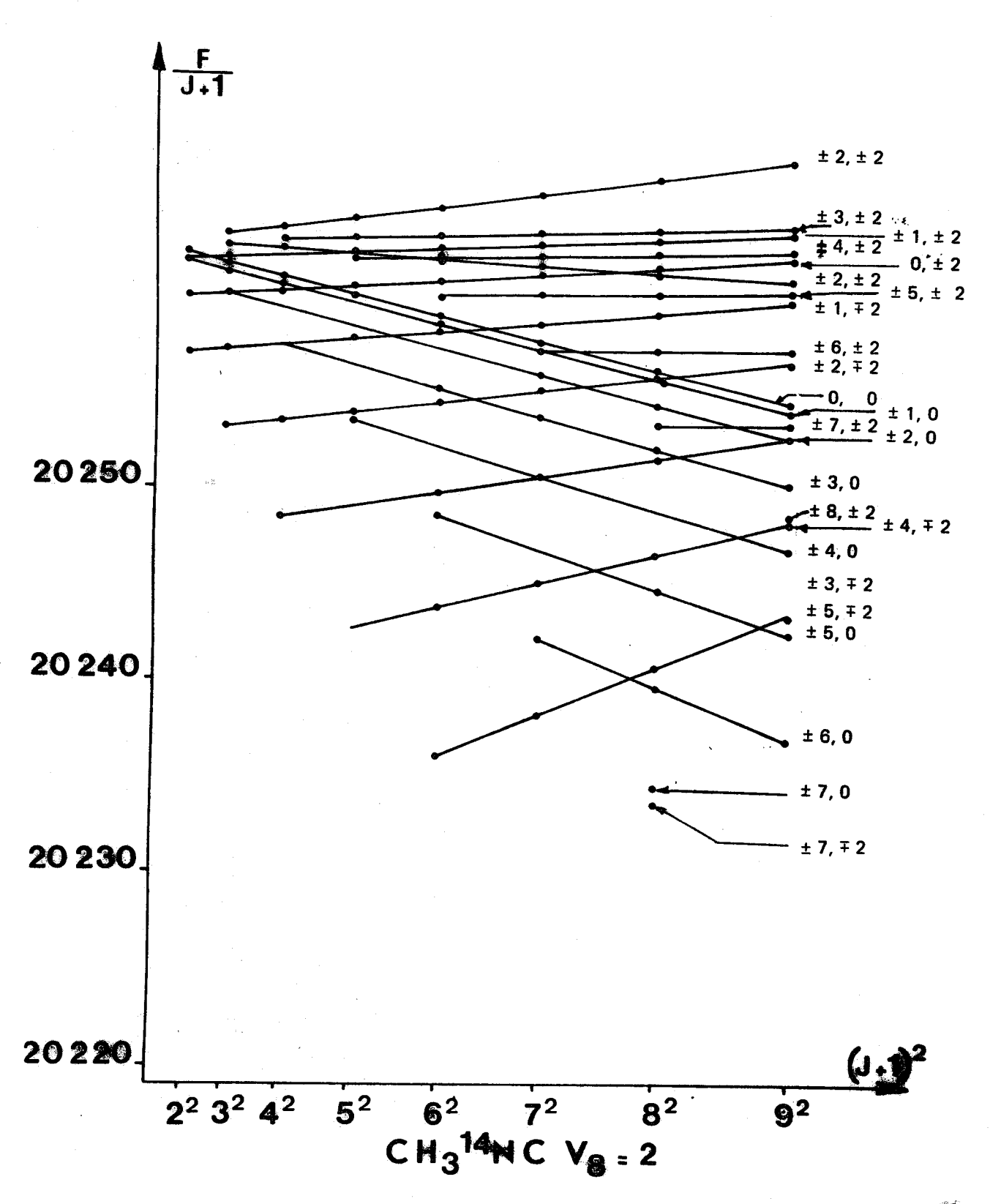
Compte tenu de notre pouvoir de résolution, nous n'avons jamais pu observer le dédoublement des raies  $K=\pm 1. l_{\pm}=\mp 2$  prévu par la théorie. Cependant nous avons mesuré des raies se situant à une fréquence égale à la demi-somme des fréquences des doublets et que nous avons attribuées à  $K=\pm 1$ , et  $l_{\pm}=\mp 2$ .

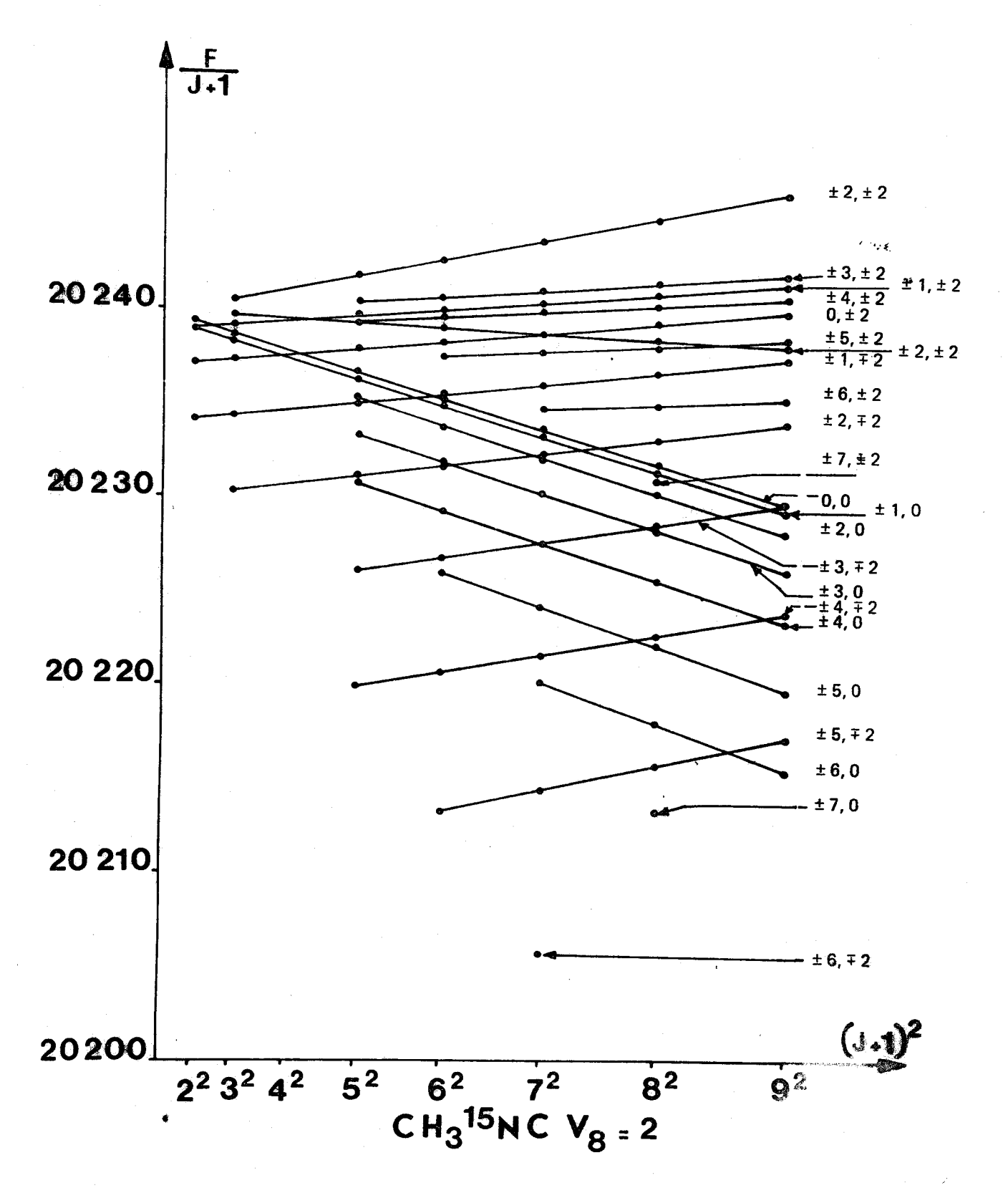
L'expression de la fréquence s'écrit sous la forme :  $F = A(K, \ell_t)(J+1) + B(K, \ell_t)(J+1)^3 \text{ où } A(K, \ell_t) \text{ et } B(K, \ell_t) \text{ sont des fonctions compliquées de K et de $\ell_t$. Nous pouvons donc appliquer la méthode graphique d'identification mise au point par Å. BAMER {17} aux spectres de <math>CH_3$  NC et  $CH_3$  NC (cf.fig.V lett 2). L'identification a pu être précisée grâce au tracé des courbes F/(J+1) en fonction de |K| si  $\ell_t$  =0 et de  $\frac{K\ell_t}{|\ell_t|}$  si  $\ell_t$  =  $\pm$  2. La continuité de ces courbes montre qu'il n'existe pas de résonance forte. Nous en donnons un exemple pour la transition J =8+9, figure (V,3) et (V,4) pour  $CH_3$  NC et figure (V,5) et (V,6) pour  $CH_3$  NC.

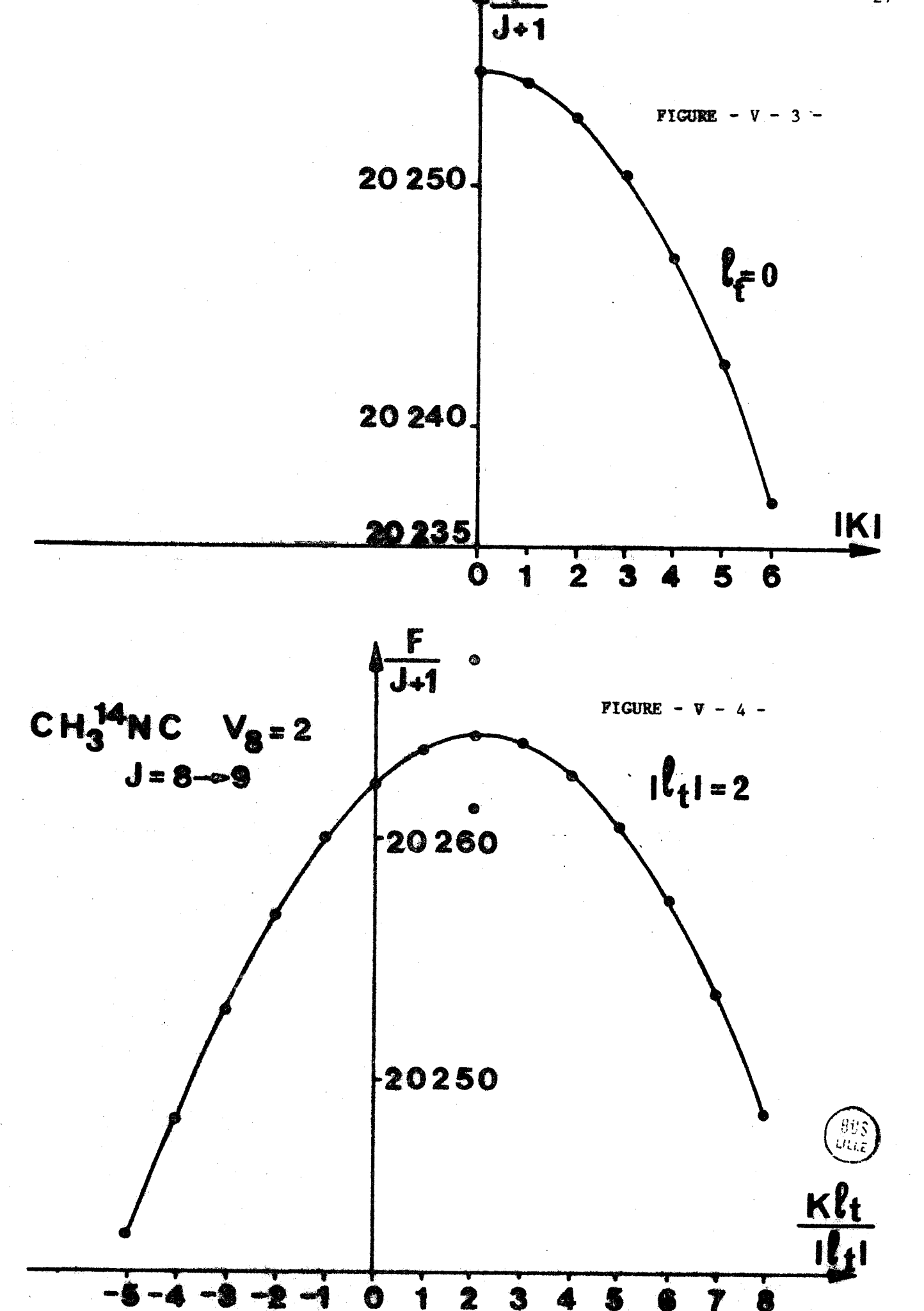
### Spectre de CH<sub>3</sub><sup>14</sup>NC

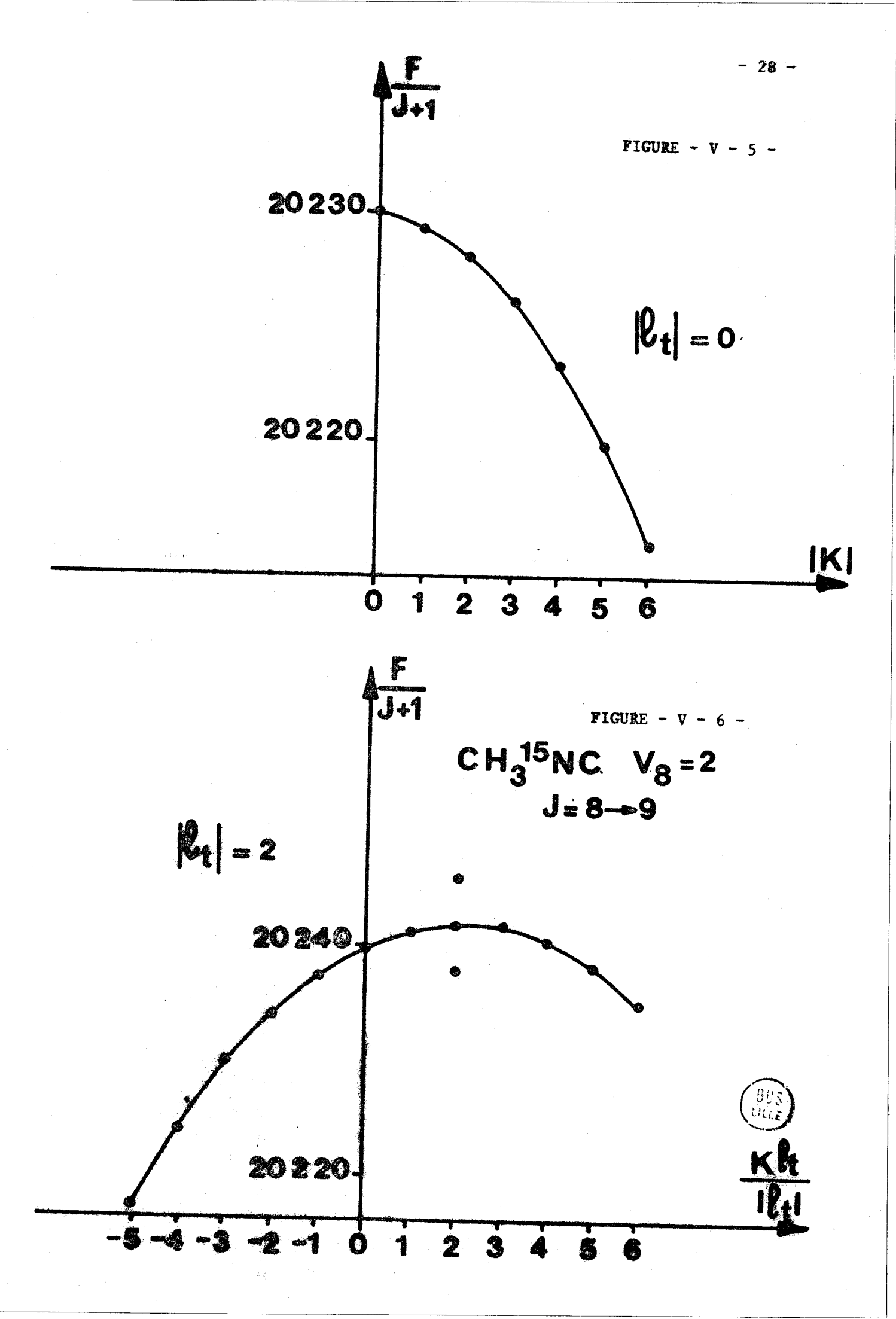
Nous avons poursuivi les travaux de M. BOGEY {16} sur le spectre de  $v_8 = 2$  en mesurant les transitions J = 7.8 et 8.9Les valeurs des constantes rapportées dans le tableau général GI ont été déterminées par un calcul de moindres carrés effectué sur les fréquences des transitions  $J \rightarrow J + 1$  (avec J = 1 à8) relevées dans le tableau A4. Nous avons défisie effectué plusieurs calculs avec différentes valeurs

<sup>(5)</sup> Nous avons négligé les termes en  $(f_{2,2}^{t,J})^2$  obtenus dans le calcul des fréquences des transitions J+J+1.









de  $B_e^{zz}$  et  $\zeta_8^z$ . L'écart type le plus faible a été obtenu pour une valeur de  $B_e^{zz}$  égale à 154300 MHz et  $\zeta_8^z$  égale à 0,927 (6).

Dans ce calcul nous avons éliminé pour la transition J=8 o 9, les raies correspondant aux couples de valeurs :  $(K=\pm 1, \ell_t=\pm 2)(K=\pm 3, \ell_t=\pm 2)$ ,  $(K=0, \ell_t=\pm 2)(K=4, \ell_t=\pm 2)$ . En effet un examen de ces raies a fait apparaître un fort couplage entre les niveaux  $|K=\pm 1, \ell_t=\pm 2\rangle$  et  $|K=\pm 3, \ell_t=\pm 2\rangle$  (pour lesquels  $|K-\ell_t|=1$ ) d'une part,  $|K=0, \ell_t=\pm 2\rangle$  et  $|K=\pm 4, \ell_t=\pm 2\rangle$  ( $|K-\ell_t|=2$ ) d'autre part, ceci par l'intermédiaire des niveaux  $|K=\pm 1, \ell_t=0\rangle$  et  $|K=\pm 2, \ell_t=0\rangle$  respectivement. Ce phénomène entraînait dans un calcul préliminaire des écarts importants de l'ordre de 400 kHz entre fréquences mesurées et fréquences calculées, du même ordre de grandeur mais de signe contraire pour des raies de valeur de  $(K-\ell_t)$  opposées.

## Spectre de CH<sub>3</sub><sup>15</sup>NC

Les mesures des raies des transitions observées J=1+2, 2+3, 3+4, 4+5, 5+6, 6+7, 7+8 et 8+9 sont rapportées dans le tableau B4. Un calcul de moindres carrés effectué sur les 5 premières transitions nous montre un écart type de 90 kHz, et nous donne la valeur des constantes reproduites dans le tableau général GII. Cet écart devient de l'ordre de 200 kHz lorsqu'on ajoute les transitions J=7+8 et 8+9. Un fort couplage des niveaux de valeur de  $|K-\ell_t|$  faible tel que nous l'avons déjà signalé pour  $CH_3^{14}NC$  apparaît. Il semble qu'il serait donc nécessaire d'effectuer pour ces niveaux une diagonalisation de la matrice énergie.

V - 2 - CALCUL DIRECT DES FREQUENCES DES RAIES DE RESONANCE DE L'ETAT  $v_8$ =1  $\frac{DE \ CH_3^{-14} NC}{8}$   $\overline{V}$   $\overline{V}$ 

La connaissance du coefficient  $\eta_8^J$  grâce à l'étude de l'état  $v_8=2$  permet d'obtenir pour l'état  $v_8=1$  les valeurs des constantes  $B_{v_8=1}^{xx}$  et  $|q_1^8|$  qui n'avaient pû être déterminées lors de l'interprétation de  $\| l_8 \| = 1$  cet état excité.

<sup>(6)</sup> Ces valeurs sont égales à celles que déduit  $BOGEY\{14\}$  des données de  $COSTAIN\{21\}$  et de ce fait les valeurs des constantes notées dans le tableau GI sont proches de celles qu'obtient  $BOGEY\{14\}$  en utilisant une formulation où n'intervient pas la variation de  $q_V^{t,J}$  avec J.

Ces constantes sont obtenues à l'aide des relations suivantes:

$$B^{XX*} = B_{v_{t}=1}^{XX} - D_{e}^{JK} + \eta_{t}^{J} - \frac{12(q_{1,2}^{t})^{2}}{\rho}$$

$$\rho^{*} = -2 D_{e}^{JK} + \eta_{t}^{J} - \frac{2(q_{V}^{t})^{2}}{\mu} - \frac{8(q_{1,2}^{t})^{2}}{\rho}$$

$$avec \quad \rho = B_{e}^{ZZ} - B_{e}^{XX} + 2B_{e}^{ZZ} \zeta_{t}^{Z}$$

$$\mu = B_{e}^{ZZ} - B_{e}^{XX} - B_{e}^{ZZ} \zeta_{t}^{Z}$$

dans lesquelles on prend  $B_e^{XX} \simeq B_e^{XX*}$  dans les dénominateurs.

Un simple calcul montre que  $\frac{(q_{1,2}^8)^2}{\rho}$  est égal à 0,0015 MHz: les termes diagonaux en  $(q_{1,2}^8)$  n'interviennent donc que comme termes correctifs très faibles que l'on peut traiter en perturbation. Par suite, on peut d'abord effectuer une diagonalisation partielle de la matrice énergie en ne tenant compte que des éléments de matrice diagonaux et des seuls éléments non diagonaux en  $q_V^t$  qui sont à l'origine de cette résonance.

Par un réarrangement des lignes et des colonnes on peut transformer la matrice réduite à ces seuls éléments non nuls en une soume de matrices de rang inférieur ou égal à deux faciles à diagonaliser (7).

M.  $BOGEY\{14\}$ a utilisé cette méthode pour le calcul des fréquences des raies quasi-dégénérées d'un état de vibration  $v_t$  = 1 et obtenu après avoir utilisé les règles de sélection habituelles une formulation indiquée dans le tableau V - 1.

Nous avons effectué deux calculs successifs de moindres carrés sur les raies de valeur  $|K\ell_t^{-1}|$  égale à 1 ( pour les transitions J+J+1 avec J=1 à 9) puis 2 ( avec J= 2 à 9). Dans ces calculs, les seules inconnues restent  $\eta_t^K$  et  $D_e^K$  qui n'ont pu être déterminées précédemment et qui interviennent sous la forme des combinaisons linéaires  $8\eta_t^K - 16D_e^K$  ou  $28\eta_t^K - 80D_e^K$ . Nous avons ainsi obtenu les écart types les plus faibles avec des valeurs de  $8\eta_t^K - 16D_e^K$  ( pour  $|K\ell_t^K| = 1$  =1) de l'ordre de 215 MHz et de  $28\eta_t^K - 80D_e^K$  (pour  $|K\ell_t^K| = 1$  =2)

 $8\eta_t^K - 16D_e^K$  (pour  $|K\ell_t^{-1}|=1$ ) de l'ordre de 215 MHz et de  $28\eta_t^K - 80D_e^K$  (pour  $|K\ell_t^{-1}|=2$ ) de l'ordre de 451 MHz. Ces constantes sont proches de celles qu'a déterminées M. BOGEY {14}: $8\eta_t^K - 16D_e^K \simeq 216$  MHz;  $28\eta_t^K - 80$   $D_e^K \simeq 468$  MHz.

M. BOGEY {14}:  $8\eta_t^K - 16D_e^K = 216$  MHz;  $28\eta_t^K - 80$   $D_e^K = 468$  MHz. Cependant il est difficile d'en déduire  $\eta_t^K$  et  $D_e^K$ , car ces valeurs dépendent très fortement de  $B_V^{ZZ}$  et de  $\zeta_t^Z$ .

<sup>(7)</sup> On tient compte ensuite de la contribution des termes en  $q_{1,2}^{8}$  en effectuant un calcul de perturbation sur les niveaux d'énergie ainsi obtenus.

$$I - |K\ell_{t} - 1| = 1$$

1) K = 0,  $\ell = \pm 1$ 

$$F = F_0 - \frac{1}{2} \left[ \sqrt{\Delta_{J+1}} - \sqrt{\Delta_J} \right] - 8 (J+1) \frac{(q_{1,2}^t)^2}{\rho}$$

2)  $K = \pm 2$ ,  $\ell_t = \pm 1$ 

$$F = F_0 + \frac{1}{2} \left[ \sqrt{\Delta_{J+1}} - \sqrt{\Delta_J} \right] - 40 (J+1) \frac{(q_{1,2}^t)^2}{\rho}$$

avec

$$F_0 = 2 B_{V_e=1}^{xx} (J+1) - 4 D_e^J (J+1)^3 - 4 D_e^{JK} (J+1) + 2 n_8^J (J+1)$$
  
 $\ell_e^{t=1}$ 

et

$$\Delta_{J} = \left[ 4(B_{V}^{zz} - B_{V}^{xx}) - 4 B_{e}^{zz} \zeta_{8}^{z} + 8\eta_{8}^{K} - 16 D_{e}^{K} + 2J(J+1)(\eta_{8}^{J} - 2 D_{e}^{JK}) \right]^{2} + 16 (q_{V}^{t})^{2} J(J+1) \left[ J(J+1) - 2 \right]$$

$$II - |Kl_t - 1| = 2$$

1)  $K = \pm 1$ ,  $\ell_t = +1$ 

$$D = F_0' - \frac{1}{2} \left[ \sqrt{\Delta_{J+1}'} - \sqrt{\Delta_J'} \right] + 8 (J+1) \frac{(q_{1,2}^t)^2}{\rho}$$

2)  $K = \pm 3$ ,  $\ell_t = \pm 1$ 

$$F = F'_{0} + \frac{1}{2} \left[ \sqrt{\Delta'_{J+1}} - \sqrt{\Delta'_{J}} \right] - 56(J+1) \frac{(q_{1,2}^{t})^{2}}{\rho}$$

avec

$$F'_{0} = 2B_{V_{e}=1}^{xx} (J+1) - 4 D_{e}^{J} (J+1)^{3} - 10 D_{e}^{JK} (J+1) + 2\eta_{8}^{J} (J+1)$$

et
$$\Delta'_{J} = \left[8(B_{V}^{zz} - B_{V}^{xx}) - 8B_{E}^{zz}\zeta_{8}^{z} + 28\eta_{8}^{K} - 80 D_{e}^{K} + 4J(J+1)(\eta_{8}^{J} - 2D_{e}^{JK})\right]^{2} + 16 (q_{V}^{t})^{2}[J(J+1) - 6]$$

# CHAPITRE - VI ETAT EXCITE $v_g = 3$

Nous avons observé à des fréquences voisines de celles du spectre de l'état excité  $v_8$  = 2 des deux isotopes  $^{14}$ N et  $^{15}$ N de la carbylamine, un ensemble de raies que nous avons attribuées à l'état  $v_8$  = 3.

Dans cet état le nombre quantique  $\ell_t$  prend les valeurs  $\ell_t$  = ± 1,±3; l'expression générale de la fréquence F correspondant à ces valeurs de l est déduite de la formulation de l'énergie que propose G. TARRAGO{4}. De même que pour les états  $v_8 = 1$  et  $v_8 = 2$ , nous avons pu mettre 1'expression de la fréquence reportée dans l'appendice n°4 sous la forme :  $F = A(K, \ell_L)(J+1) + B(K, \ell_L)(J+1)^3$  ce qui nous a permis d'identifier les spectres grâce aux courbes  $\frac{F}{J+1}$  en fonction de  $(J+1)^2$ . Le tracé de ces courbes, représenté figures VI 1 et 2 pour  $CH_3^{14}NC$  et figures VI 3 et 4 pour  $CH_3^{15}NC$ , nous permet de faire l'observation suivante: la forme rectiligne des courbes  $\frac{F}{J+1}$  fonction de  $(J+1)^2$  prévue par la théorie, n'est pas obtenue pour certaines valeurs de K $\ell_t$  lorsque  $|\ell_t|=1$  : en fait, les courbes correspondant à des valeurs de (Kl<sub>t</sub>-1) opposées sont infléchies dans des sens contraires. Nous sommes en présence d'un phénomène de quasi dégénérescence  $d\hat{u}$  au fait que les termes non diagonaux de H de la forme  $\langle K,-1 | H | K+2,1 \rangle = W_{-1,1}$ deviennent plus importants en valeur absolue comparés à la différence  $\Delta E_{-1,1} = |\langle K+2,1|H^{+}|K+2,1\rangle - \langle K,-1|H^{+}|K,-1\rangle|$  des niveaux d'énergie qu'ils couplent.

Un calcul systématique des termes de la forme:

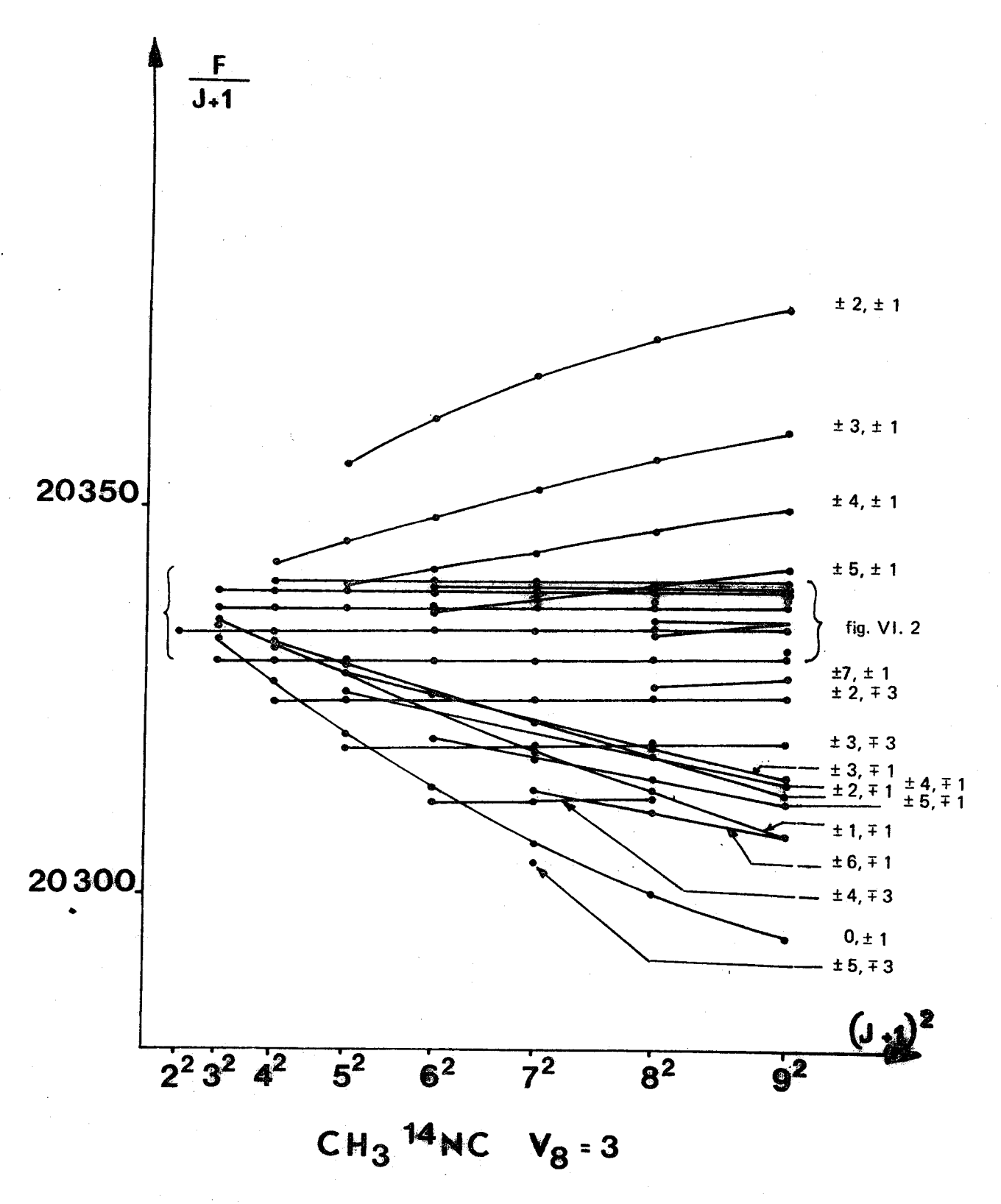
$$\left| \frac{W}{\Delta E} \right|_{\ell_{t}, \ell_{t+2}} = \left| \frac{\langle K, \ell_{t} | H^{+} | K+2, \ell_{t}+2 \rangle}{\langle K+2, \ell_{t}+2 | H^{+} | K+2, \ell_{t}+2 \rangle - \langle K, \ell_{t} | H^{+} | K, \ell_{t} \rangle} \right|$$

pour être valable et un phénomène de résonance apparaît.

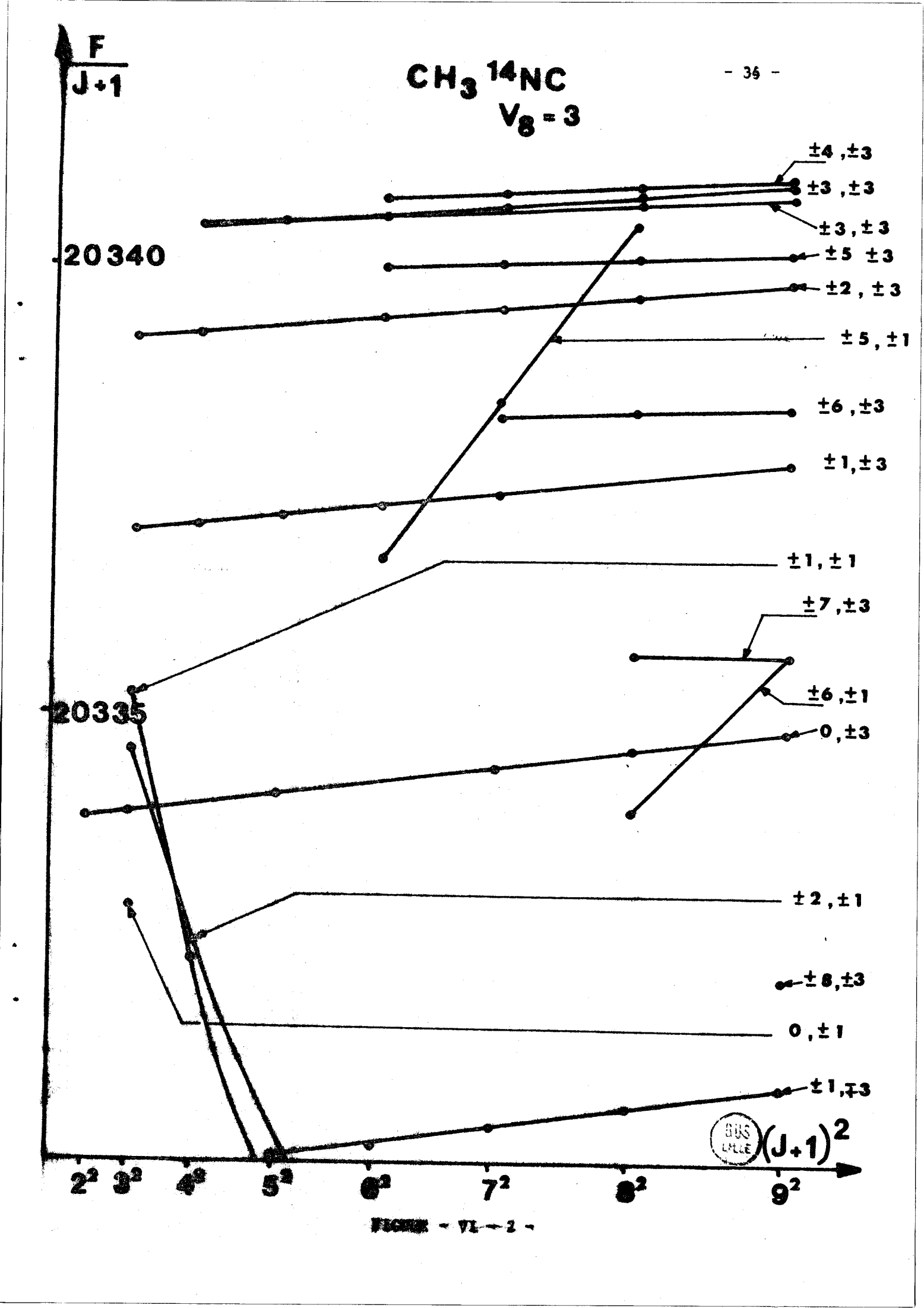
pour les valeurs de  $\ell_t$  égales à -3, -1, 1 à partir des constantes obtenues par un calcul de moindres carrés effectué sur les raies non résonantes nous donne en effet les résultats suivants:

Le calcul de perturbation utilisé n'est alors plus porté à un ordre suffisant

les rapports  $\left|\frac{W}{\Delta E}\right|_{-3, -1}$  et  $\left|\frac{W}{\Delta E}\right|_{1,3}$  sont égaux et leur valeur est seulement de l'ordre de  $10^{-3}$ ; par contre, le rapport  $\left|\frac{W}{\Delta E}\right|_{-1,1}$  est supérieur à  $10^{-1}$  et prend même les valeurs respectives de 0,5 et 0,7 pour CH<sub>3</sub>  $^{14}$ NC et CH<sub>3</sub>  $^{15}$ NC lorsque  $\left|\mathbb{Kl}_{t}^{-1}\right|$  est égal à 1 ce qui correspond au couplage entre les niveaux  $|\pm 2, \pm 1\rangle$  et  $|0, \pm 1\rangle$ .







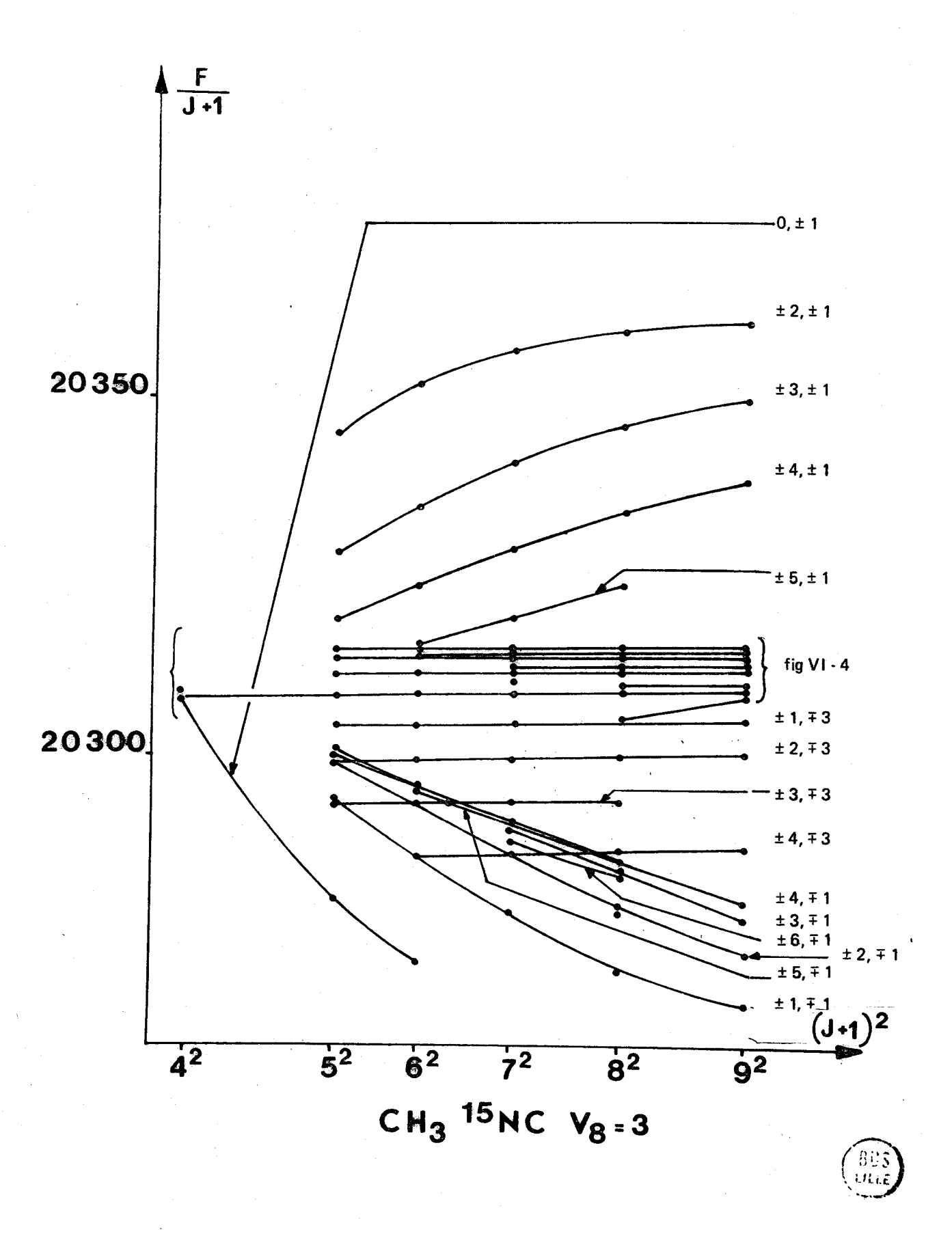
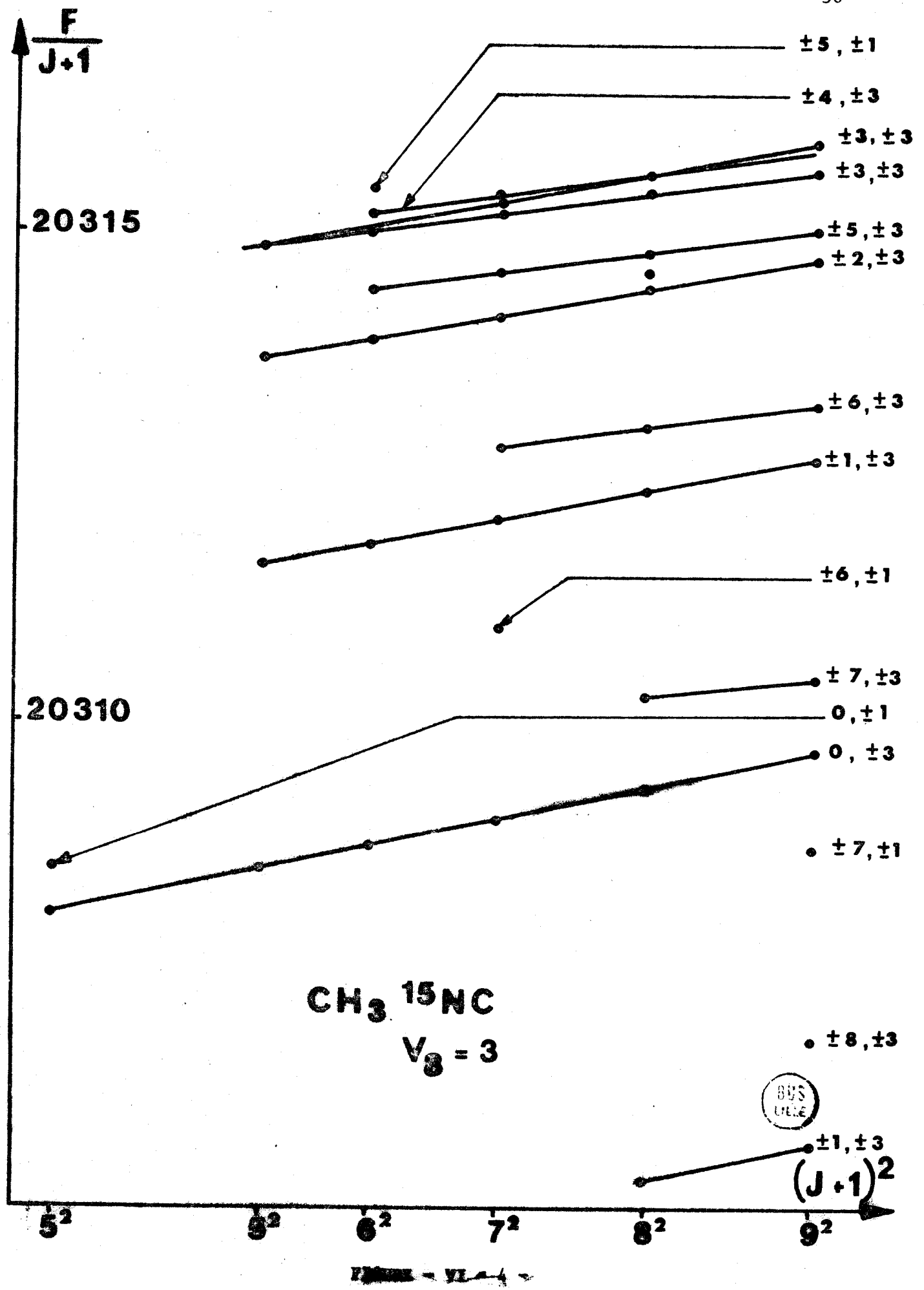


FIGURE - VI - 3 -

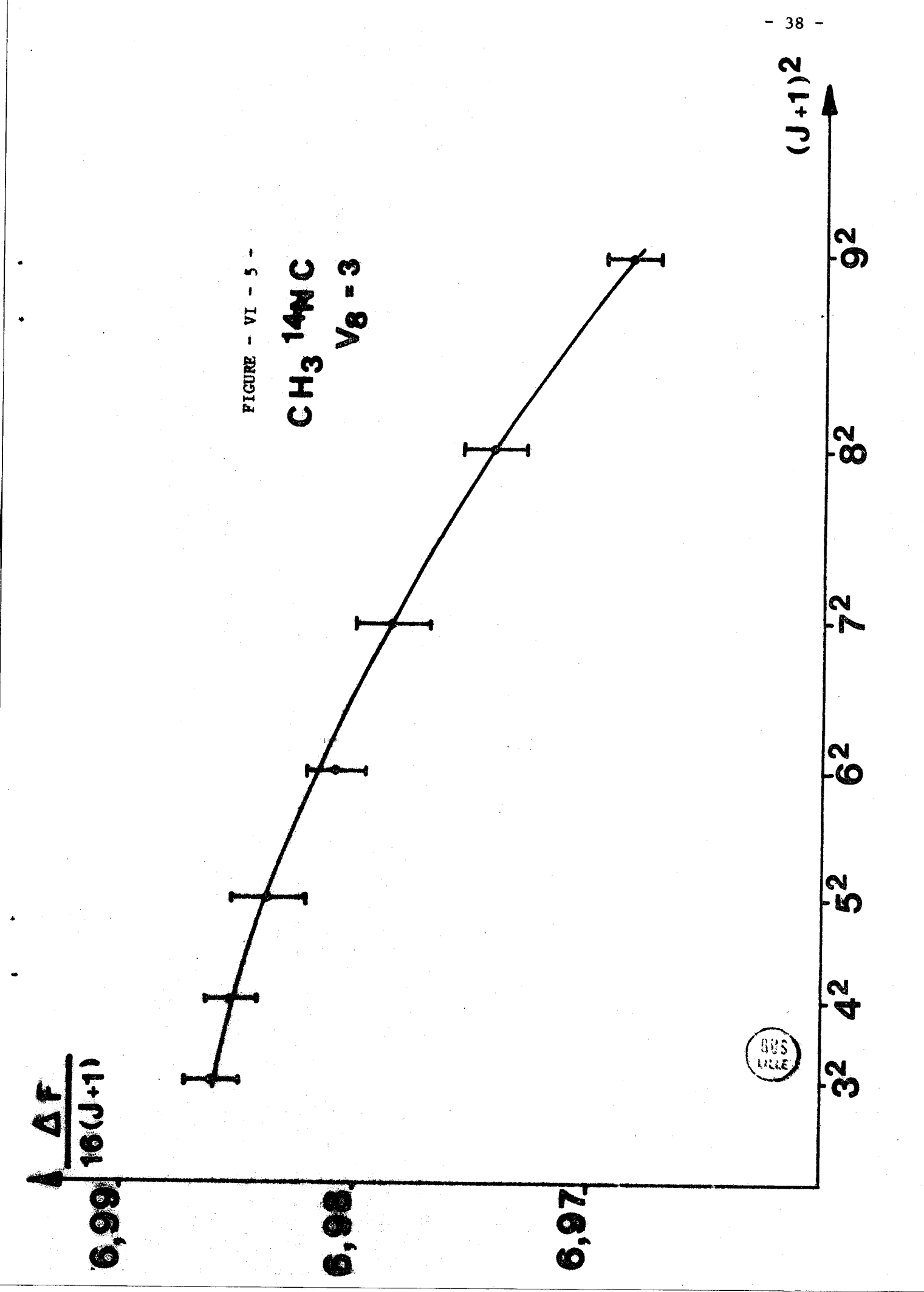


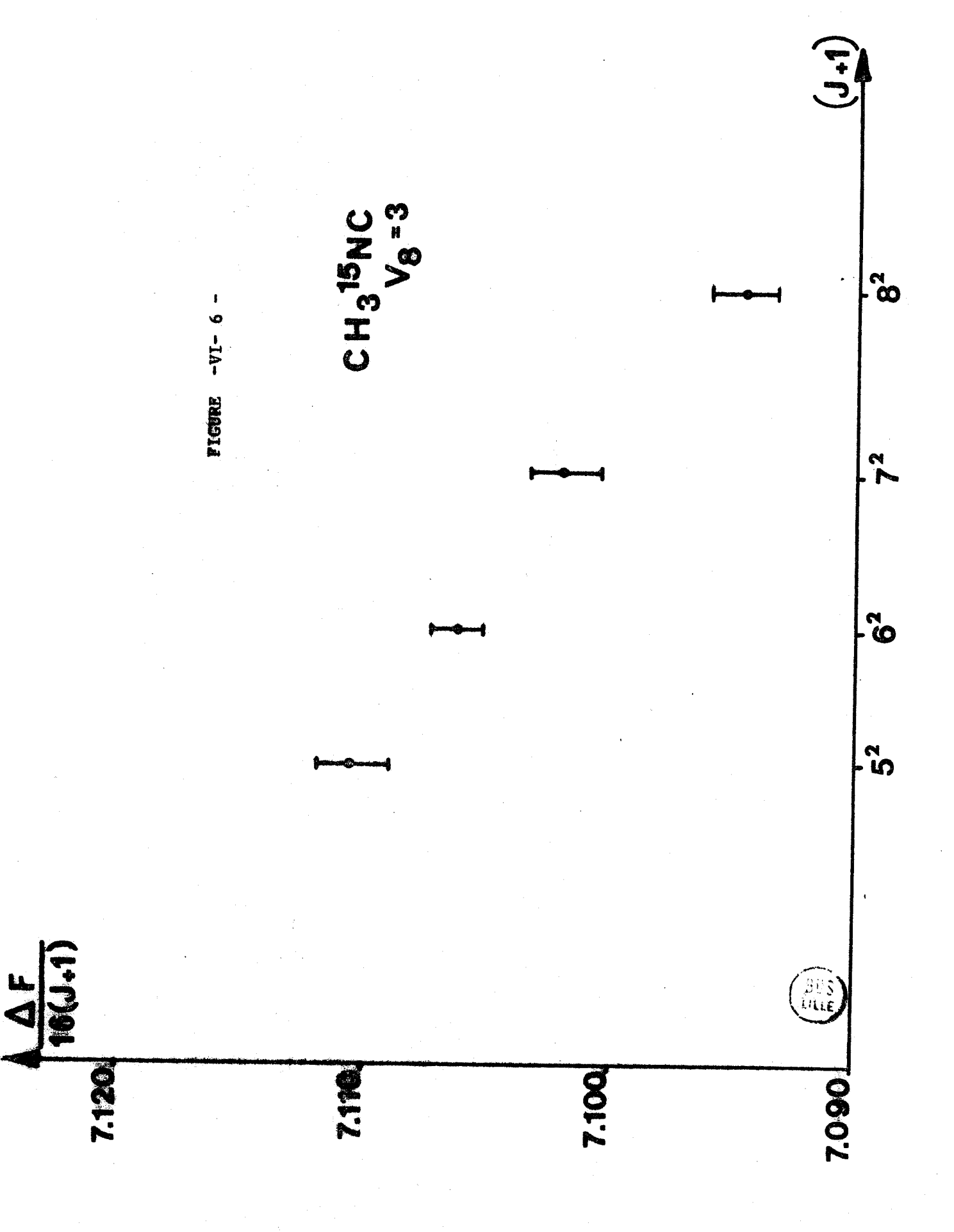
L'identification du spectre est confirmée par le tracé des courbes F en fonction de  $\frac{KL}{|L_t|}$  pour une transition donnée: ainsi pour la valeur de  $|L_t|$  égale à 3 leur forme est parabolique ( cf figure VI -7 pour  $\mathrm{CH_3}^{14}\mathrm{NC}$  et figure VI-9 pour  $\mathrm{CH_3}^{15}\mathrm{NC}$ ) alors que leur allure devient asymptotique pour la valeur de  $|L_t|$  égale à 1 par suite du dédoublement de type L. ( cf figures VI - 8 et 10 respectivement pour  $\mathrm{CH_3}^{14}\mathrm{NC}$  et  $\mathrm{CH_3}^{15}\mathrm{NC}$ ).

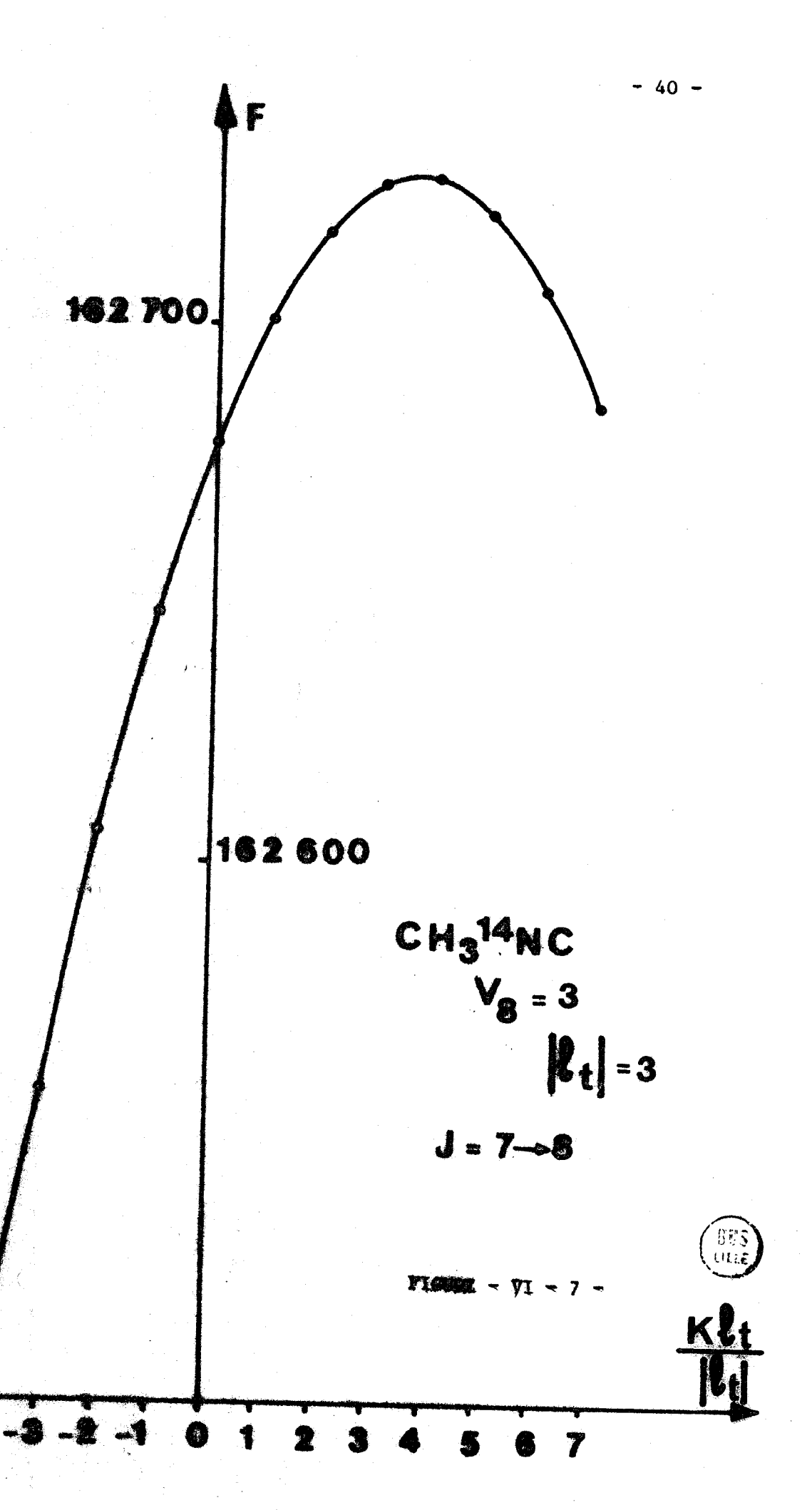
Par ailleurs, cet état excité  $v_8$  = 3, pour lequel le nombre quantique  $\ell_t$  peut prendre la valeur  $\ell_t$  = ±1 est caractérisé comme l'état excité  $v_t$  = 1 par un dédoublement des niveaux d'énergie (K =  $\pm$  1,  $\ell_{\rm t}$  =  $\pm$  1) qui se traduit dans le spectre sous la forme d'un dédoublement de raies séparées par un écart de fréquence  $\Delta F = 16 |q_V^{t,J}|$  (J+1). Cet écart est double de celui qui intervient dans l'état  $v_r = 1$ , ce qui permet d'obtenir une meilleure précision pour la détermination de la constante  $|{f q}_{f V}^{{f t},{f J}}|$  de cet état excité et en particulier de mettre en évidence la contribution en fréquence de sa variation avec J. L'étude des courbes  $\frac{\Delta F}{16(J+1)} = |q_V^{t,J}| = |q_V^{t} + 2f_{2,2}^{t,J} \quad (J+1)^2 | \text{ en fonction de } (J+1)^2 \text{ montre effectivement}$ une variation significative de  $|q_V^{t,J}|$  avec J, mais avec une anomalie bien visible pour CH<sub>2</sub> <sup>14</sup>NC (cf figure VI-5). Le tracé de la courbe n'est pas rectiligne comme le prévoit la théorie, mais a une allure parabolique. Il semblerait que les raies du doublet "type l" soient en résonance avec les raies (K=±3, l,=±3), ce qui entraı̂ne à la fois un phénomène de dédoublement des raies (K= $\pm 3$ ,  $\ell_{_{_{\! +}}}$ = $\pm 3$ ) - que nous analyserons à la fin de ce chapitre-et un déplacement des raies (K=±1,  $\ell_{+}$ =±1). Un nombre insuffisant de doublets ayant été observé pour CH<sub>3</sub> NC la variation de avec J a été mise en évidence, mais il a été impossible de tracer exactement la courbe de variation (cf figure VI-6,).(8).

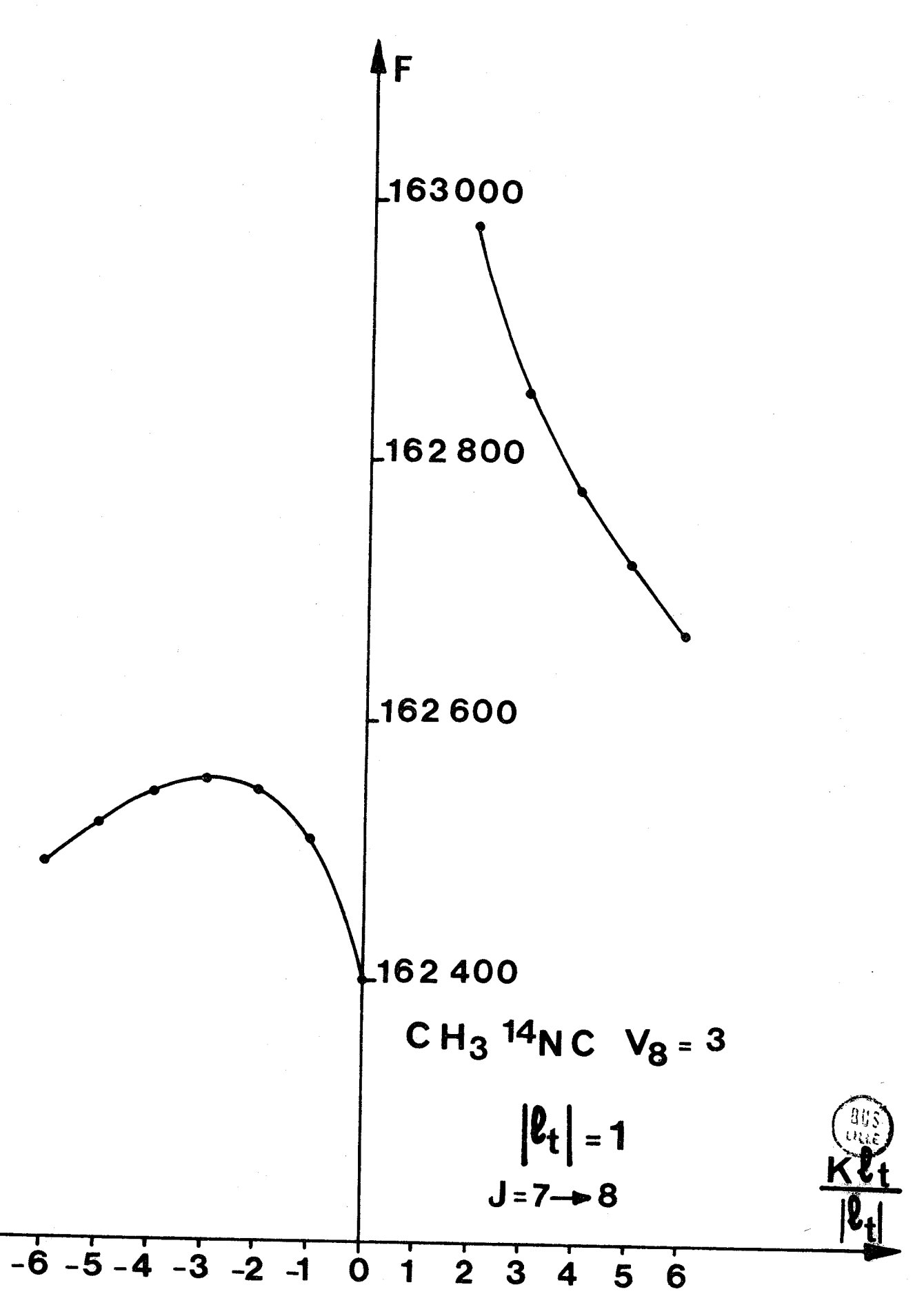
## Spectre de CH<sub>3</sub><sup>14</sup>NC

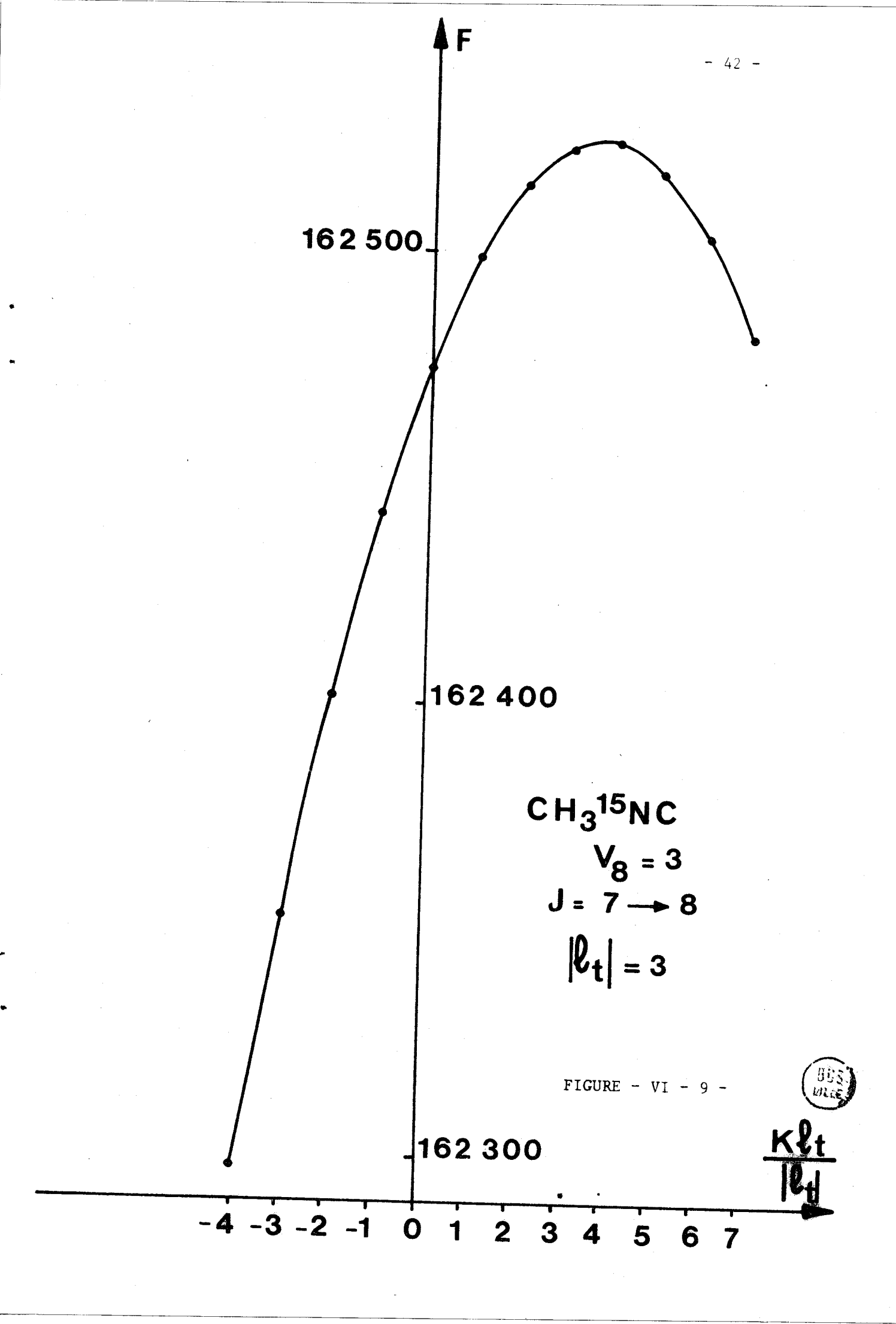
Nous avons mesuré les fréquences des mêmes transitions que celles observées pour l'état excité  $v_8$  = 2 continuant ainsi les travaux de BOGEV {22} . Les valeurs des constantes  $B_e^{ZZ}$  et  $\zeta_t^Z$  utilisées dans le calcul de moindres carrés sont égales respectivement à 154300 MHz et 0,927; nous les avons donc choisies égales à celles de l'état excité  $v_8$ =2. Lors de ce calcul nous avons dû éliminer les raies pour lesquelles un phénomène de résonance a été mis en évidence par le calcul des termes  $\left|\frac{W}{\Delta E}\right|_{\ell_t,\ell_t+2}$ , ainsi que les raies (K= ±3,  $\ell_t$ = ±3) qui présentent un dédoublement observable pour les transitions J = 7+8 et 8+9 et les raies de doublet " type  $\ell$ " des transitions J =6+7, 7+8 et 8+9 en résonance avec (8) Nous avons tenu compte de la variation de  $q_V^{t}$  avec J dans l'expression générale de la fréquence des transitions lors du calcul par la méthode de moindres carrés des constantes de rotation.

















$$CH_3^{15}NCV_8 = 3$$

$$\begin{vmatrix} e_t \\ -1 \end{vmatrix} = 1$$

$$J = 7 \rightarrow 8$$

les raies (K =±3,  $l_t$  = ± 3) correspondantes.

Nous avons différencié ces raies de l'ensemble des mesures reportées dans le tableau A5 en les affectant dans ce tableau d'un astérisque. Les valeurs des constantes obtenues par le calcul de moindres carrés sont notées dans le tableau général GI. Le dédoublement observé pour les raies (K =  $\pm$  3,  $\ell_t$  =  $\pm$  3) est effectivement prévu par la théorie des groupes pour des valeurs de  $|K^-\ell_t|$  multiples de 3, mais à notre connaissance, c'est la première fois qu'il a été mis en évidence expérimentalement et aucune formulation n'en a été donnée. L'écart expérimental entre les raies de ce doublet est de 0,8 MHz pour J =  $7 \rightarrow 8$  et de 1,8 MHz pour J =  $8 \rightarrow 9$  et on constate que les fréquences centrales coı̈ncident à 1'erreur expérimentale près avec les fréquences obtenues à la suite du calcul de perturbation qui ne tient pas compte du dédoublement

## Spectre de CH<sub>3</sub><sup>15</sup>NC

Nous avons reporté dans le tableau B5 l'ensemble des raies des transitions observées J=1+2, 4+5, 5+6, 6+7, 7+8 et 8+9. Les valeurs des constantes notées dans le tableau général GII ont été obtenues à la suite d'un calcul de moindres carrés effectué sur l'ensemble des raies sauf sur celles qui sont soit affectées par la résonance, soit dédoublées, et qui sont relevées dans le tableau B5 avec un astérisque (9). Le phénomène de dédoublement observé pour les raies  $(K=\pm 3,\ \ell_t=\pm 3)$  de  $CH_3^{14}NC$  apparaît également pour  $CH_3^{15}NC$  lors des transitions J=6+7, 7+8 et 8+9; les dédoublements sont dans ce cas plus importants et atteignent les valeurs respectives de 0,8 MHz, 1,7 MHz et 2,6 MHz.

#### Mise en évidence du dédoublement (K=±3, $l_t$ =±3)

Ainsi que nous l'avons indiqué dans le chapitre I les seuls éléments de matrice non nuls de la matrice énergie  $H^+$ sont, pour une toupie de symétrie  $C_{3v}$ , de la forme:  $\langle K, \ell_t | H^+ | K + \Delta K, \ell_t + \Delta \ell_t \rangle$  avec  $|\Delta K - \sum_t \Delta \ell_t| = 3p$  (p entier).

Dans notre cas particulier, nous nous sommes limités aux éléments définis par G. TARRAGO {4}:

<sup>(9)</sup> La convergence du calcul n'a été obtenue qu'après avoir fait varier la constante B<sup>ZZ</sup> et en lui donnant la valeur de 153000 MHz.

- pour les éléments diagonaux

$$\langle K, \ell_{t} | H^{+} | K, \ell_{t} \rangle = E_{V} + B_{V}^{xx} J(J+1) + (B_{V}^{zz} - B_{V}^{xx}) K^{2}$$

$$-D_{e}^{J} J^{2} (J+1)^{2} - D_{e}^{JK} J(J+1) K^{2} - D_{e}^{K} K^{4} - 2 \Sigma_{t} (\zeta_{t}^{z} B_{V}^{zz})_{V} K \ell_{t} + \Sigma_{t} \eta_{t}^{J} J(J+1) K \ell_{t} + \Sigma_{t} \eta_{t}^{K} K^{3} \ell_{t}$$

- pour les éléments non diagonaux

1) 
$$< K$$
,  $\ell_t | H^+ | K \pm 2$ ,  $\ell_t \pm 2 > = q_V^{t}$ ,  $J[J(J+1) - K(K\pm 1)]^{1/2} [J(J+1) - (K\pm 1)(K\pm 2)]^{1/2} (v_t + \ell_t + 1\pm 1)^{1/2}$ ,  $(v_t - \ell_t + 1 + 1)^{1/2}$ .

Ces derniers éléments deviennent dans le cas particulier du dédoublement de type 1:

$$<\pm 1$$
,  $\pm 1 |H^+|+1$ ,  $+1>= q_V^t$ ,  $J(J+1)(v_t+1)$ .

Comme la contribution à l'énergie de ces éléments est beaucoup plus importante, il y a lieu de tenir compte de la variation de  $q_V^{t,J}$  avec J, qui est de la forme:  $q_V^{t,J} = q_V^t + f_{2,2}^{t,J}$  J(J+1).

2) 
$$\langle K, \ell_t | H^+ | K \pm 1, \ell_t = [q_{1/2}^t (2K \pm 1) + d_{1/2}^t, (\ell_t + 1)] [J(J+1) - K(K\pm 1)]^{1/2} (v_t + \ell_t + 1 \pm 1)^{1/2} (v_t + \ell_t + 1 \pm 1)^{1/2}.$$

Comme dans l'état  $v_t$  =1, on montre que les termes en  $q_{1,2}^t$  et  $d_{1,2}^t$  correspondant aux éléments de matrice non diagonaux  $\langle K, \ell_t | H^+ | K\pm 1, \ell_t \mp 2 \rangle$  n'interviennent que comme termes correctifs très faibles que l'on peut donc traiter en perturbation. On peut donc effectuer une diagonalisation partielle de la matrice énergie réduite aux seuls éléments de matrice non nuls de la forme  $\langle K, \ell_t | H^+ | K, \ell_t \rangle$  et  $\langle K, \ell_t | H^+ | K\pm 2, \ell_t \pm 2 \rangle$ .

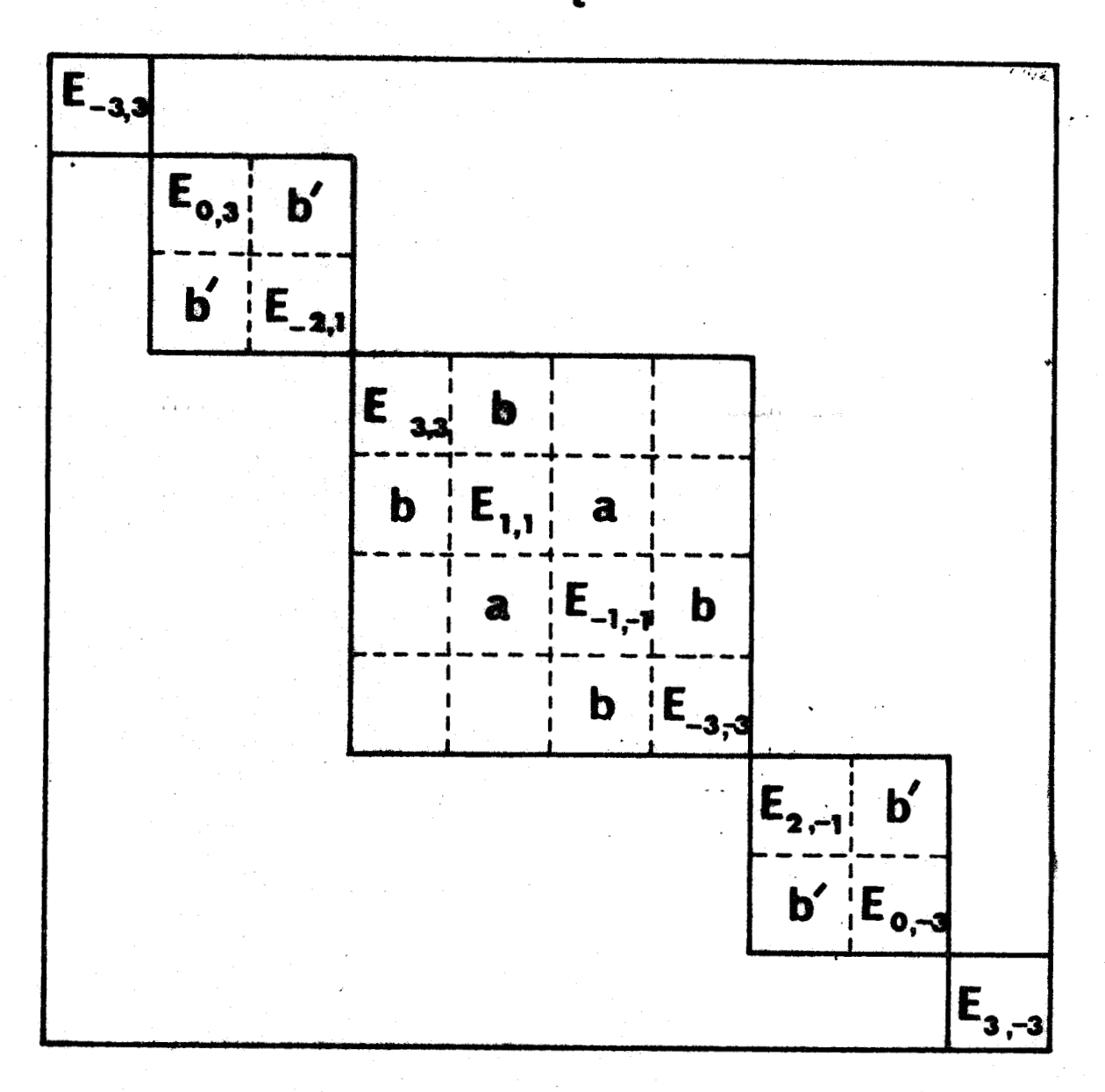
D'après G. TARRAGO{4} une matrice énergie  $\operatorname{H}^+$  correspondant à une mo-lécule de symétrie ternaire peut être décomposée en deux sous-matrices correspondant aux types de symétrie A et E. Ainsi les vecteurs  $|K,\ell_t\rangle$  tels que  $|K-\ell_t|=3p$  forment une base de représentation de la matrice A et en particulier les vecteurs  $|3,3\rangle,|1,1\rangle,\;|-1,-1\rangle$  et  $|-3,-3\rangle$  appartiennent à cette base. Un arrangement des lignes et des colonnes permet alors de décomposer la matrice A en une somme de sous-matrices de rang inférieur ou égal à 4. La figure VI-11 reproduit une de ces matrices A décomposées, dans le cas particulier

$$E_{K,\ell_t} = \langle K, \ell_t | H^+ | K, \ell_t \rangle$$

$$a = \langle \mp 1, \mp 1 | H^+ | \pm 1, \pm 1 \rangle$$

et b etb'=  $\langle K, l_t | H^+ | K\pm 2, l_t\pm 2 \rangle$  pour  $K l_t \neq \pm 1$ , et où il a été tenu compte

# Matrice A J=3 V<sub>t</sub>=3



pour ces éléments de la relation  $\langle K, \ell_t | H^+ | K', \ell'_t \rangle = \langle -K, -\ell_t | H^+ | -K', -\ell'_t \rangle$ , relation facile à vérifier.

La factorisation de la matrice A permet de mettre en évidence un bloc A' comportant uniquement les éléments <K,  $\ell_t$   $|H^+|K'$ ,  $\ell_t$  >où K et K' =±1, ±3;  $\ell_t$  et  $\ell_t$  = ±1, ±3 et dans laquelle on a de plus  $\ell_t$  = 3,3 =  $\ell_t$  = 1,1 =  $\ell_t$  =  $\ell_t$ 

	3,3>	1,1>	-1,-1>	-3,-3>
<3,3	E <sub>3,3</sub>	b	0	0
<1,1	ъ	E <sub>1,1</sub>	а	0
<-1,-1	0	a	E <sub>1,1</sub>	Ъ
<-3,-3	0	0	b	E3,3

On effectue le changement de base suivant:

$$|3, 3, \pm \rangle = \frac{1}{\sqrt{2}} (|3, 3\rangle \pm |-3, -3\rangle)$$
  
 $|1, 1, \pm \rangle = \frac{1}{\sqrt{2}} (|1, 1\rangle \pm |-1, -1\rangle)$ 

On obtient alors la matrice A" sous la forme:

	3,3,+>	1,1,+>	1,1,->	3,3,->
<3,3,+	E <sub>3,3</sub>	ъ		)
<1,1,+	ь	E <sub>1,1</sub> + a		,
<1,1,-		0	E <sub>1,1</sub> -a	b
<3,3,-		<b>y</b>	Ъ	E <sub>3,3</sub>

La matrice A" est donc la somme directe de 2 matrices de rang 2 faciles à diagonaliser A" et A" dont les bases respectives sont ( $|3,3,+\rangle$ ,  $|1,1,+\rangle$ ) et( $|3,3,-\rangle$ ,  $|1,1,-\rangle$ ).

Les valeurs propres de la matrice A", sont:

$$\mathcal{E}_{3}^{+} = \frac{E_{3,3}^{+E_{1,1}^{+a}}}{2} + \frac{1}{2} \sqrt{(E_{3,3}^{-} E_{1,1}^{-} a)^{2} + 4b^{2}}$$

$$\mathcal{E}_{1}^{+} = \frac{E_{3,3}+E_{1,1}+a}{2} - \frac{1}{2} \sqrt{(E_{3,3}-E_{1,1}-a)^{2}+4b^{2}}$$

Dans le cas particulier de  $CH_3^{14}NC$ , les valeurs de  $E_{3,3}^{2}$  obtenues à partir des valeurs des constantes déduites du calcul de perturbation, sont pour les valeurs de J = 7.8 et 9 supérieures aux valeurs de  $E_{1,1}^{2} + |a|$  obtenues par la même méthode et de ce fait  $E_{3,3}^{2} - E_{1,1}^{2} - a$  est certainement, quelque soit le signe de a qui est inconnu, positif (10). Donc, si on fait tendre b vers  $0, E_3^+$  tend vers  $(E_3^+)_0^{-1} = E_{1,1}^{2} + a$ . Mais dans ce cas  $A''_+$  est diagonal et admet comme valeurs propres  $E_{3,3}^{2}$  et  $E_{1,1}^{2}$  + a correspondant aux vecteurs propres

$$|3,3,+\rangle = \frac{1}{\sqrt{2}} (|3,3\rangle + |-3,-3\rangle) \text{ et } |1,1,+\rangle = \frac{1}{\sqrt{2}} (|1,1\rangle + |-1,-1\rangle)$$

caractérisés par les couples respectifs  $(K, l_+)=(\pm 3, \pm 3)$  et $(\pm 1, \pm 1)$ .

On peut donc associer à  $k_3^+$  les valeurs  $K = \pm 3$ ,  $l_t = \pm 3$  et à  $k_1^+$  les valeurs  $K \neq \pm 1$ ,  $l_t = \pm 1$ .

On raisonne de même pour les valeurs propres de A"  $g_3$  et  $g_1$  que 1'on peut donc associer respectivement aux couples de valeurs (K =±3, $l_t$ =±3) et (K=±1,  $l_t$ =±1). Après avoir utilisé cette méthode pour des valeurs de J successives et avoir appliqué les règles de sélection habituelles ainsi que la règle A"  $\leftrightarrow$  A", A"  $\leftrightarrow$  A", nous avons obtenu la valeur des fréquences des transitions J  $\rightarrow$  J+1 en ajoutant au résultat la contribution due aux termes en  $g_1$  et  $g_2$  calculée par perturbation (11) soit:

<sup>(10)</sup> En effet le signe de a dépend de celui de q<sup>t</sup>, J qui ne peut être déterminé.

<sup>(11)</sup> Dans ce calcul, on a posé  $B_V^{XX} \simeq B_P^{XX}$ 

pour 
$$K = \pm 1$$
,  $\ell_t = \pm 1$ 

+ 
$$\frac{24 (q_{1,2}^{t}+2 d_{1,2}^{t,t})^{2} (J+1)}{3\rho - 2\pi} - \frac{96 (q_{1,2}^{t})^{2} (J+1)}{\rho} = W_{1}$$

pour 
$$K = \pm 3$$
,  $\ell_t = \pm 3$ 

$$- \frac{24(7q_{1,2}^{t}+2d_{1,2}^{tt})^{2}(J+1)}{9q_{1}-2II} = W_{3}$$

avec

$$\rho = B_{e}^{zz} - B_{e}^{xx} + 2B_{e}^{zz} \zeta_{t}^{z}$$

$$II = B_{e}^{zz} - B_{e}^{xx} + 4B_{e}^{zz} \zeta_{t}^{z} + 4x_{l_{t}l_{t}}$$

On obtient finalement:

1) pour  $F_3^+$  et  $F_1^+$ :

$$F_{3}^{+} = (\mathcal{E}_{3}^{+})_{J+1} - (\mathcal{E}_{3}^{+})_{J} + W_{3}$$

$$= F_{0} + \frac{1}{2} (\sqrt{\Delta_{J+1}} - \sqrt{\Delta_{J}}) + W_{3} ;$$

$$F_{1}^{+} = (\mathcal{E}_{1}^{+})_{J+1} - (\mathcal{E}_{1}^{+})_{J} + W_{1}$$

$$= F_{0} - \frac{1}{2} (\sqrt{\Delta_{J+1}} - \sqrt{\Delta_{J}}) + W_{1} ;$$

$$Vec$$

$$F_{0} = \begin{bmatrix} B_{V=3}^{XX} + B_{V=3}^{XX} \end{bmatrix} (J+1) - 4 D_{e}^{J} (J+1)^{3}$$

$$|\mathcal{L}_{E}^{+}|_{2} = 1$$

$$-10 \text{ D}_{e}^{\text{JK}} \text{ (J+1) } + 10 \text{ n}_{t}^{\text{J}} \text{ (J+1) } + 4 \text{ q}_{v}^{t} \text{ (J+1)} + 8 \text{ f}_{2,2}^{t,J} \text{ (J+1)}^{3}$$

et 
$$\Delta_{J} = \left[ (E_{V})_{|\ell_{t}|=3} (E_{V})_{|\ell_{t}|=1} + (B_{V=3}^{xx} - B_{V=3}^{xx}) \right] (J+1)$$

$$|\ell_{t}|=3 \quad |\ell_{t}|=1$$

$$+8(B_{V}^{zz}-B_{V}^{xx})-8D_{e}^{JK}J(J+1)-80D_{e}^{K}-16\zeta_{t}^{z}B_{V}^{zz}+8\eta_{t}^{J}J(J+1)+80\eta_{t}^{K}-4q_{V}^{t}J(J+1)-4f_{2,2}^{t}J^{2}(J+1)^{2}J^{2}$$

$$+48(q_V^t)^2[J(J+1)-2][J(J+1)-6].$$

## 2) Pour $\mathbf{F}_3$ et $\mathbf{F}_1$

$$F_{3}^{-} = (\mathcal{E}_{3}^{-})_{J+1} - (\mathcal{E}_{3}^{-})_{J} + W_{3}$$

$$= F'_{0} + \frac{1}{2} (\sqrt{\Delta'_{J+1}} - \sqrt{\Delta'_{J}}) + W_{3};$$

$$F_{1}^{-} = (\mathcal{E}_{1}^{-})_{J+1} - (\mathcal{E}_{1}^{-})_{J} + W_{1}$$

$$F'_{0} - \frac{1}{2} (\sqrt{\Delta'_{J+1}} - \sqrt{\Delta'_{J}}) + W_{1};$$
avec
$$F'_{0} = \begin{bmatrix} B_{V=3} + B_{V=3} & J (J+1) - 4D_{e}^{J} (J+1)^{3} \\ |^{2} e^{-3} & |^{2} e^{-1} \end{bmatrix}$$

$$-10 D_{e}^{JK} (J+1) + 10 n_{t}^{J} (J+1) - 4q_{v}^{t} (J+1) - 8f_{2,2}^{t} (J+1)^{3}$$
et
$$\Delta'_{J} = \begin{bmatrix} (E_{V})_{[2t]=3} - (E_{V})_{[2t]=1} + \begin{bmatrix} B_{V=3}^{XX} - B_{V=3}^{XX} & J J (J+1) \\ |^{2} e^{-3} & |^{2} e^{-1} \end{bmatrix}$$

+ 
$$8(B_{V}^{zz} - B_{V}^{xx}) - 8D_{e}^{JK} J(J+1) - 80 D_{e}^{K} - 16\zeta_{t}^{z} B_{V}^{zz} + 8\eta_{t}^{J} J(J+1)$$

$$+80\eta_{t}^{K} +4q_{v}^{t}J(J+1)+4f_{2,2}^{t,J} J^{2}(J+1)^{2}$$

$$+48(q_v^t)^2[J(J+1)-2][J(J+1)-6]$$

Cette méthode a été utilisée lors du calcul des fréquences des doublets de la transition J=7.8 de  $CH_3^{-14}NC$ . Il est à noter que dans ce calcul, on ne peut pas déterminer quelles raies correspondent à  $F_3^+$  et  $F_3^-$ . En effet, le signe de  $q_V^t$  n'étant pas connu, on ne peut calculer que deux fréquences  $v_3(|q_V^t|)$  et  $v'_3(-|q_V^t|)$  qui peuvent correspondre soit à  $F_3^+$ , soit à  $F_3^-$  suivant le signe de  $q_V^t$ . Ce sont donc ces fréquences  $v_3$  et  $v'_3$  qui sont rapportées ci après.

	Fréquence mesurée	Fréquence calculée	Ecart F - F C. M
ν <sub>3</sub>	162 726,720	162 726,188	-0,532
ν'3	1 <b>6</b> 2 7 <b>2</b> 5,871	162 725,387	-0,484
ν <sub>3</sub> -ν' <sub>3</sub>	0,849	0,801	-0,048

Le décalage observé entre fréquence calculée et fréquence mesurée provient du fait que les termes en  $D_e^K$  et  $\eta_t^K$  qui sont indépendants de J sont mal connus; en effet ils ne sont déterminés que par le calcul effectué sur les raies en résonance de l'état  $v_8$ = 1. Cependant un calcul analogue avec les paramètres obtenus par A.BAUER {2.3} nous donne un écart ( $F_c$ - $F_M$ ) qui se situe dans le domaine d'erreur expérimentale.

$$\frac{\Delta F}{16(J+1)} = \left| \frac{q_V^{t}}{2} + f_{2,2}^{t,J} (J+1)^2 + \frac{1}{32(J+1)} \left[ \sqrt{\Delta_J} + \sqrt{\Delta_{J+1}^{t}} - \sqrt{\Delta_{J+1}^{t}} - \sqrt{\Delta_{J+1}^{t}} \right] \right|$$

Le dernier terme est une fonction compliquée de J et de (J+1);  $\frac{\Delta F}{16(J+1)}$  n'est donc pas une fonction linéaire de  $(J+1)^2$  ce qui explique la forme non rectiligne de la courbe VI - 5.

En ce qui concerne  $CH_3^{15}NC$ , nous n'avons pas pu calculer les fréquences des doublets (K =  $\pm$  3,  $\ell_t$  =  $\pm$  3), car les constantes  $n_t^K$  et  $D_e^K$  n'ont pu être déterminées.

## \* C H A P I T R E - V I I -

# ETAT EXCITE V<sub>8</sub> = 4

Comme nous l'avons indiqué dans le premier chapitre, nous avons observé dans les spectres de la méthyle carbylamine ( $\text{CH}_3^{14}$  NC et  $\text{CH}_3^{15}$ NC) un ensemble de raies que nous avons attribuées à l'état  $v_g = 4$ .

Cette observation a été réalisée pour des transitions élevées correspondant à des fréquences pour lesquelles la puissance hyperfréquence était trop faible pour obtenir un rapport signal sur bruit suffisant: Pour la plupart des raies observées, ce rapport n'est que faiblement supérieur à l et de ce fait le critère d'intensité n'a pas pu être en général retenu pour leur identification. De plus l'identification graphique s'est révélée difficile, surtout par suite du réseau très serré des courbes  $\frac{F}{J+1} \quad \text{en fonction de } (J+1)^2 (\text{cf. figures VII} \ 1 \text{ et 2 pour CH}_3^{14} \text{NC}) \text{ qui de plus se croisent souvent. Cependant le tracé des courbes représentant F en fonction de <math display="block">\frac{K \ell_t}{|\ell_k|} (\text{pour } |\ell_t| = 2 \text{ ou 4}) \text{ ou de } |K| (\text{pour } \ell_t = 0) \text{ pour une transition donnée permet l'identification complète du spectre.} (\text{cf. figures VII 3, 4 et 5 pour CH}_3^{14} \text{NC}).$ 

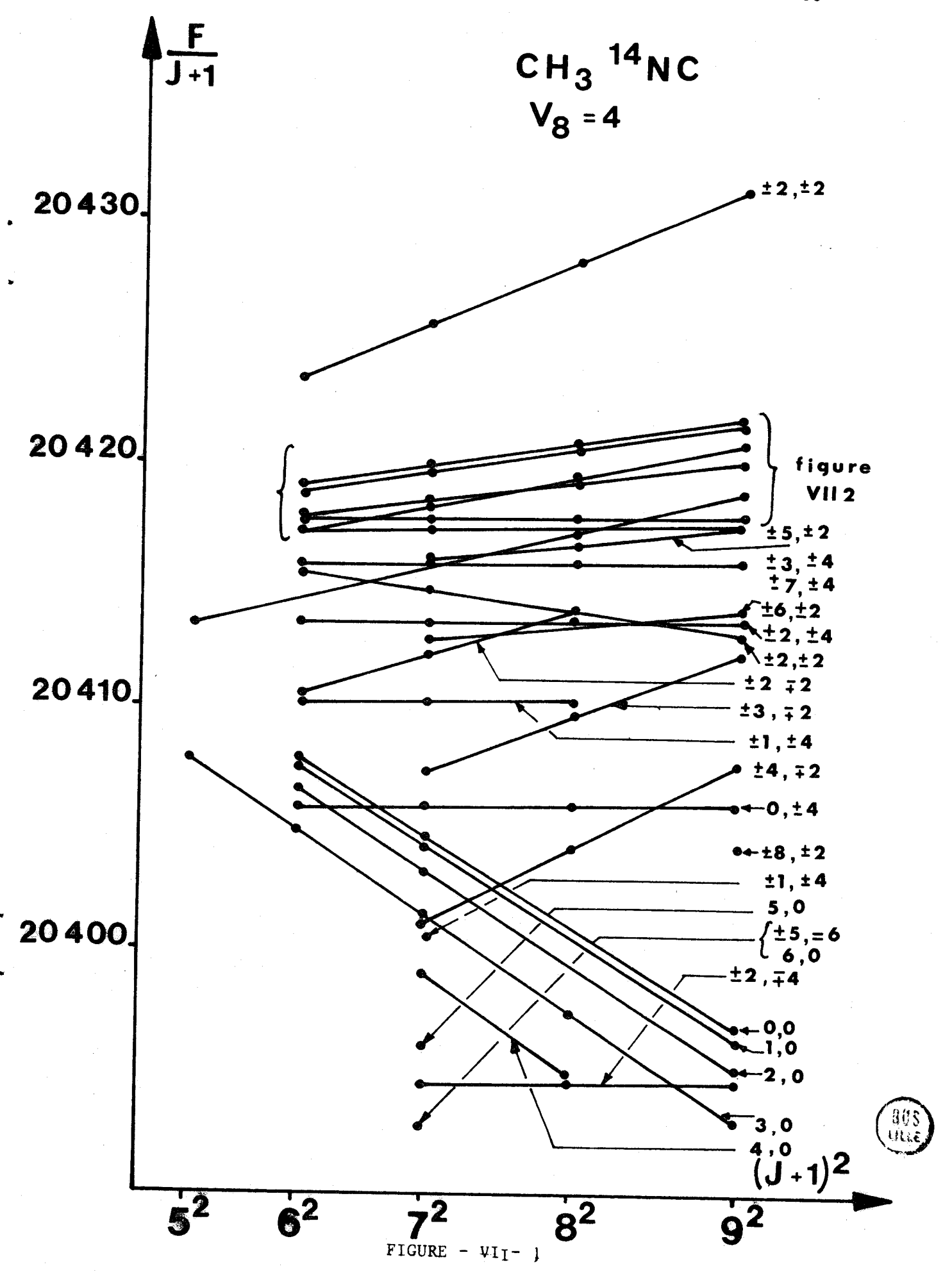
En effet ces trois courbes ont une allure parabolique.

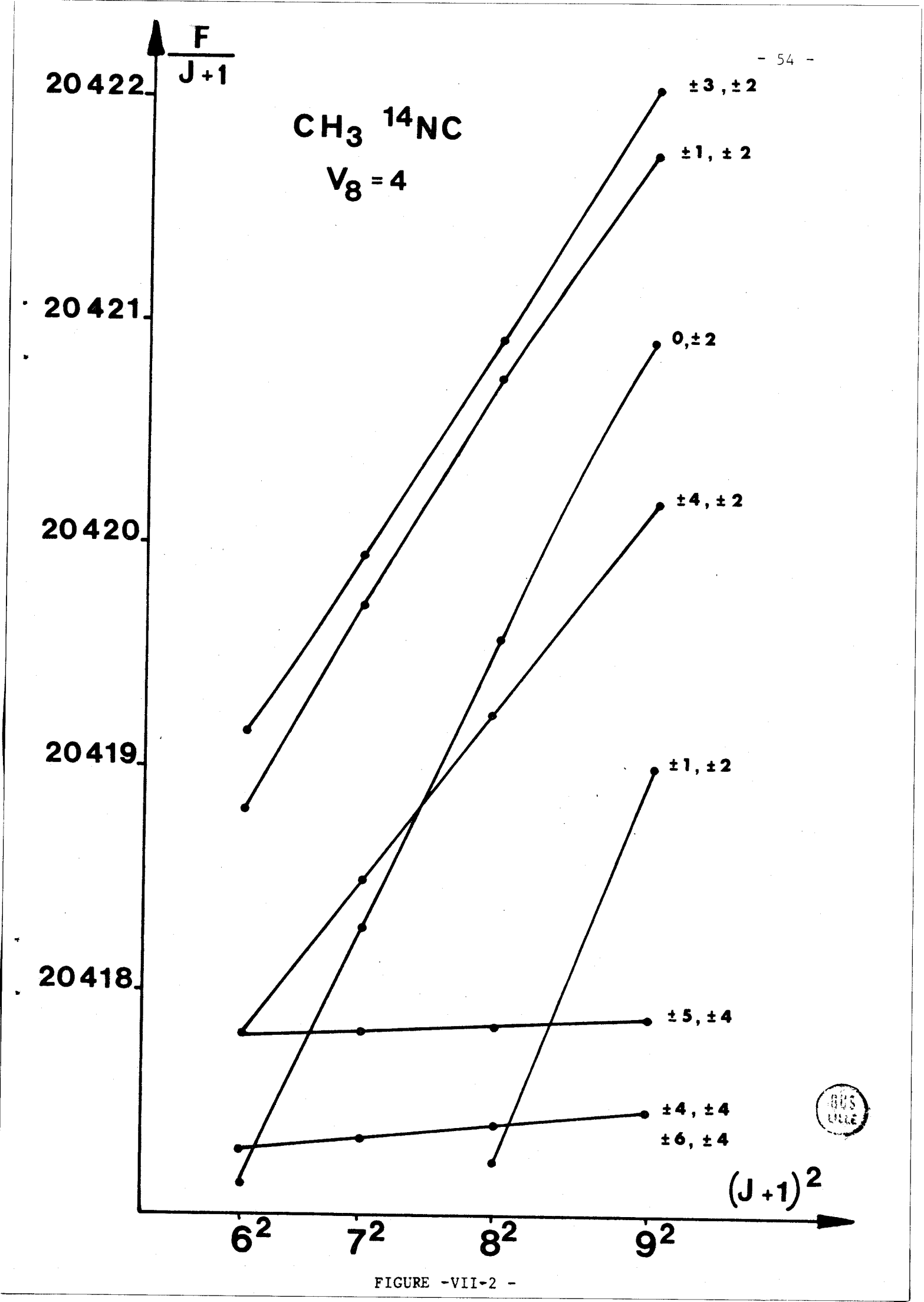
## Spectre de CH<sub>3</sub><sup>14</sup>NC

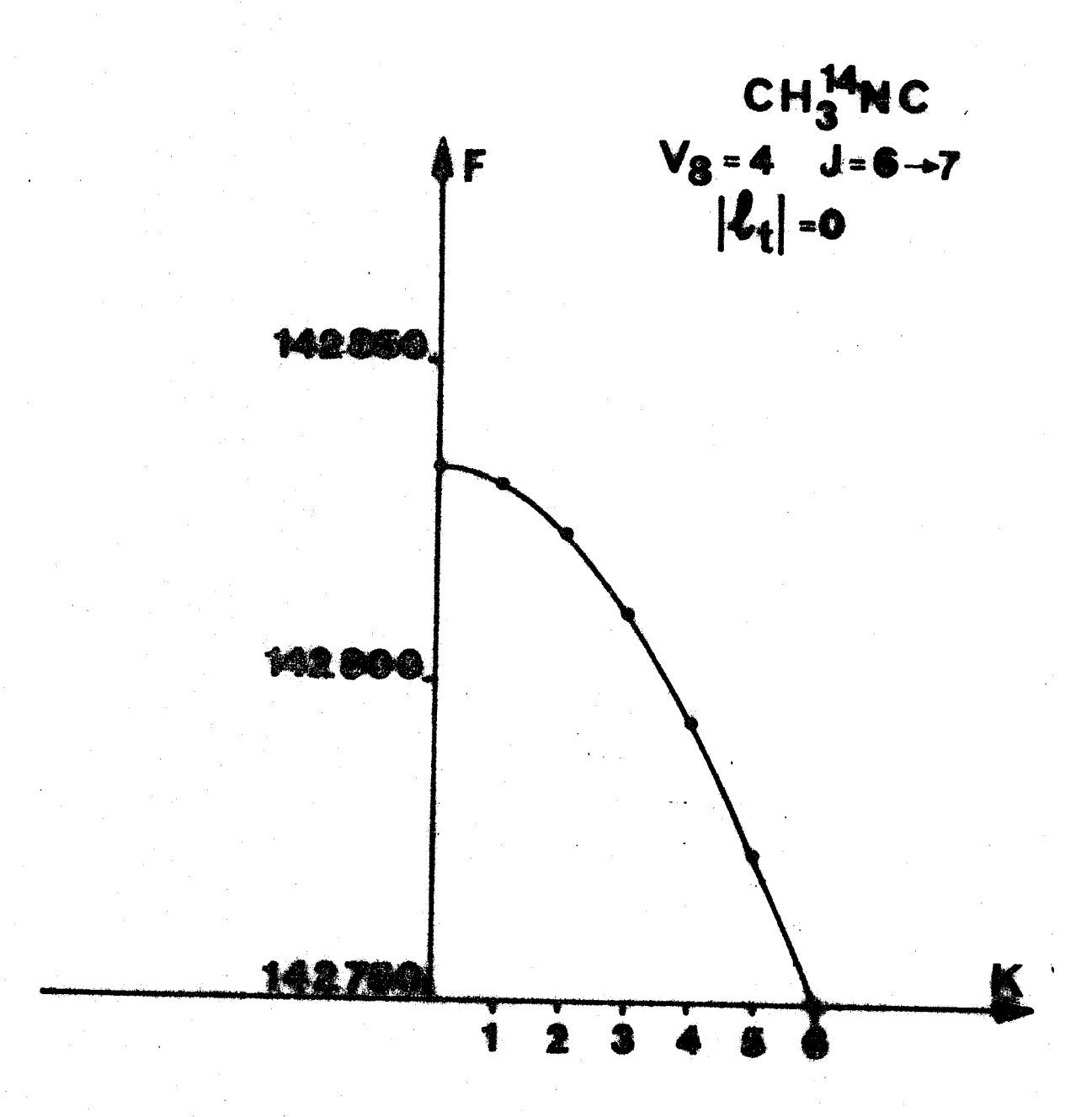
Dans le tableau A6 sont reportées les mesures des transitions J=4 à 9 observées. Les figures (VII 1 et 2) représentant la variation de  $\frac{F}{J+1}$  en fonction de  $(J+1)^2$  pour des raies de même valeur de  $(K,\ell_t)$  montrent une résonance entre les raies  $(\pm 3,\,\pm 2)$  et  $(\pm 1,\,\pm 2)$  et une seconde entre les raies  $(\pm 4,\,\pm 2)$  et  $(0,\,\pm 2)$ . Cette résonance est la même que celle observée dans l'état  $v_g=2$  pour les mêmes raies; elle provient d'un couplage des deux niveaux correspondants avec un troisième par l'intermédiaire des éléments de la forme

< K, 
$$l_t$$
 | H<sup>+</sup> | K ± 2,  $l_t$  ± 2>.

A partir de l'identification obtenue, nous avons effectué un calcul de moindres carrés sur l'ensemble des raies observées (sauf les raies qui résonnent). Les valeurs des constantes de départ du calcul sont, sauf pour  ${}^{\rm EXX}_{{\rm V_8=4}}$ , celles obtenue pour l'état  ${\rm V_8=3}$ .







14601E - VII - 3 -



CH<sub>3</sub> 14NC  $V_8=4$   $J=6\rightarrow 7$  |t|=2

Present - VIII - 4 7

888

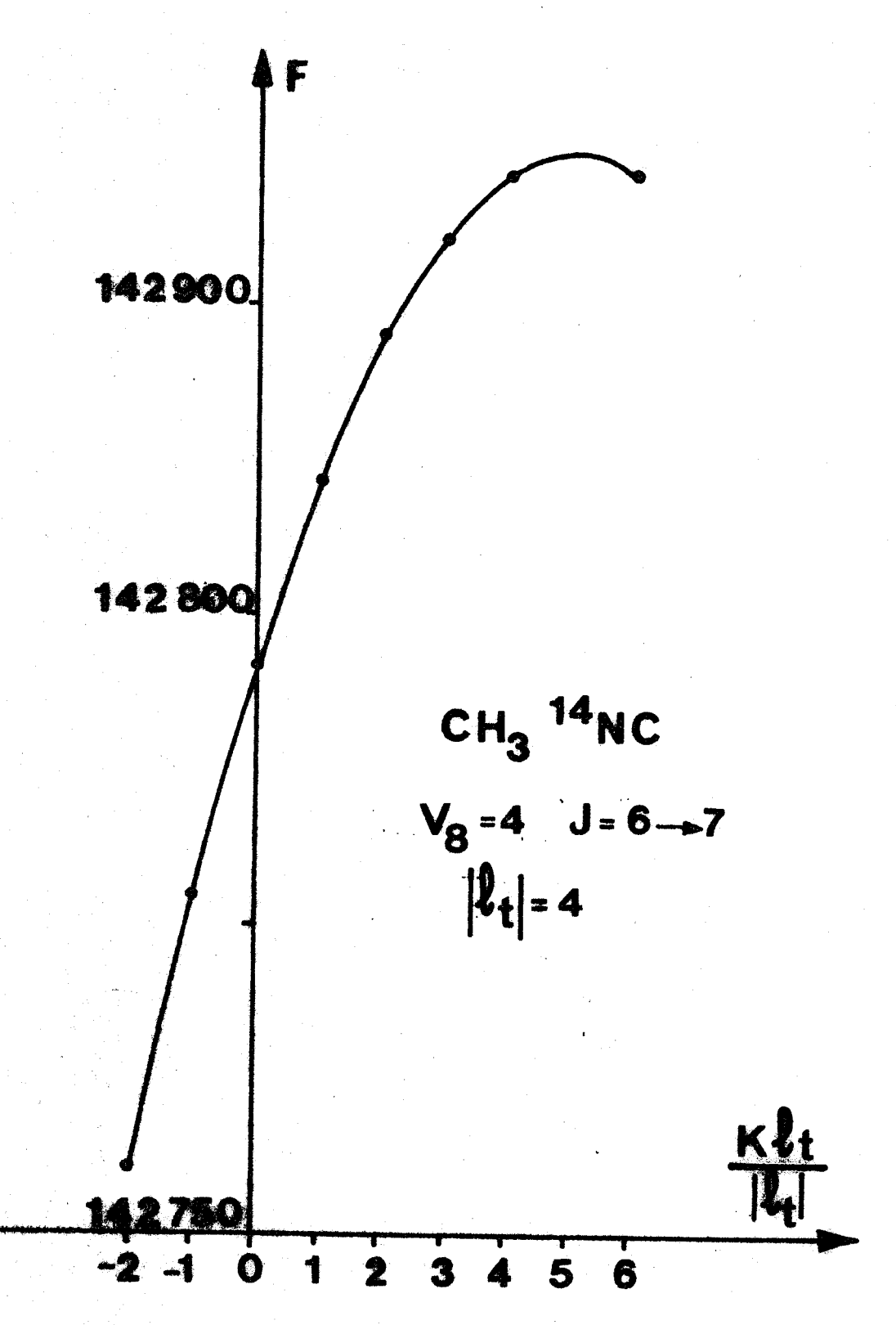


FIGURE - VII - 5 -



En effet, mis à part  $B_{v_8}^{xx}$  qui varie de façon notable avec  $v_8$ , la contribution en fréquence de la variation en  $v_8$  des autres paramètres est inférieure au mégahertz. Pour  $B_{v_8=4}^{xx}$  nous avons calculé sa valeur à partir de celle des autres états excités en calculant sa variation.

D'après G. TARRAGO  $\{4\}$ , la variation de  $B_{V}^{XX}$  avec v s'écrit de la façon suivante:

$$B_{v}^{XX} = B_{e}^{XX} - \sum_{s} \alpha_{s}^{X} (v_{s} + \frac{g_{s}}{2})$$

$$+ \sum_{s,s'} \gamma_{s,s'}^{X} (v_{s} + \frac{g_{s}}{2}) (v_{s'} + \frac{g_{s'}}{2}) + \sum_{t,t'} \gamma_{t}^{X} \ell_{t} \ell_{t'} + \Delta B_{e}^{XX}$$

$$\downarrow_{t \leq t'} k_{t'}^{X} \ell_{t'}^{X} \ell_{t'}^{X$$

si tous les v et  $\ell$  sont nuls sauf  $v_8$  et  $\ell_8$ , on a :

$$B_{v_{8}, l_{8}}^{XX} = B_{e}^{XX} - \alpha_{8}^{X} (v_{8}+1) - \sum_{s \neq 8} \alpha_{s}^{X} \frac{g_{s}}{2}$$

$$+ \gamma_{8,8}^{X} (v_{8}+1)^{2} + \sum_{s \neq 8} \gamma_{s,s}^{X} (\frac{g_{s}}{2})^{2}$$

$$+ \sum_{s \neq 8} \gamma_{8,s}^{X} (v_{8}+1) \frac{g_{s}}{2} + \sum_{s \leq s'} \gamma_{s,s}^{X} (\frac{g_{s}}{2})^{2}$$

$$+ \sum_{s \neq 8} \gamma_{8,s}^{X} (v_{8}+1) \frac{g_{s}}{2} + \sum_{s \leq s'} \gamma_{s,s}^{X} (\frac{g_{s}}{2})^{2}$$

$$+ \sum_{s \neq 8} \gamma_{8,s}^{X} (v_{8}+1) \frac{g_{s}}{2} + \sum_{s \leq s'} \gamma_{s,s}^{X} (\frac{g_{s}}{2})^{2}$$

$$+\gamma_{888}^{x}$$
  $\ell_{8}^{2}$   $\Delta B_{e}^{xx}$ 

Si tous les v et l sont nuls, (ce qui correspond à l'état fondamental) la formule s'écrit de la façon suivante:

$$B_{o}^{XX} = B_{e}^{XX} - \alpha_{8}^{X} - \sum_{s \neq 8} \alpha_{s}^{X} \frac{g_{s}}{2}$$

$$+ \gamma_{8,8}^{X} + \sum_{s \neq 8} \gamma_{s,s}^{X} (\frac{g_{s}}{2})^{2}$$

$$+ \sum_{s} \gamma_{8,s}^{X} \frac{g_{s}}{2} + \sum_{s < s'} \gamma_{s,s'}^{X} \frac{g_{s}}{2} \frac{g_{s'}}{2} + \Delta B_{e}^{XX}.$$

$$s \neq 8$$

$$s \neq 8$$

$$s \neq 8$$

$$s \neq 8$$

D'où 
$$B_{v_8, k_8}^{xx} = B_o^{xx} - \alpha_8^x v_8 + \gamma_{8,8}^x v_8 (v_8 + 2) + v_8 \sum_{s \neq 8}^{r} \gamma_{8,s}^{x} \frac{g_s}{2} + \gamma_{k_8 k_8}^{x} \frac{g_s}{2}$$

$$= B_o^{xx} - \alpha_8^{x} v_8 + \gamma_{8,8}^{x} v_8 (v_8 + 2) + \gamma_{k_8 k_8}^{x} \frac{g_s}{2}$$
avec
$$\alpha_8^{x} = \alpha_8^{x} - \sum_{s \neq 8}^{r} \gamma_{8,s}^{x} \frac{g_s}{2} .$$

Si  $v_8$  est impair,  $\ell_8$  ne peut physiquement être nul; on peut cependant intro-Si v<sub>8</sub> est impair, ...<sub>8</sub>
duire pour le calcul un B<sup>XX</sup>
v<sub>8</sub> impair
l<sub>2</sub>=0 calculé à partir par exemple

de B<sup>XX</sup> par la relation:

V8
impair
L=1

$$B_{v_{8}=0}^{xx} = B_{v_{8}=1}^{xx} - \gamma_{l_{8}l_{8}}$$

Dans ces conditions, on aura quelque soit vg,

$$B_{v_{8}=0}^{xx} - B_{o}^{xx} - \alpha_{8}^{x} v_{8}^{x} + \gamma_{8,8}^{x} v_{8}^{(v_{8}+2)}$$

Si on pose  $\delta B_{\mathbf{v}}^{\mathbf{x}\mathbf{x}} = B_{\mathbf{v}_{\mathbf{q}=\mathbf{v}}}^{\mathbf{x}\mathbf{x}} - B_{\mathbf{v}_{\mathbf{q}=\mathbf{v}-1}}^{\mathbf{x}\mathbf{x}}$ 

on aura  $\delta B_{v}^{XX} = -\alpha_{8}^{1X} + \gamma_{8,8}^{X}$  (2v+1).

La courbe de variation de &Bxx avec 2v+1 semble rectiligne, ce qui confirme l'hypothèse de cette loi de variation\*. Il est alors facile d'obtenir graphiquement  $\delta B_4^{xx}$  (et donc  $B_{v_{8=0}}^{xx}$ ) et aussi les valeurs de  $\alpha'_{8}^{x}$  (par l'ordonnée  $\ell_{8=0}^{x}$ 

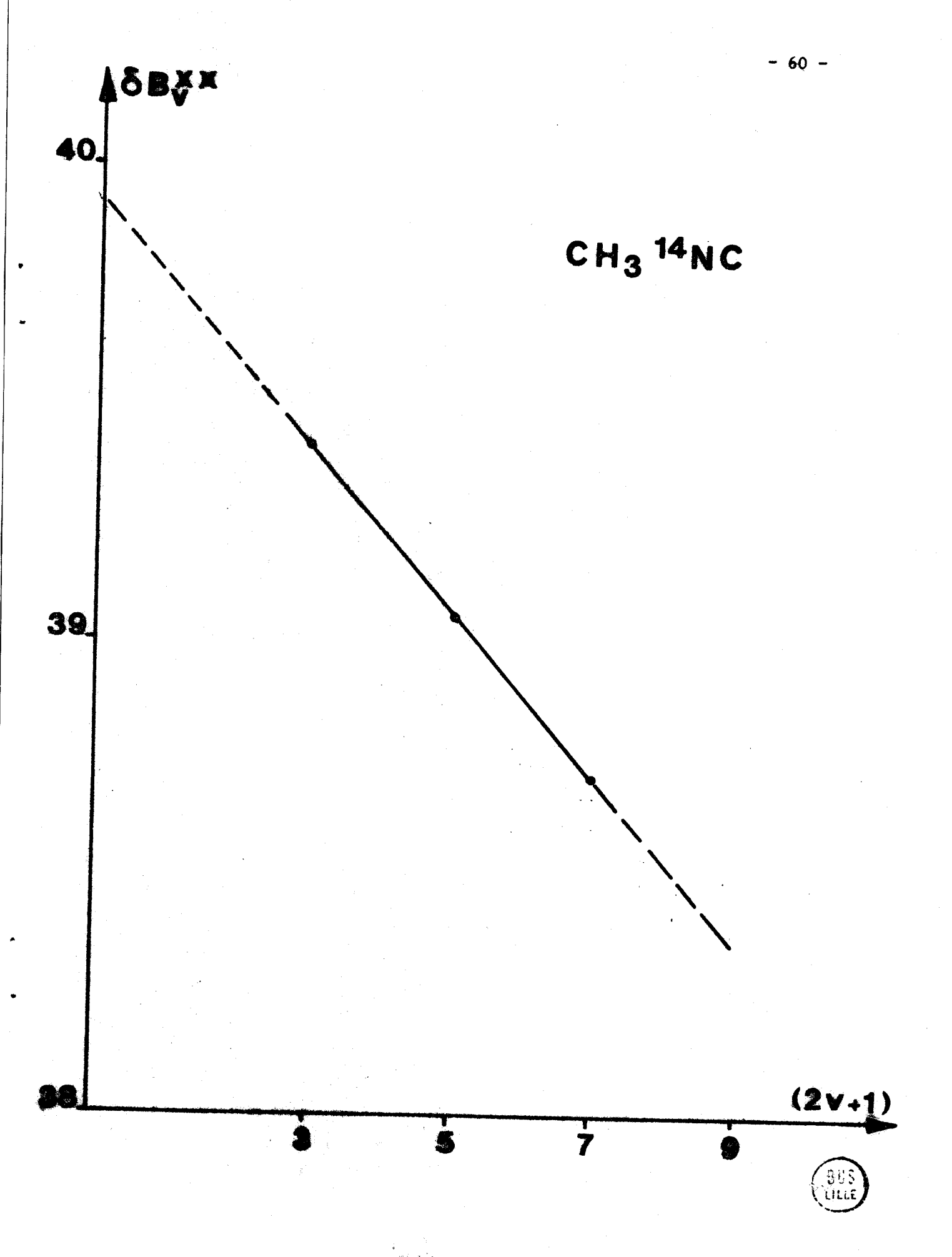
à l'origine) et  $\gamma_{8,8}^{x}$  ( par la pente). ( voir figure VII - 6 - )

Note : \* La valeur de  $B_{v_8=1}^{xx}$  a été calculée à partir de la relation suivante:

$$B^{xx*} = B^{xx}_{v_{8}=1} + \gamma^{x}_{l_{8}l_{8}} - D^{JK}_{e} + \eta^{J}_{t} + \frac{12(q_{1,2}^{8})}{\rho}$$

avec  $B^{XX*}$  et  $D_e^{JK}$  déterminés dans l'étude de  $v_8$ =1 et  $\gamma_{\ell_{\Omega}\ell_{\Omega}}^{X}$ ,  $\eta_t^{J}$  et  $\frac{(q_{1,2}^{\delta})^2}{\rho}$ 

dans celle de l'état  $v_8 = 2$ .



On trouve : 
$$\delta B_{(4)}^{xx} = 38,35 \text{ MHz}$$
;  $B_{v_8=0}^{xx} = 10208,40 \text{ MHz}$   
 $\alpha_8^{x} = -39,93 \text{ MHz}$ ;  $\gamma_{8,8}^{x} = 0,173 \text{ MHz}$ .

Cependant, la résonance affecte trop de niveaux pour que la différence entre raies mesurées et raies calculées par perturbation soit faible: l'écart type obtenu est de 0,4 MHz. (voir tableau A6).

Un calcul de moindres carrés effectué sur les raies de valeur de  $|\ell_8|$  égale à 4 uniquement et qui sont affectées par un seul couplage avec les raies de valeur de  $|\ell_8|$  égale à 2, nous donne un écart type nettement meilleur, mais les constantes obtenues ne sont pas satisfaisantes; elles sont en effet trop différentes de celles des autres états excités pour rendre compte correctement du spectre.

## Spectre de CH<sub>3</sub><sup>15</sup>NC

Les mesures des raies des transitions J  $\rightarrow$  J+1 observées (avec J=4à 7) ont été rapportées dans le tableau B6. Le spectre n'a pu être identifié car d'une part, le phénomène de résonance déjà observé dans le spectre des autres états excités de la méthyle carbylamine est cette fois plus important et d'autre part toutes les raies n'ont pu être observées par suite de leur faible intensité. Cependant après comparaison des spectres de  $CH_3^{14}NC$  et de  $CH_3^{15}NC$ , il a été possible d'identifier les raies de valeur de  $|\ell_8|$  égale à 0 et 4 ainsi que les raies "haute fréquence " des doublets (  $K = \pm 2, \ell_t = \pm 2$ ).

### SPECTRES SECONDAIRES

Pour différentes transitions, nous avons observé à des fréquences plus basses que celles correspondant à l'état fondamental de CH $_3^{14}$ NC et de CH $_3^{15}$ NC des spectres de même allure que nous avons attribué soit à l'état fondamental d'un isotope en  $^{13}$ C, soit l'état excité de vibration non dégénéré v<sub>4</sub>=1. En effet, cet état est celui qui possède la fréquence de vibration non dégénérée la plus basse (v<sub>4</sub>= 944,6 cm $^{-1}$  {24} . La formulation

$$F=2B_v^{xx}(J+1)-2D_e^{JK}(J+1)K^2-4D_e^{J}(J+1)^3$$

s'applique alors à ces raies et il est facile d'en déduire les constantes  $B_{v}^{XX}$ ,  $D_{e}^{J}$  et  $D_{e}^{JK}$ . Nous avons pu attribuer certaines raies aux transitions J=5+6, 6+7 et 7+8 de l'état fondamental de  ${}^{13}CH_{3}^{14}NC$  (voir tableau A7) et d'autres aux transitions J=5+6 et 6+7 de celui de  $CH_{3}^{14}N^{13}C$  (cf tableau A8), après comparaison des valeurs des constantes obtenues par un calcul de moindres carrés avec les valeurs de  $B_{0}^{XX}$  données par THOMAS-HEEKS et SHERIDAN {25}(cf tableau VIII 1 et 2). D'autres groupes de raies mesurées lors de l'étude de  $CH_{3}^{14}NC$  pour les transitions J=5+6, 6+7 et 8+9 ont été attribuées à l'état excité  $v_{4}=1$ . Un calcul de moindres carrés effectué sur les fréquences rapportées dans le tableau A9 donne la valeur des constantes de rotation  $B_{v_{4}=1}^{XX}$  et  $\alpha_{4}^{X}$  (avec  $B_{v_{4}=1}^{XX}=B_{0}^{XX}-\alpha_{4}^{X}$ ) ainsi que celle des coefficients de distorsion centrifuge  $D_{e}^{XX}$  et  $D_{e}^{XX}$  indiquées dans le tableau VIII 3.

Par ailleurs, une comparaison de la disposition des raies du spectre de  $CH_3^{15}NC$  avec celles de  $CH_3^{14}NC$  a permis une identification rapide des spectres des états fondamentaux des isotopes  $^{13}CH_3^{15}NC$ ,  $CH_3^{15}N^{13}C$  et de l'état excité  $v_4$ =1 de  $CH_3^{15}NC$ . De la mesure des raies de  $^{15}CH_3^{15}NC$  et  $CH_3^{15}N^{13}C$  pour la transition  $J = 6 \rightarrow 7$ , (cf tableaux B7 et B8) nous avons déduit la valeur des constantes rapportées dans le tableau VIII 4.

D'autre part, nous avons obtenu les valeurs des constantes  $B_{v_4=1}^{xx}$ ,  $\alpha_4^x$ ,  $D_e^J$  et  $D_e^J$  de  $CH_3^{15}$  NC indiquées dans le tableau VIII 5 par un calcul de moindres carrés effectué sur les fréquences des transitions J=4+5, 5+6 et 6+7 de l'état  $v_4=1$  (voir tableau B9).

Enfin nous avons rassemblé dans le tableau AlO l'ensemble des raies non identifiées.

<sup>13</sup> CH <sub>3</sub> <sup>14</sup> NC	Valeur obtenue par moindres carrés (en MHz)	Valeur donnée par SHERIDAN (en MHz)
B <sub>o</sub> xx	9 771,64	9 771,63
D <sub>e</sub>	0,00445	
D <sup>JK</sup>	0,2148	

#### TABLEAU VIII- ! -

CH <sub>3</sub> 14 13 C	Valeur obtenue par moindres carrés (en MHz)	Valeur donnée par SHERIDAN(en MHz)
B <sub>o</sub> xx	9 695,88	9 695,93
D <sub>e</sub>	0,00440	
D <sub>e</sub> JK	0,2170	

#### TABLEAU VIII - 2 -

	· · · · · · · · · · · · · · · · · · ·
CH <sub>3</sub> 14 <sub>NC</sub> v <sub>4</sub> =1	Valeur obtenue par moindres carrés ( en MHz)
B <sub>v4</sub> =1	9 992,9495
D <sub>e</sub>	0,00470
D <sub>e</sub> JK	0,2253
α <mark>*</mark>	59,9413

	D <sup>JK</sup> (enMHz)	B <sup>XX</sup> -98D <sup>J</sup> (enMHz)
<sup>13</sup> CH <sub>3</sub> <sup>15</sup> NC	0,213	9 760,76
CH <sub>3</sub> 15 <sub>N</sub> 13 <sub>C</sub>	0,215	9 689,73

TABLEAU VIII - 4

CH <sub>3</sub> <sup>15</sup> NC v <sub>4</sub> =1	Valeurs obtenues par moindres carrés ( en MHz)
$B_{v_4=1}^{xx}$	9 984,454
$D_{\mathbf{e}}^{\mathbf{J}}$	0,0048
D <sub>e</sub> JK	0,2246
α <mark>*</mark>	59, 9 <b>2</b> 1

TABLEAU VIII - 5 -

En conclusion, pour les spectres de rotation pure de la méthyle carbylamine dans les états de vibration excitée  $v_8 = 1$  et 2, on peut observer une bonne concordance entre la théorie basée sur le calcul de perturbation et l'expérience, quoique des quasi-dégénérescences apparaissent pour certains niveaux, mais n'affectent alors en fait qu'un faible nombre de raies.

Par contre, l'étude des états  $v_8$  = 3 et 4 s'est révélée plus difficile du fait que le nombre de niveaux perturbés est plus élevé.

Il faut signaler pour  $v_8=3$  l'observation d'un dédoublement des raies  $(K=\pm 3, \ell_t=\pm 3)$  provenant du couplage des niveaux correspondant par l'intermédiaire des niveaux  $(K=\pm 1, \ell_t=\pm 1)$ . Une diagonalisation partielle de la matrice énergie a permis une interprétation de ce dédoublement.

Un calcul exact des niveaux par diagonalisation complète de la matrice énergie est actuellement mis au point au laboratoire et permettra une interprétation correcte de l'ensemble du spectre, y compris les raies affectées par les quasi-dégénérescences; cette méthode exige cependant une connaissance préalable des valeurs approchées des paramètres, ce que permet l'étude par perturbation.

APPENDICES

#### ETAT FONDAMENTAL

$$F = 2(J+1) B_{V=0}^{xx} - 2 (J+1) K^2 D_e^{JK} - 4 (J+1)^3 D_e^J$$

### APPENDICE N° 2

# ETAT EXCITE $v_f = 1$

$$F = 2B^{XX*} (J+1) - 4 D_e^J (J+1)^3 - 2 D_e^{JK} (J+1) (K \ell_t - 1)^2$$

$$+ 2 \rho^* (J+1) (K \ell_t - 1)$$

$$\begin{cases} \pm \left[ 4q_{V}^{t} (J+1) + 8 f_{2,2}^{t,J} (J+1)^{3} \right] \text{si } K \ell_{t} = + 1 \\ + \frac{4(q_{V}^{t})^{2} (J+1)^{3}}{(K \ell_{t} - 1) \mu} \text{si } K \ell_{t} \neq 1 \end{cases}$$

avec 
$$B^{KX} = B_{V_t=1}^{XX} - D_e^{JK} + \eta_t^J - \frac{1,2(q_{1,2}^t)^2}{\rho}$$
;  

$$\rho^* = \eta_t^J - 2 D_e^{JK} - \frac{2(q_V^t)^2}{\mu} - \frac{8(q_{1,2}^t)^2}{\rho}$$
;

οù μ et ρ sont définis dans l'appendice n°6.

# ETAT EXCITE $v_t = 2$

$$\begin{split} & \underbrace{ \sum_{\substack{k \in \mathbb{Z} \\ k \in \mathbb{Z} \\ k \in \mathbb{Z}}^{KX}}_{\substack{k \in \mathbb{Z} \\ k \in \mathbb{Z}}} (J+1) - 4 \underbrace{ D_{\mathbf{e}}^{J} (J+1)^{3} - 2 D_{\mathbf{e}}^{JK} (J+1) }_{\substack{k \in \mathbb{Z} \\ k \in \mathbb{Z} \\ k \in \mathbb{Z}}} \\ & + \frac{16 \left( q_{\mathbf{v}}^{\mathsf{T}} \right)^{2} (J+1)}{k^{2} \mu^{2} - \lambda^{2}} \underbrace{ \left( \lambda \left( J+1 \right)^{2} + \left( 2 \mu - \lambda \right) K^{2} - \lambda \right] }_{\substack{k \in \mathbb{Z} \\ k^{2} \mu^{2} - \lambda^{2}}} \\ & + \frac{16 \left( q_{\mathbf{v}}^{\mathsf{T}} \right)^{2} \underbrace{ \left( J+1 \right)^{2} \left( J+1 \right)^{2} \left( 3 J^{2} + 6 J + 4 \right) + 4 \left[ K^{2} \left( 2 \mu - \lambda \right) - \lambda \right] \left( J+1 \right)^{2} }_{\substack{k \in \mathbb{Z} \\ k^{2} \mu^{2} - \lambda^{2}}} \\ & - K^{2} \left[ K^{2} \left( 4 \mu - \lambda \right) + 2 \mu - 5 \lambda \right] \right) \\ & + \frac{3 \cdot 2 \left( J+1 \right)}{4 K^{2} \rho^{2} - 1} 2^{2} \underbrace{ \left( 4 K^{2} \left[ \left( q_{1,2}^{\mathsf{T}} \right)^{2} \left( \Pi - 2 \rho \right) + 2 \rho \left( q_{1,2}^{\mathsf{T}} \right) \left( d_{1,2}^{\mathsf{T}} \right) \right] + \Pi \left[ \left( q_{1,2}^{\mathsf{T}} \right) - \left( d_{1,2}^{\mathsf{T}} \right) \right]^{2} \right) \\ & + \frac{3 \cdot 2 \left( J+1 \right)}{4 K^{2} \rho^{2} - 1} 2^{2} \underbrace{ \left( J+1 \right) - 4 \left( D_{\mathbf{q}}^{\mathsf{T}} \right) + 2 \rho \left( q_{1,2}^{\mathsf{T}} \right) \left( d_{1,2}^{\mathsf{T}} \right) \right] + \Pi \left[ \left( q_{1,2}^{\mathsf{T}} \right) - \left( d_{1,2}^{\mathsf{T}} \right) \right]^{2} \right) }{ K_{\mathbf{p}}^{\mathsf{T}} \left( K^{\mathsf{T}} \right) + 2 \rho \left( q_{1,2}^{\mathsf{T}} \right) - 4 \underbrace{ D_{\mathbf{q}}^{\mathsf{T}} \left( J+1 \right) K^{2} + 2 \rho }_{\mathbf{p}}^{\mathsf{T}} \left( J+1 \right) K \mathcal{E}_{\mathbf{p}}^{\mathsf{T}} + 2 \rho \chi_{\mathbf{p}}^{\mathsf{T}} \right) + 2 \rho \left( q_{1,2}^{\mathsf{T}} \right) \left( J+1 \right) K^{2} + 2 \rho \chi_{\mathbf{p}}^{\mathsf{T}} \left( J+1 \right) K \mathcal{E}_{\mathbf{p}}^{\mathsf{T}} + 2 \gamma \chi_{\mathbf{p}}^{\mathsf{T}} \right) + 2 \rho \left( q_{1,2}^{\mathsf{T}} \right) \left( J+1 \right) K^{2} + 2 \rho \chi_{\mathbf{p}}^{\mathsf{T}} \right) + 2 \rho \left( q_{1,2}^{\mathsf{T}} \right) \left( J+1 \right) K^{2} + 2 \rho \chi_{\mathbf{p}}^{\mathsf{T}} \right) \left( J+1 \right) K \mathcal{E}_{\mathbf{p}}^{\mathsf{T}} \right) + 2 \rho \left( q_{1,2}^{\mathsf{T}} \right) \left( J+1 \right) K^{2} + 2 \rho \chi_{\mathbf{p}}^{\mathsf{T}} \right) \left( J+1 \right) K \mathcal{E}_{\mathbf{p}}^{\mathsf{T}} \right) + 2 \rho \left( q_{1,2}^{\mathsf{T}} \right) \left( J+1 \right) K^{2} + 2 \rho \chi_{\mathbf{p}}^{\mathsf{T}} \right) \left( J+1 \right) K \mathcal{E}_{\mathbf{p}}^{\mathsf{T}} \right) \left( J+1 \right) \mathcal{E}_{\mathbf{p}}^{\mathsf{T}} \right) + 2 \rho \left( q_{1,2}^{\mathsf{T}} \right) \left( J+1 \right) K^{2} + 2 \rho \chi_{\mathbf{p}}^{\mathsf{T}} \right) \left( J+1 \right) K \mathcal{E}_{\mathbf{p}}^{\mathsf{T}} \right) \left( J+1 \right) \mathcal{E}_{\mathbf{p}}^{\mathsf{T}} \right) \left( J$$

ETAT EXCITE  $V_t = 3$ 

$$F = 2B_{V_{t}=3}^{xx} - 4 D_{e}^{J} (J+1)^{3} - 2D_{e}^{JK} (J+1)K^{2}$$

$$+ 2 \eta_{t}^{J} (J+1) K\ell_{t}$$

$$- \frac{32(q_{1,2}^{t})^{2}(2K\ell_{t}+1)}{\rho} (J+1)$$

$$+ \frac{24[q_{1,2}^{t} (2K\ell_{t}-1)+2d_{1,2}^{t,t}]^{2} (J+1)}{\rho(2K\ell_{t}+1) - 2 \Pi}$$

$$+ \frac{12(J+1) \left[ (J+1)^{2} - (K\ell_{t}+1)^{2} \right] \left[ (q_{V}^{t})^{2} + q_{V}^{t} f_{2,2}^{t,J} (3(J+1)^{2} - K\ell_{t}(K\ell_{t}+2)) \right]}{2\lambda + \mu(K\ell_{t}-1)}$$

Si KL <sub>t</sub> ≠1	+ 1	$6(J+1) \left[ (J+1)^{2} - (K\ell_{t}-1)^{2} \right] \left\{ \frac{(q_{V}^{t})^{2} + q_{V}^{t} + f_{2,2}^{t} \left[ 3(J+1)^{2} - K\ell_{t} (K\ell_{t}-2) \right]}{\mu(K\ell_{t}-1)} \right\}$
Si Kl_= 1	ψ <sup>+</sup>	+8 $q_V^t$ (J+1) + 16 $f_{2,2}^{t,J}$ (J+1) <sup>3</sup>
	ψ	$-8 q_V^t (J+1) - 16 f_{2,2}^{t,J} (J+1)^3$

$$F = 2 B_{V_{t}=1}^{xx} - 4 D_{e}^{J}(J+1)^{3} - 2 D_{e}^{JK} (J+1)K^{2} + 2\eta_{t}^{J} (J+1) KL_{t}$$

+ 16 
$$\gamma_{\ell_{t}\ell_{t}}^{(J+1)}$$

-  $\frac{8(J+1) \left[ (2K\ell_{t}+3)q_{1,2}^{t} + 6d_{1,2}^{t} \right]^{2}}{\rho(2K\ell_{t}+9) - 6\Pi}$ 

+ 4 (J+1) 
$$[9(J+1)^2 - (K\ell_t - 3)^2]$$
  $\left\{ \frac{9(q_V^t)^2 + q_V^t f_{2,2}^t [27(J+1)^2 - K\ell_t (K\ell_t - 6)]}{9 \mu (K\ell_t - 9) + 54 \lambda} \right\}$ 

où  $\lambda,\mu$ , Il et  $\rho$  sont définis dans l'appendixe n° 6.

ETAT EXCITE  $v_t = 4$ 

$$F = 2B_{v_{t=0}}^{xx} (J+1) - 4 D_{e}^{J} (J+1)^{2} - 2 D_{e}^{JK} (J+1)K^{2}$$

$$+\frac{96(J+1)}{4K^{2}\rho^{2}-\Pi^{2}}\left\{4K^{2}\left[(q_{1,2}^{t})^{2}(\Pi-2\rho)+2\rho\ q_{1,2}^{t}\ d_{1,2}^{t,t}\right]+\Pi(q_{1,2}^{t}-d_{1,2}^{t,t})^{2}\right\}$$

+ 
$$\frac{48(q^t)^2(J+1)}{K^2\mu^2-\lambda^2}$$
 [  $\lambda (J+1)^2 + (2 \mu - \lambda) K^2 - \lambda$  ]

+ 
$$\frac{48 q_V^t f_{2,2}^{t,J} (J+1)}{K^2 \mu^2 - \lambda^2} \{\lambda (J+1)^2 (3J^2 + 6J+4) + 4 [(2\mu - \lambda) K^2 - \lambda] (J+1)^2$$

$$- \kappa^{2} [(4\mu - \lambda)\kappa^{2} + 2\mu - 5]$$

où  $\lambda$ ,  $\mu$ ,  $\Pi$  et  $\rho$  sont définis dans l'appendice n°6.

$$\lambda = B_e^{zz} - B_e^{xx} - 2 B_e^{zz} \zeta_t^z + x_{\ell_t \ell_t};$$

$$\mu = B_e^{zz} - B_e^{xx} - B_e^{zz} \zeta_t^z;$$

$$\pi = B_{e}^{zz} - B_{e}^{xx} + 4 B_{e}^{zz} \zeta_{t}^{z} + 4 x_{\ell t};$$

$$\rho = B_e^{zz} - B_e^{xx} + 2 B_e^{zz} \zeta_t^z$$

A P P E N D I C E N ° 7

T A B L E A U X

TABLEAU GENERAL GI
CH<sub>3</sub> 14 NC

CH <sub>3</sub> 14 <sub>NC</sub>	Etat Fondamental	v <sub>8</sub> = 1	V <sub>8</sub> = 2	V <sub>8</sub> = 3	v <sub>8</sub> = 4
B <sub>V</sub> <sub>2</sub> <sub>8</sub> =0	10052,881		10131,344		10208,40
BVL8=1		10091,95		10169,699	·
BXX		10092,311			
D <sub>e</sub>	0,004680	0,004875	0,005090	0,005128	
D <sub>e</sub>	0,2267	0,2269	0,2274	0,2284	
ρ*		0,5402			
9 p		±6,939	±6,996	±6,989	
n <sub>8</sub>			0,5989	0,6015	
Y. 1818			-0,3470	-0,3528	
*18 <sup>1</sup> 8			151882	152306	
q8 1,2			±23,5	±21,3	
d <sup>8,8</sup> 1,2			+ 48,5	+ 45,6	
f <sup>8,J</sup> <sub>2,2</sub>		+0,00004	<del>-</del> 0,0004	+ 0,0001	
Ecart type	0,070	0,100	0,064	0,076	
	· · · · · · · · · · · · · · · · · · ·	· · · · · · · · · · · · · · · · · · ·			



TABLEAU GENERAL GII
CH 3 N C

CH <sub>3</sub> <sup>15</sup> NC	Etat Fondamental	v <sub>8</sub> = 1	V <sub>8</sub> = 3	V8=2
B <sub>v</sub> x V <sub>l</sub> 8=0	10044,329			10 119,849
B <sub>V</sub> <sub>2</sub> <sub>8</sub> =1			10157;387	
B <sup>XX*</sup>		10082,297		
$\mathtt{D}_{\mathbf{e}}^{\mathbf{J}}$	0,004681	0,004873	0,005325	0,005078
D <sub>e</sub> JK	0,2253	0,2254	0,2258	0,2254
<b>*</b>		-0,0154		
8 V		± 7,066	±7,118	±7,660
J <sup>n</sup> 8			0,6543	0,5872
* 1888			-0,4572	-0,3367
<sup>K</sup> L8 <sup>L</sup> 8			149 705	151 951
18 1,2			± 57,8	± 1,9
i <sup>8,8</sup>			+ 115,7	¥ 2, 7
8,J 2,2		<del>+</del> 0,00004	<del>-</del> 0,0001	0,000002
Ecart type	0,077	0,113	0,098	0,096

TABLEAU A 1
CH<sub>3</sub><sup>14</sup>NC

# ETAT FONDAMENTAL

	<del></del>			
	K	F CALCULEE	F MESUREE	FC-FM
J=1→2	0	40211.374	40211.471	-•097
	1	40210.467	40210.511	044
J=2→3	0	60316.780	60316.832	052
	1	60315.419	60315.428	009
	2	60311.339	60311.381	-•042
J=3+4	0	80421.849	80421.910	061
		80420.035	80420 • 062	027
	2	80414.594	80414-660	066
	3	80405.526	80405.504	.022
J=4→5	0	100526.468	100526+541	-•073
	•	100524.201	100524 • 249	048
	2	100517.400	100517•433 .	-•033
	3	100506.065	100506+072	-•007
	4	100490-195	100490 • 163	•032
J=5+6	0	120630.527	120630.590	063
	I	120627.806	120627-852	046
	2	120619.645	120619.652	007
	3	120606.042	120606+034	.008
	4	120586.999	120586.942	.057
	5	120562.515	120562 • 410	.105
J=6+7	0	140733.911	140733.964	053
	1	140730.737	140730.754	017
	2	140721.215	140721 - 228	013
	3	140705.346	140705.322	.024
- 1	4	1406831129	140683.086	•043
1	1			ī



		. ·	*		
	<b>:</b> 	5	140654.564	140654.460	•104
١		6	140619.651	140619.518	•133
1	J=7→8	0	160836.509	160836.531	022
		1	160832.882	160832.910	028
		2	160822.000	160822.044	044
		3	160803.863	160803.840	•023
		4	160778.472	160778 • 415	•057
		5	160745.826	160745.763	•063
		6	160705.926	160705.890	•036
		7	160658.771	160658.664	•107
	J=8→9	0	180938.208	180938 • 283	075
			180934.128	180934.230	102
		2	180921.885	180921•945	060
		3	180901.482	180901-512	030
		4	180872.917	180872 - 874	.043
		5	180836.191	180836 • 073	-118
		6	180791.303	180791 • 271	.032
		7	180738.254	180738-159	.095
		8	180677.043	180677 • 103	060
	J=9+10	0	201038.897	201038+892	•005
		1	201034.363	201034.389	026
		2	201020.760	201020.784	024
		3	200998.090	200998.074	•016
		4	200966.351	200966 • 292	.059
		5	200925.544	200925 • 435	•109
		6	200875.669	200875.605	.064
		7	2008 6.725	200816-694	.031
		8	200748.713	200748.843	130
	•	9	200671.633	200671 • 866	233
		بـــــــــــــــــــــــــــــــــــــ		Commence of the commence of th	Lanca de Salada de Caración de



### TABLEAU B 1

CH<sub>3</sub><sup>15</sup> NC
ETAT FONDAMENTAL

	К	F CALCULEE	F MESUREE	FC-FM
J=1+2	0	40177.165	40177 • 241	076
	1	40176.263	40176.310	-,047
J≃2+3	0	60265.466	60265 • 489	023
	1	60264.114	60264-108	.006
	2	60260.059	60260.090	031
J=3→4	0	80353.430	80353 • 634	204
	1	80351 - 628	80351 • 394	.234
	2	80346.221	80346 • 172	.049
i de la companya de l	3.	80337.211	80337 • 292	081
J <b>≐4</b> →5	0	100440.945	100440 • 980	035
	1	100438.692	100438 • 750	058
	2	100431.934	100431-976	042
	3	100420.671	100420-654	•017
·	4	100404.901	100404 • 882	- 019
J <b>≐</b> 5→6	0	120527.898	120527 • 944	046
	ı	120525.195	120525 • 222	027
	2	120517.085	120517+108	023
	3	120503.569	120503.576	007
	4	120484.646	120484 • 620	.026
	5	120460.316	120460 • 258	•058
J=6→7	0	140614.177	140614 • 268	091
	1	140611.023	140610.970	. •053
	2	140601.562	140601 • 536	•026
	3	140585.793	140585•778	•015
-	4	140563.716	140563 • 634	•082
				ŀ



				- 81 -
	5	140535.331	140535-198	•133
	6	140500.639	140500 - 522	•117
J=7 <del>→</del> 8	0	160699.670	160699.776	106
	1	160696.065	160696 • 107	042
	2	160685.252	160685.280	028
	3	160667.230	160667.220	•010
	4	160642.000	160642.020	020
	5	160609.560	160609.497	.063
	6	160569.912	160569.927	015
	7	160523.055	160523.013	.042
J=8→9	0	180784.264	180784.308	044
	1	180780.209	180780 189	•020
etas.	2	180768.044	180768 • 027	•017
	3	180747.769	180747.699	•070
	4	180719.385	180719.328	•057
	5	180682.890	180682+845	.045
	6	180638.286	180638 283	.003
,	7	180585.572	180585.666	094
	8	180524.748	180524.886	138

TABLEAU A 2

CH<sub>3</sub> 14

NC

Etat excité v<sub>8</sub>= 1

			. 8		
	<b>K</b>	Ke <sub>t</sub>	F calculée	F mesurée	F <sub>c</sub> -F <sub>M</sub>
J= 1→2	1		40424.599	40424.612	-•013
		1	40313.574	40313.630	<b></b> 056
er e	0	1	40366.721	40366.747*	026
	1	-1	40364.403	40364+430	-•027
J= 2→3	1	ı	60636.601	60636.679	-•078
	1		60470.074	60470 • 145	-•071
	2		60556.492	60556+568	-•076
	0		60547.460	60547+451*	•009
	1	•1	60545.148	60545 <b>`</b> 088*	•060
	2	<b>-1</b>	60538.715	60538.745	-•030
J=3→4	1		80848.246	80848.304	-•058
		İ	80626.229	80626 • 270	-•041
	2		80745.790	80745.924*	-•134
	3		80735.808	80735.930 <del>*</del>	-•122
	0		80725.054	80725 • 022#	•032
	1		80724.144	80724 • 112**	•032
	2	-1	80716.292	80716.248*	•044
	3	<b>-1</b>	80703.981	80703.970	•011
J=4÷5	•		101059.414	101059 • 467	-+053
	. 1		100781.924	100781.967	-•043
	2		100938.346	100938 • 477 *	-•131



						•
	f ·	3	1	100922.376	100922.511*	-•135
		4	1	100908.337	100908.426*	-•089
		1	-1	100900.810	100900•746*	•064
		0	ı	100898.455	100898.454*	100•
		2	-1	100892.159	100892.109*	•050
		3	-1	100877.353	100877•298	•055
		4	-1	100857.361	100857.297	•064
	J=5→6	, 1	1	121269.988	121270.074	-•086
		1	1	120937.045	120937.096	051
		2	1	121134.974	121134.748*	•226
	,	3	.1	121110.687	121110.840*	153
		4		121092.133	121092.226*	-•093
		1	-1	121074.562	121074.482*	•080
	,	5	1	121070.926	121070.936	-•010
į		0	1	1.21066.613	121066.946*	-•333
		2	-1	121065.888	121065.762*	•126
		3	-1	121048.975	121048.856	•119
		4	-1	121025.497	121025.364	•133
		5	-1	120996.016	120995.898	•118
	J=6→7	1	1	141479.847	141479;916	-•069
		.1	-1	141091.476	141091.494	-+018
		2	1	141336.489	141335.184*	1.305
		3	1	141301.091	141301•172**	-•081
		4	•	141277.089	141277 • 192**	-•103
		5	ı	141251.171	141251.220	-•049
		1	-1	141244.818	141244.784*	•034
		2	-1	141237.053	141236.940 <del>*</del>	•113
		0	1	141228.480	141229 • 888 **	-1.408
		6	1	141220.675	141220.642	•033
-		3	-1	141218•498	141218.366	•132
•	i					



	•	4	<b>†</b> -1	141191.814	141191.676		- 84
						•138	
		.5	-1	141157.889	141157.770	•119	
		6	!	141117•104	141117.090	•014	
		l	1	161688.872	161688.915	-•043	
i	J=7→8		1	161245.102	161245.221	-•119	
	· i	2	1	161543.705	161539•848*	3 • 857	
		3	I	161493.936	161493.753 <del>*</del>	•183	
		4	1	161463.400	161463.492*	+•092 /₩€	
		5	1.	161432.228	161432.292	064	
	d	1	-1	161410.995	161411.217*	222	
		2	-1	161405.226	161405•178 <del>*</del>	•048	
		6	1	161396.444	161396.442	•002	
		0		161383.008	161387.043*	-4.035	
		3	-1	161385.572	161385.447	•125	
		4	-1	. 161356.007	161355.918	•089	
		7	1	161354.723	161354.646	•077	
		5	-1	161317.858	161317.911	-•053	
		. 6	-1	161271.690	161272.047	-•357	
	1	7	-1	161217.788	161217.963	-•175	
	J=8→9	1	1	181896.945	181896.963	-•018	
		1	: ]	181397.810	181397.901	091	
		2	. 1	181757 • 437	8 748•142*	9 • 295	
		3	1	181689.571	8 688-829*	•742	
		4	1	181651-260	181651•233 <b>*</b>	•027	
		5	1	181614.211	181614.234	-•023	
		6	1	181572.766	181573.167	-•401	
		1	-1	181572.510	181573.167*	-•657	B
		2	<del>-</del> 1	181569.978	181569•975	•003	(11
		3	-1	181549.847	181549.659	•188	
		0	1	181529•149	181538+535*	-9.386	
		•	'	•			•

(B#2)

-	85	-
0	•	

f.						
			181525,039	181525.089	1050	<b>-</b>
	4	-1.	181517.775	181517.697	.078	3
	5	-1	181475.648	181475.565	•083	
	8		181470.221	181470.303	082	
	6	-1	181424.274	181424.391	117	
	7	-1	181364.059	181361.472*		
J= 9→10	1	!	202103.946	202104.009	063	
	1	-1	201549.483	201549.480	•003	
	2	1	201978.499	201959.565#	18.934	1
•	3		201888.344	201886.170*	2.174	
	4	1	201840.860	201840.393*	.467	
	5	1	201797.237	201797.064	•173	
	6	1	201749.712	201749.649	.063	
	1	-1	201728.780	201731.133*	-2.353	
	2	-1	201730.883	201731-133*	250	
	3	-1	201710.973	201711.039	066	
	7	1	201695.699	201695.610	•089	
	0	1	201665.854	201684.900*	-19.046	
•	4	-1	201676.812	201676.806	•006	
.:	5	-1	201630.988	201631.041	-•053	
	6	<b> 1</b> - √	201574.609	201574.704	-•095	
	7	-1	201508.229	201508.602*	-•373	
	8	-1	201432.158	201433.044*	-•886	

TABLEAU B 2

CH 15 NC

Etat excité v<sub>8</sub>=1

		E	Kl <sub>E</sub>	F calculée	F mesurée	F <sub>c</sub> -F <sub>M</sub>
J=1+2		<u> </u>	K	40385.555	40385.636	
					40385.636	-•081
				40272.508	40272.548	040
		0		40325.825	40325.870	045
American and the second desired and the second seco		Marketoner Statement (40 ASSESSMENTAL AS	-,	40324.366	40324.391	025
J=2+3			Liven	60578.036	60578.098	062
	and the second	***	- 1	60408.475	60408.513	038
	CALCARDA MANAGE			60499.800	60499.934	134
	,	0	tame	60484.006	60484.028*	022
		1	e	60484.037	60484.028*	.009
		2	e ]	60478.700	60478.708	008
J=4→5	Total Angelon	ı	1	100961-810	100961.868	058
	No de la Colonia	1	I	100679.256	100679.342	086
		2	1	100855.115	100854.324	•791
		3	l	100829.706	100829.862	156
		4	Í	100815.119	100815.512	-•097
· ·		Ţ	en <b>1</b>	100793.332	100793.346*	014
		5	:••• <b> </b>	100788.383	100788.308*	۰075
		٥		100781.443	100782.330	887
		3	3-0	100775.845	100775.714	•131
Commenter commenter of the constraint of the con		a and a second	O S	100757.566	100757.476	₀090
J=5→6				121152.866	121152.944	078

8	7	-
_	•	

				10		07
ŧ	1	1	120813.840	120813.926	-•086	- 87 <b>-</b>
	2		121044.382	121040.888	3.494	
	3	1	121004.126	121003.984**	•142	
	4	1	120979.767	120979.892*	-•125	
	5		120955.326	120955.408	-•082	
		-1	120940.946	120941.234*	-•288	
	2	-1	120938.263	120938.214*	•049	
	3		120924.844	120924.730	•114	
	0	1	120916.915	120920.570	-3.655	
	4	~ i	120903.887	120903.752	•135	
	5	I	120876.456	120876.282	•174	
J=6→7	ı	ı	141343-210	141343.272	-•062	1
1.	1	1	140947.733	140947.676	•057	
	2	1	141243.601	141233.246*	10.355	
	3	1	141183.171	141182.164*	1.007	
	4	1	141150.264	141150.240*	•024	
	5	I	141119.505	141119.640	-•135	
	6	1	141085.820	141086.031*	-•211	
•	1	1	. 141082.533	141083.906*	-1.373	
	2	1	141083.890	141083;906**	-•016	
	3	ents 🛔	141070.479	141070.430	•049	
	.0	1	141041.032	141051.664*	-10.632	
	4	]	141047.375	141047.240	•135	
	5	~ l	141016.270	141016.184	•086	
	6	**	140977.888	140977.884	•004	
J= 7→8	. 1	!	161532.723	161532.819	-•096	
	1	I	161080.820	161080.929	-•109	
	2	l	161454.429	161429.736 <sup>th</sup>	24.693	(any)
	3 .	1 .	161367.611	161364.501*	3.110	
	4		161324.085	161323.629*	• 456	

<b>b</b>					
	5	1	161285.973	161286.012*	-•039
	2	-1	161224.556	161225.304*	-•748
	1	-1	161217.086	161220.468*	-3.382
	3	-1	161212.189	161212.371*	-•182
	7	1	161200.741	161200.875*	-•134
	4	-1	161187.560	161187.501	•059
	0	ı	161151.902	161176.956	-25.054
	5	-1	161153.194	161153.160	•034
	6	~1	161110.174	161110.293	-•119
	7	-1	161059.041	161059.350	-+309
J= 8→9	1	1	181721.286	181721.253	•033
		. 1	181212+986	181212.939	•047
	2	. [	181678•527	181628.286*	50•241
	4	I.	181501•705	181499.844**	1 • 861
	5	ı	181455.057	181454.622**	• 435
	6	1	181407•486	181407.408	•078
	2	<b>-</b> 1	181359.552	181361•472*	-1.920
	7	1	181355+398	181355.334	•064
	3	<del>-</del> 1	181349.411	181349.994**	-•583
	. 4	-1	181323.968	181324.059	-•091
	0	1	181247.632	181298 • 010*	-50.378
·	5	-1	181286.815	181286.814	•001
	6	-1	181239.496	181239.414	•082

TABLEAU A 3  $CH_3^{14}NC$ ETAT EXCITE  $V_8=1$   $F_0=\frac{F_++F_-}{2}$ 

			$r_0 = \frac{1}{2}$	
	κ	F CALCULEE	F MESUREE	FC-FM
J=1→2	0	40369.103	40369+121	-•018
J=2→3	0	60553.361	60553 • 412	051
	1	60551.999	60552 • 009	010
J=3→4	0	80737.267	80737 • 287	020
	1	80735.451	80735 • 473	022
	2	80730.001	80730 • 021	020
J=4→5	0	100920.705	100920 • 717	012
	!	100918.434	100918 • 465	031
,	2	100911.622	100911+628	006
	3	100900.268	100900 • 267	•001
J=5→6	0	121103.556	121103.585	029
	1	121100.831	121100 • 847	016
	2	121092.657	121092 • 661	004
	3	121079.032	121078.994 .	•038
	4	121059.958	121059.896	•062
J=6+7	0	141285.704	141285.705	001
	1	141282.525	141282 • 536	011
	2	141272.988	141272.978	•010
	3	141257.093	141257.066	•027
•	4	141234.839	141234.793	.046
	5	141206.228	141206 • 159	.069
J=7→8	0	161467.031	161467.068	037
	1	161463.398	161463.445	047
	2	161452.498	161452•485	.013
	3	161434.332	161434.335	003



14	161408.900	161408.869	•031	1
5	161376.201	161376-180	•021	-
6	161336.236	161336.278	042	
0	181647.420	181647 • 432	012	1
1	181643.333	181643.338	005	
3	181610.634	181610.604	•030	
4	181582.023	181581.946	•077	
6	181500-276	181500.327	051	1.
0	201826.754	201826 • 744	.010	1
1 .	201822.213	201822.232	019	
4	201754.090	201754.051	.039	
5	201713.217	201713.227	010	
6	201663.261	201663.325	064	
	5 6 0 1 3 4 6 0 1 4	5   161376.201 6   161336.236 0   181647.420 1   181643.333 3   181610.634 4   181582.023 6   181500.276 0   201826.754 1   201822.213 4   201754.090 5   201713.217	5   161376.201   161376.180 6   161336.236   161336.278 0   181647.420   181647.432 1   181643.333   181643.338 3   181610.634   181610.604 4   181582.023   181581.946 6   181500.276   181500.327 0   201826.754   201826.744 1   201822.213   201822.232 4   201754.090   201754.051 5   201713.217   201713.227	5       161376.201       161376.180       .021         6       161336.236       161336.278      042         0       181647.420       181647.432      012         1       181643.333       181643.338      005         3       181610.634       181610.604       .030         4       181582.023       181581.946       .077         6       181500.276       181500.327      051         0       201826.754       201826.744       .010         1       201822.213       201822.232      019         4       201754.090       201754.051       .039         5       201713.217       201713.227      010         6       201663.261       201663.261       2016653.261

TABLEAU B 3

CH<sub>3</sub> 15 NC

ETAT EXCITE V<sub>8</sub>=1

F<sub>+</sub>+F<sub>-</sub>

		F <sub>0</sub> =		
	к	F CALCULEE	F MESUREE	FC-FM
J=1+2	0	40329.067	40329.092	025
J=2→3	0	60493.306	60493.305	•001
	1	60491.953	60491.981	028
<b>J=4</b> →5	0	100820.608	100820.605	•003
		100818.354	100818+327	.027
	2	100811.589	100811.604	015
	3 .	100800.315	100800.262	.053
J=5→6	0	120983.437	120983+435	•002
	ı	120980.731	120980.729	.002
	2	120972.613	120972.609	.004
	3	120959.084	120959+053	•031
	4	120940.143	120940.069	.074
J=6→7	0	141145.559	141145.474	.085
· §1:	1	141142.402	141142.455	053
· ·	2	141132.932	141133.035	103
	. 3.	141117-148	141117.073	.075
	4	141095.051	141095.035	•016
	5	141066.639	141066.635	•004
J=7- <b>&gt;8</b>	0	161306.859	161306.868	009
	ı	161303.251	161303.346	095
	2	161292.428	161292 • 485	057
	3	161274.389	161274.466	078
	4	161249.135	161249.191	-•057
	6	161176.979	161177.017	038
J <b>=8-&gt;</b> ¶	0	181467.218	181467.096	•122



•	1	1	<b>†</b>	<b>†</b>	- 92
	1	181463.159	181463.148	• 011	
	3	181430.689	181430-658	•031	
	4	181402.278	181402.308	-•030	
	5	181365.749	181365.733	•016	
	6	181321.103	181321.074	.029	

TABLEAU A 4

CH<sub>3</sub> 14 NC - ETAT ENCITE v<sub>8</sub>= 2

		K.L			7
	K	K-	R Colculée	F. Mesurée	F <sub>M</sub> - F <sub>c</sub>
J= 1→2	0	0	40524.495	40524.557	1062°
	1	0	49523.706	40523.782	.076
•		2	40523.860	40523.782 *	075
		-2	40514.083	40514.059	023
	0	2	40520.007	40520.020	.012
J= 2+3	2	2	60789 • 830	60789.771	058
	2	2	60787.924	60788.022	.098
	1-7	2	60786.152	60786.137	015
	0	0	60785.246	60785.215	030
	1 1	0	60784.048	60784.012	035
	2	0	60780.479	60780.406	072
	0	2	60780.466	60780.406 *	060
	1	-2	60771.703	60771.725	.021
<u> </u>	2	- 1 Smm2	60759 • 662	60759.602	059
J= 3→4	2	2	81054.753	81054.692	061
	3	2	81052.041	81052.036	004
•	2	2	81049 • 995	81050.054	•059
	1	2	81048 - 877	81048.867	009
•	0	0	81044.207	81044.250	•043
	1	0	81042.582	81042.604	.021
	0	2	81041.469	81041.447	021
	2	0	81037.738	81037.795	.056
	3	0	81029.773	81029.859*	.086
·	1	-2	81030.015	81029.859*	155
	2	-5	81014.279	81014.282	.002
	3	-2	<b>\$6993.</b> 799	80993.733	065

80\$ unie

J= 4→5	2	2	101321-078	101320.944	133
	3	2	101315+737	101315.721	016
		2	101312-172	101312.157	015
	2	2	101311.577	101311.608	.031
•	4	2	101310+455	101310.432	023
	0	2	1301303-190	101303.151	038
	0	0	101300.789	101300.922	132
. <del>.</del>		0	101298.715	101298.825	•109
	22	0	101292.524	101292.618	.093
	1	-2	101289 242	101289.252	•010
	3	0	101282.316	101282.262	053
	2	-2	101270.086	101270.133	.047
· .	4	0	101268.310	101268.138	172.
	3	-2	101245+245	101245.359	.113
and the desired states of the second	4	-2	.101213.645	101213.607	038
J= 5→6	2	2	121589-139	121588.950	188
•	3	2	121579.882	121579+778	104:
		2	121576.173	121576.084	089
	4	2	121573.337	121573.286	051
	2	2	121572 • 548	121572.556	•008
	0	2	121565.801	121565.766	034
•	5	2	121561 • 239	121561.138*	100
	0	0	121554-413	121554.678	• 265
	1	0	121551-861	121552.098	•237
	<b></b>	-2	121549.602	121549.658	• 055
	2	0	121544.232	121544.350	•118
	- 3	0	121531-614	121531.576	038
	2	-2	21-527-345	121527.538	• 175



	4	- 0	121514.202	121513.944	258
	3	-2	121498.667	121499.044	.377
·	5	0	121492.402	121491.888	513
	4	-2	121462.559	- 121463.088	•529
	5	- 2	121416.350	121416.410*	•059
*J= 6→7	2	2	141859+264	141858,932	n.332 ×
• .	3	2	141844.556	141844.460	096
	. 1	2	141841.010	141840.840	170
	4	2	141836.637	141836.490	146
-	2	2	141832.785	141832.824	.038
	0	2	141829.466	141829.430	036
	5	2	141822.287	141822.110	176
		-2	141811-308	141811.408	•100
	0	0	141804 • 505	141804.826	.320
		0	141801 • 441	141801.686	.245
	6	2	141801.520	141801.686	•166
	2 2	0	141792.267	141792.430	•162
	2	-2	141786.393	141786.766	•373
	3	0	141777.042	141776.978	064
	4	0	141755.898	141755.374	523
	5	0	141729 • 109	141728.230*	878
•	4	-2	141714.798	141716.240 *	1 • 442
•	6	. 0	141697.309	141695.772*	-1.537
- <u> </u>	5	-2	141665.658	141667.988	2.330
J=7→8	.5	2	162131 • 769	162131.331	438
	3	2	162109•835	162109.764	071
	1	2	162106.807	162106.551*	256
	4	2	162100+413	162100.218	194



	0	2	162094.344	162094.278	066
	2	2	162092+167	162092.196	.028
	5	2	162083.703	162083.493	210
		-2	162074.563	162074,808	.245
	5	Ž	162059+710	162059.478	231
•	0	0	162050.507	162051.048	.541
	2	-2	162047.438	162048,135	.697
•	1	0	162046.891	162047.337	•446
	2	. 0	162036.047	162036.339	.291
	7	2	162028 • 432	162028.149	283
	3	0	162017.986	162017.946	039
	3	-2	162012.916	162014.298	1.382
	4	0	161992•732	161992,125	606
	4	-2	/ 161970.876	161973.597	2.721
	5	Ó	161960.338	161959.014	-1.324
	5	-2	161920.972	161926.440	5.467
-	6	0	161920.926	161918.181	-2.744
	6	-2	161861.693	161875.908	14.214
	7	0	161874-839	161869.428	-5.410
	7	-2	161758.938	161760.111*	1 • 172
J= 8→9	2	2	182406.958	187406.342	616.
•	3	8	182375.789	182375.892*	•103
		8	182373.680	182373 - 120*	559
	4	2	182364.717	182364.522 *	195
	0	2	1 <b>82360.</b> 585	182360.373	211
	2	2	182350.572	182350.632	•060
	5	. 2	182345 • 528	182345 • 181	346
	ı	-3	182339.560	182339.850	•289
	. 6	2	182318 - 205	182317.788	417
	2	-2	182310.754	182311.608	.853
		•			



0	0	182291.869	182292.471	.601
1	0	182287 • 657	182288.196	.539
7	2	182282.736	182282.262	474
3	-2	182274.450	182276.511	2.060
2	0	182275+003	182275.323	.319
3	0	182253.845	182253.795	050
8	2	182239.113	182238.624	489
4	-2	182231.288	182235.585	4.296
4	0	182224.055	182223.366	689
5	-2	182183.074	182192.172	9.097
5	0	182185.360	182183.583	-1.777
6	0	182137•131	182133.219	-3.911
		· .		

TABLEAU B 4

CH,	NC	- 1	TAT	EXCI	TE	v,	=	2	

	+	CI	Hand - ETAT EXCIT	$TE v_0 = 2$			`
		Kl t	B W			Ket	
J=1→2	· 0	O K	F. Mesurée 40478.700	J= 5+6	K	K	F. Mesurée
	1.		1	J- J+0	1	2	121456.684
		2	40478.021		3	2	121444.886
	1	0	40478.021		1	2	121441.014
	0	2	40474.201		4	2	12438.004
	1	-2	40468.262	]	2	2	121435.004
3J= 2→3	2	2	60721.636		0	2	121430.358
	. 2	2	60719.250		5	2	121425.488.
		2	60717.726		1	-2	121413.576
	0	0	60716.138		0	0	121412.210
	1	0	60715.022		1	0	121409.942
	0	2	60711.845		2	0	121403.060
	2	. 0	60711.845		3	0	121391.704
at a	I	-2	60703.004		2	-2	121390.452
a debit of which is a significant of a s	2	-2	60690.955		4	0	121376.022
J= 4→5	2	2	101209.364		3 .	-2	121360.852
	3	2	101202.546		5	0	121356.262
-	, i	2	101198.878		4	<b>-</b> 2	121324.084
	. 4	2	101196.966		5	-2	121279.504
	2	2	101196.966	J= 6→7	2	2	141706.992
	0	2	101189.794		3	2	141688.280
	0	.0	101183.634		ţ	. 2	141684.234
•	1 -	0	101181.778		4	2	141679.938
	2	0	101176.226		2	2	141672.330
	ı	-2	101175.392		0	2	141672.330
	3	0	101166.776		5	2	141665.094
	2	-2	101155.846			-2	141653.270
	4	0	101154.072		6	2	141643.628
	3	-2	101130-556		0	0	141636.438
-	4 1	-2	101099.374		ı	0	141633.726

1							99 -
	2 ·	-2	141627.164		7	0	161706.360
	2	0	141625.404	J= 8→9	2	2	182217.876
	3	0	141611.952		3	2	182179.275
	3	-2	141593.282		. 1	2	182174.193
	4	0	141593.282		4	2	182167.251
	5	0	141569.590		0	2	182161.005
	4	-2	141551.424		5	2	182147.064
	6	0	141541.576		2	2	182144.232
•	5	-2	141500.850		`1	-2	182138.277
	6	-2	141440.078		6	2	182118.807
J= 7→8	2	2	161960.631		2	-2	182106.789
	3	2	161933.109		0	0	182068.902
	1	2	161928.711		3	-2	182068.902
	4	2	161923.029		1 .	0	182065 • 167
	0	2	161915.859		2	0	182054.187
	2	2	161908.872		3	0	182035.818
	5	2	161905.611		4	-2	182015.541 885
	1	2	161894.871		4	0	182010.429 LILLE
	6	2	161880.708		5	0	181978 • 017
	2	-2	161865.843		5	2	181954.734
-	0	0	161855.646		6	0	181939.308
٠.	1	0	161852.367				
	7	2	161848.515				
•	. 2	0	161842.875				
	. 3	-2	161828.364				
-	3	0	161826.921				
	4	0	161804.937				
	4	-2	161781.942				
	5	0	161777.118				
	6	0	161744.067				
:	5	-2	161725.878				
	•						

TABLEAU A 5

CH<sub>3</sub> 14 NC - ETAT EXCITE v<sub>8</sub>= 3

		, Kø			1
•	K	Kl K	F. Calculée	F. Mesurée	F <sub>M</sub> -F <sub>c</sub>
J=1+2	0	. 3	40667.714	40667.701	012
J=2→3			61186.573	61186.630	•057
			60851.204	60851.297	•092
	<b>r</b> `	-1	61005.987	61005.693*	294
	2	-1	61003.721	61003.738	.016
	0	3	61001.767	61001.684	082
	0		60999.270	60998.590*	680
.J=3+4	<u></u>	-3	60989.453	60989.464	•011
	ي ين ين		81580.683	81580.713	.029
			81133.622	81133.652	.029
	3	1	81370.517	81371.414 *	•897
	3	3	81361.650	81361.658	•007
	.2	3	81356.985	81356.395	590
, <u>, , , , , , , , , , , , , , , , , , </u>	_	3	81348.468	81348,407	061
	0	3	81336.054	81335.961	093
	2	-1	81330.117	81329.877*	-,240
		-1	81329.865	81329.121*	744
·		-3	81319.699	81319.637	061
4	0	1	81310.970	81309.879*	-1.090
The second secon	2	-3	81299.340	81299.258	-•081
J=. 4→5	1	1	101973.582	101973.592	•000
	1		101414.913	101414.884	028
	2	1	101779.774	101779.394*	379
	3		101727.120	101728 • 606*	1.485
J=. 4+5	0 2 1 1 2	-3	81319.699 81310.970 81299.340 101973.582 101414.913 101779.774	81319.637 81309.879* 81299.258 101973.582 101414.884 101779.394*	0 -1.0 0 0

(81) S

		1 3	3	101702.410	101702.410	•000
		4	1	101699.778	101700.670*	• 821
		2	3	101696.649	101696-622	023
		1	3	101686.082	101686.166	•084
		0	3	101670+653	101670.626	027
•		1	-3	101650.311	to:650.380	•069
		2	-1	101649.513	101548.745*	765
		3	-1	101643.432	101642.792*	639
			-1	101643.941	101642.792	-1.149
		4	-1	101630-233	101630.340	•106
		2	-3	101624.978	101625.064	.086
		0.20	1	101604.359	101604.754*	.394
		3	-3	101594.558	101594.600	.042
J=5→6		l I		122364.969	122364.872	096
			1	121694.794	121694.712	082
		2	l i	122179.625	122171.322*	-8.303
		3	1	122093.019	122094.502*	1.482
		4		122052 - 452	122053.910 *	1.459
		4	3	122044.489	122044.606	•117
		3 .	3	122043 - 399	122043.398	001
		5	3	122039 - 893	122039.906	•013
	:	2	. 3	122036.590	122036.540	049
	-	<u> </u>	3	122024.025	122023.976	049
	* : : : : : : : : : : : : : : : : : : :	5 5	1	122019.394	122020.368*	•973
		0	3	122005.641	122005.584	057
		1	-3	121981.378	121981.288	090
		2	-1	121960.169	121958.686 *	-1.483 (905)
		3	-1	121956.639	121955.746	892
		2	-3	121951.149	121951.124	025
	ŀ	, 1	-1	121945.781	121744.222 *	-1.558

					- 102 -
•	1 4	y -1	121942.979	121942.656	322
•	5	-1	121921.869	121922.116	•247
	3	-3	121914.841	121914.890	• 048
	0	1	121874.893	121883.928*	8.134
***************************************	4	-3	121872.304	121872.320*	•015
J= 6→7	1	1	142754.542	142754.336	205
•			141972 - 987	141972+740	47247
	2	1	142603.350	142573 • 614*	=29.735
	3	,	142470.053	142469.704*	347
	4	1	142412.041	142413 • 694 *	1.653
	4	3	142385.806	142385.904	•093
-	3	3	142384-663	142384.640	022
	5	3	142380.329	142380.376	•047
	2	3	142376+860	142376.830	030
	5		142368-177	142369.608*	1.431
	6	3	142368.262	142368.284	.022
	*	3	142362.361	142362.344	017
	0	3	142341.093	142341.040	053
	1	-3	142312.991	142312.922	069
	2	-3	142277.958	142277.922	035
	3	-1	142261.425	142259.868*	-1.556
•	22	-1	142260.356	142258.422*	-1.933
	4	-1	142248.487	142247.622 *	865
•	-3	-3	142235.869	142235.940	•070
4	1	1,	142232.961	142232.928 *	032
	5	-1	142225.743	142225 • 654*	088
	6_	-1	142195.105	142195•492*	•387
	4	-3	142186,559	142186.572*	•012
	0	1	142118+046	142147.346*	29.300
	5	-3	142129.801	142130.606*	•805

errye BEZ

J= 7→8	1	<b>p</b> 1	163142.002	163141 • 515 *	486	1
	1		162249.213	162248 • 829 *	-,383	) )
	2	ı	163054.870	162981 • 135 *	<del>-</del> 73.734	
·.	. 3		162860+049	162853 • 758 *	-6.291	
	4	1	162779+679	162780 - 435*	.755	
	4	3	162727.381	162727.497	•115	
•	3	3	162726.243	162726.206	052	
	5	ı	162722+573	162724-158 *	1 • 5 8 • 4	
	5	3	162720.970	162721.092	•122	
	2	3	162717.514	162717.540	.026	
	6	3	162707.042	162707.157*	•115	
	1	3	162701 • 153	162701.154	.000	
	7	3	162685.623	162685.641	.017	
	0	3	162677.084	162677.085	•001	
	6	ı	162670.472	162671.757*	1.285	
		-3	162645.236	162645 • 171	064	
	7		162617.278	162617.688	•410	
	2	-3	162605.506	162605.529	.022	
	3	-3	162557.762	162557.904	•142	
	3	-   · · ·	162556.403	162554.442*	-1.961	
	2	-1	162548.350	162546.978*	-1.371	
i	4	-1	162545.568	162544.149*	-1.419	
•	5	-1_	162522.055	162521.490*	565	ľ
_		-1	162503.071	162508.629*	5.558	
· ·	4	-3	162501.824	162501.885	•06n	
•.	6	-1	162488.649	162489.498	. 849	
*	0	ı	162329.316	162402.246	72.929	BUS
J= 8 <b>→</b> 9	1		183527 • 050	183526.203*	846	LULIE
	<b>t</b>	1	182523+193	182522.796*	397	
·	2	1	183538 • 078	183388 • 599 *	- 149.473	
1	3		183264+822	183244 • 974 *	<b>=19.847</b>	

					10-
	4	p 1	183156.494	183153.897*	1 -2.596
	5	1	183083.368	183084-165*	•796
	4	3	183069.249	183069.180*	069
	3	3	183068-183	183068.284*	
	5	3	183061.843	183061.926	•100
	2	3	183058.601	183058.647	•082
	6	3	183045.999		•046
	1	3	183040.463	183046.065	<b>66</b> 66
				183040.449	-•013
	7	3	183021.744	183021-144 *	599
	_ 6	1	183019.478	183021 • 144 *	1.665
٠.	0.	3	183013.686	183013-650	~.036.
	8	3	182989.102	182988.858	243
	1	-3	182978.200	182978 . 175	024
	. 7	<u> </u>	182956 157	182956.527*	•370
	2	-3	182933.896	182933.898	1001
	3	-3	182880.638	182880.516	-,121
	3		182840 • 198	182838.549	-1.649
	4	-1	182833.038	182831 • 463*	-1.574
	2	-1	182822.440	182823.831*	1.390
	5	-1	182809.744	182808.912*	832
	1	-1	182753.715	182772 • 264*	18.549
-	6	-1	182774 • 209	182772 • 264*	-1.944
	0		182504.233	182652.243*	148.009
		<b></b>			

TABLEAU B 5

CH<sub>3</sub> 15<sub>NC</sub> - ETAT EXCITE V<sub>8</sub>= 3

<del></del>		<del></del>			š
		Klt			
J=1→2	K	K	F. Calculée	F. Mesurée	F <sub>M</sub> -F <sub>c</sub>
5-172	0		40618.016	40617 • 005	-135010
	0	-3	40616.084	40616.084	•000
J= 4→5			101849.439	101849-414	024
•		1	101280.633	101280.574	059
	2		101740.842	101725.702*	-15.140
	3	. 1	101638.063	101642.944*	4.880
	4		101591.957	101595.780*	3.823
_	4	3	101575.136	101575-218	•081
	3	3	101574.246	101574-250	
	2	3	101568.510	101568.506	004
4 :		3	101557.951	101557.942	-•009
٠	0	3	101542.437	101542.440	•003
		-3	101521.970	101521.990	.019
	3	-1	101506-195	101504.350*	-1.844
	4	-1	101501.898	101502.058	•159
	2	-3	101496.489	101496.470*	019
	. 2	!	101500.380	101496.470*	-3.910
•		-1.	101475.251	101470 108*	-5.143
	3	-3	101465.927	101466.022	.095
	0	1	101385.025	101400.094	15.069
J= 5→6	1		122215.239	122215.206	033
			121533.019	121533.008	010
	2	1	122181.537	122114.560	-66.976
	3 1	1 1	122010.114	122011+118	1.004

	4	121938-809	121944 - 480 *	5.671
	5 1	121888 • 697	121892 • 646 *	3.948
	4'3	121891-183	121891 • 162	021
	3 3	121890 - 198	121890 • 218	•019
	5 3	121886.407	121886.362	044
	2 3	121883.405	121883.380	024
	1 3	121870.830	121870.824	006
	0 3	121852.318	121852.322	.004
	1 -3	121827.871	121827.816	•055
	2 -3	121797 - 418	121797•396	021
	4 -1	121778.522	121776.754*	-1.767
	.3 -1	121778 993	121774.838	-4.154
	5 -1	121768.040	121768 • 198	•158
	3 -3	121760-878	121760.946	067
<u>.</u>	2 -1	121764-109	121758.324*	-5.784
	4 -3	121718-160	121718.388	.227
	-1	121718+009	121716 • 882*	-1.127
S 20 20 20 20 20 20 20 20 20 20 20 20 20	0 1	121561.669	121628.558*	66.888
J= .6→7		142578.816	142578.730	-•086
		141783.370	141783.304	065
,	2 1	142672 • 484	142501 • 038	-171.446
· -	3	142406.298	142389.730*	-16.567
	4 1	142301+117	142305.228*	4 • 111 •
	5 l	142231.706	142237.538*	5 • 832
	4 3	142207.781	142207.860*	•079
	3 3	142206.746	142206.823*	•076
	5 3	142202-102	142202.052	050
	2 3	142198.943	142198.962	.018
	6 3	142189.748	142189.568	179
	1   3	142184.406	142184.376	030

BB/S

	•	$\sim$	-	
-	-1	U	/	_

	6	1.	142172.965	142176.704	3.739	•
	0	3	142162,952	142162.896	056	
		-3	142134.588	142134.532	-•055	
	2	-3	142099.229	142099 • 146	082	
	3	-3	142056.786	142056 • 806	• 020	
	4	-1	142042.238	142038.346*	-3.892	
	5	-1	142034 • 231	142033.028*	-1,2,03	
•	3	-1	142036.339	142030.384*	-5,954	
	6	-1	142016.005	142016 • 332 *	•326	
	4	-3	142007.152	142007 • 138	013	
	2	-1	142008+091	142003.892*	-4.199	
ر د سعد د د د د د د د د د د د د د د د د د		-1	141932.361	141948-804*	16.443	
J= 7→8			162939.804	162939.558*	245	
	1		162031.351	162031 • 443	•092	
	2		163221.881	162880 • 410 *	-341.470	
	3	<u> </u>	162830 - 550	162772.566*	-57.984	
	4	4	162681.399	162675 • 438 *	-5.960	
	5		162587 • 664	162592.545	4.881	
	4	3	162525.016	162524.973	043	
	3	3	162523.984	162524.135*	•150	
	5	3	1625 8.387	162518.376	010	
	6		162511.935	162517 • 215 *	5.280	
•	2	3	162515•229	162515.403	•174	
	6	3	162504.137	162504.081	056	
٠,	1	- 3	162498+790	162498 • 987	•197	
	7	3	162482.303	162482.031	272	
	O	3	162474.460	162474.438	-+022	•
	7	1	162441.726	162444.033 *	2.307	983) pule)
	• • • • • • • • • • • • • • • • • • •	-3	162442.250	162442•158	091	LILLE
	2	-3	162402.064	162402.081	•017	

		3	<del>)</del> -3	162353.802	162353.685	117	l
		4	-3	162297.346	162297.207	139	
		4	-1	162290.939	162285+714 *	<b>~5.•22</b> 5	
		5	-1	162287.346	162284.850	-2.496	
		6	-1	162270.388	162274.041*	3+653	
		3	-1	162275.710	162270.858 *	-4.852	
	-	2	-1	162229.104	162235.032*	5 • 92 <sub>8</sub> .	
		alk I	-1	162113.669	162161.097*	47.427	
J=8→9				183297.838	183297 • 393 *	445	
	-1	2		183837.839	183252.003*	-585.836	ŀ
		3	1	183286.765	183154.182*	-132.583	
		4		183082 - 147	183050.754*	<b>-31,39</b> 3	
	1-1-2	4	3	182842.975	182843.331 *	•356	
		3	3	182842.005	182840.709	-1.295	
		5	3	182835.338	182835.522	•183	
		2	3	182832.361	182832.513	+152	
	- 	6	3	182819.142	182819-145	•003	Ì
			3	182814.090	182814-123	•033	
		7	3	182794 • 424	182794.005 *	~.419	
	- 1	0	3	182786 • 961	182787 • 102	•141	STATE OF THE STATE OF
		7		182776 • 004	182778 • 432 *	2.428	
		8	3	182761 • 220	182760 • 576 *	-•643	
		. 1	-3	182750.986	182750.967	~•018	
	1	2	-3	182706.061	182705.946	115	
		4	-3	182588 • 907	182588.550	356	
		4	-1	182522.536	182518-611 *	~3,925′	
			1	182494.607	182497•371	2.763	1
		8	-1	182423.953	182455+095 *	31.142	
		1		182257.343	182389-815 *	132.472	1
section and an experience of the section of the sec					the state of the s	Sec. Maria de la companya della companya della companya de la companya della comp	

FALTE BR2

TABLEAU A 6  $CH_3^{14}NC$  ETAT EXCITE  $v_8 = 4$ 

· · · · · · · · · · · · · · · · · · ·	1	<del></del>			
•	K	Ke <sub>t</sub>	F Calculée	F. Mesurée	F <sub>M</sub> - F <sub>c</sub>
J=4→5	1	-2	102065.293	102066.712	1.418
\$	3	0	102039.714	102039.758	.044
J= <sup>7</sup> 5→6	2	2	122540.102	122540.946	.843
	<b>3</b>	2	122514.220	122514.918 *	.697
		2	122512.785	122512.778	007
	5	4	122506.702	122506.796	•094
	4	2	122506.348	122506.796	.448
	. 4	4	122503.866	122503.786	079
	. 0	2	122503.047	122502.804	242
	<b>. 3</b>	4	122495 • 275	122495.242	033
	5	2	122492 • 689	122492.966	.277
	2	2	122492 • 803	122492.966	•163
	l	-2	122485.706	122486.522	•816
	2	4	122481.066	122480.954	-+112
Prima	2	-2	122463.704	122463.110	594
	1	4	122460.977	122460.798	178
	. 0		122448.584	122447.916	668
	1	0	122446.460	122445.814	646
	2	0	122440 . 189	122439.792	396
	0	4	122435.096	122435.026	070
	3	9	122429.996	122430.018	.028
J= 6→7	2	2	142979.695	142980.670	.974
1	3	2	142938.447	142939.648	1.201



		<b>A</b> 0	1 1400 444	<b></b>	
	1	2	142938 - 664	142938.104	560
	4	2	142928,564	142929.454	. 889
	0	2	142928.624	142928.012	611
	5	4	142924.784	142924.712	071
	. 4	4	142921.546	142921,348 *	198
	6	4	142921.372	142921.348	024
	5	2	142912.045	142912.730	.684
		-2	142912.819	142912.730	089^
	1.	-2	142910-105	142910.986	•880
	3, 3,	4	142911-600	142910.986	614
	2	2	142904.099	142903.970	129
	2	4	142895 • 106	142894.920	185
	6	2	142889 • 122	142889.484	.362
	2	-2	142886.738	142885.414	-1.325
	1	4	142871 • 757	142871.732	024
	3	-2	142853.589	142851.602	-1.986
	0	4	142841-659	142841.664	• 0,04
	0	0	142834.368	142833.330	-1.038
		0	142831 • 686	142830 • 520	-1.1654
	2	0	142823.731	142823.086	644
	3	0	142810-676	142810.734	•058
	4	-2	142810.278	142808.196	-2.081
	1	-4	142804.755	142804.678	077
_	4	0	142792 • 988	142793.746	.758
	5	0	142771 • 519	142773.212	1.692
	2	-4	142760.992	142760.984	008
	6 .	0	142748 • 022	142750.000 *	1.977
: <b>4</b>	5	-2	142752.759	142750.000 *	-2.759
J= 7→8	2	2	163426 • 728	163427.649	.921
	3	2	163365.046	163367.307 *	2.261



4 . L	2	163367.784	163365.948 *	-1.836
0	2	163358.046	163356.642 *	-1-403
4	2	163352.834	163354.203 *	1.369
. 5	4	163342.997	163342.674	322
6	4	163339.011	163339.221	.210
4 .	4	163339+390	163339.221 *	169
11.	-2	163342.237	163339,221	-3.015,
,	-2	163339.135	163337.850	-1.285
5	. 2	1,63333.187	163334.220	1.0330
3	4	163328 • 124	163327.707 *	4170
7	4	163327.460	163327.707	.247
2	2	163313.479	163312.929	549
2	-2	163315.457	163312.929	-2.528
2	4	163309+381	163309.110	271
1	4	163282.814	163282.092	-,721
3	-2	163281.835.	163278.114	-3.721
0	4	163248 • 543	163248.339	204
4	-2	163238.749	163234.653	-4.096
	0	163209.919	163208.451	-1.467
	0	163206.584	163205.265	-1.319
2	0	163196.652	163195.881	771
3	0	163180.211	163180.374	.163
4.	O	163157.568	163158.963	1.395
2	-4	163156.640	163156.701	•061
J= 8÷9 2	2.	183882.222	183882.606	•384
<b>3</b> , ,	2	183794.341	183798.402	4.061
	2	183800.587	183795.840	-4.747
0	2	183791.840	183788.211	-3.628
4	2	183779.435	. 183781.695	2.259
5	4	183761.354	183760.908	446

BUS

5	2	183756.356	183757,329		.972
4	4	183757.416	183757.329	*	086
6	4	183756.760	183757.329	*	•569
7	4	183743.662	183745.068	*	l • 406.
3	4	183744.869	183745.068	*	•198
6	2	183725.325	183726.540		1.215
2	4	. 183723.921	183723.525		396
2	2	183720.672	183720.069		602
3	-2	183718.238	183711.018		#7.219'
4	-2	183677.920	183669.705		-8.214
0.	4	183655.789	183655.404		384
8	2	183639.191	183638.604		587
0	0	183573.819	183572.433		-1.386
	0	183569.725	183568.488		-1.237
2	0	183557•484	183557.148		<b>~•3</b> 35
2	-4	183552.762	183552.741		021
3	0	183537.052	183537.966		•913

## ETAT EXCITE V<sub>8</sub> = 4

TABLEAU B6

Transition	K	Ke <sub>t</sub>	Fréquence mesurée	transition	K	Ke <sub>t</sub>	Fréquence mesurée
J = 4→5	4	4	101 943,200	J = 6→7	2	2	142802,648
			101 924,400			-	142 752,222
			101 859,0				142 745,174
J = 5→6			122 386				142 740,616
	2	2	122 383,648				142 734,142
			122 351,098		5	4	142 725,620
			122 346,638		4	4	142 722,488
40 - 1 - 1 - 1 - 1 - 1 - 1 - 1 - 1 - 1 -		1	122 342,288		3	4	142 714,850
	5	4	122 335,656				142 712,794
	4	4	122 332,694		2	4	142 702,336
	3	4	122 327,540				142 698,042
		1.	122 324,280				142 696,294
			122 320,626		-		142 685,504
			122 318,122				142 680
	2	4	122 317,040			`	142 673,532
F			122 310,086				142 672,360
			122 292,014				142 647,640
			122 290,518				142 642,868
			12/2 289,558		0	4	142 610,844
			122 264,134		0	0	142 609,220
	0	0	122 262,576			"	142 605,950
	1	0	122 261,274		2	0	142 604,596
	2	0	122 257,648				142 600,626
eri Postantini			122 251,452				142 597,054
	3	0	122 243,276		3		142 586,888
	0	4	122 232,790		3	1	142 562,080
	4	0	122 216,508			}	142 559,238
			122 194,816	J = 7→8	2	2	
			122 171,302				163 261,116 (88) 163 145,349 (HULE)
		1	122 149,9				163 121,277
					5	4	163 115,811
					4	4	163 112,890
	1	#			-	*	142,000

Transition	K	Kl	Fréquence mesurée		
	3	4	163 101,837		* of an in
			163 099,776		
			163 092		
	<b>2</b>	4	163 086,6		
			163 084,050		
			163 082,61		
			163 071,3		
		1	163 056,6		
			163 055,1		
			163 021,980		
	0	4	162 991,335		
		<b>.</b>	162 946,503		
	0	0	162 944,616		
			•		

TABLEAU A 7 13<sub>CH<sub>3</sub></sub>14<sub>N</sub>12<sub>C</sub>

ETAT FONDAMENTAL								
	К	F CALCULEE	F MESUREE	FC-FM				
J=5→6	0	117255.865	117255.892	027				
	1	117253.288	117253.284	.004				
	2	117245.555	117245.582	027				
	3	117232.667	117232 • 688	021				
	4	117214.624	117214-652	028				
J <b>≑6</b> →7	0	136796.889	136796.916	027				
	1	136793.881	136793.880	•001				
	2	136784.860	136784.830	•030				
	3	136769.824	136769.760	.064				
	4	136748.775	136748.724	•051				
J=7→8	0	175876.585	175876 • 506	•079				
	1,	175872.719	175872.717	•002				
	2	175861.120	175861 • 224	-•104				
	3.	175841.788	175841.805	017				
	4	175814.724	175814.790	066				
	5	175779.927	175779 • 750	.177				
	6	175737:398	175737 • 495	097				



TABLEAU A 8

#### ETAT FONDAMENTAL

	K	F CALCULEE	F MESUREE	FC-FM
			, MEJOREE	rc-rn
J=5→6	0	116346.784	116346.860	076
	1	116344.179	116344.084	.095
	2	116336.366	116336.370	004
	3	116323.343	116323.360	017
,	4	116305.110	116305-108	.002
J=6→7	0	135736.313	135736.334	021
	1	135733.274	135733.236	•038
	2	135724.158	135724•116	.042
· a .	3	135708.965	135709 076	111
	4	135687.694	135687 • 642	.052

TABLEAU A 9
CH<sub>3</sub> 14<sub>NC</sub>

ETAT	EXCITE	$V_{i} = 1$
------	--------	-------------

		ETAT EXCITE V	7,=1	
	K	F CALCULEE	F MESUREE	FC-FM
J=4→5	0	99927.149	99927 • 244	095
	1	99924.896	99924-810	.086
	2	99918.138	99918-102	.036
	3	99906.873	99906.944	071
J=5-+6	0	119911-335	119911-328	•007
	1	119908-632	119908+618	-014
	2	119900-522	119900+498	.024
	3	119887.005	119886.495.6	•049
	4	119868.081	119868-302	221
J=6→7	0	130894.844	139894 • 798	.046
	1	139691.690	139891 • 634	.056
	2	139982.228	139882+196	.032
	3	139866.458	139866 • 414	.044
	4	139844.380	139844.562 .	182
	5	139815+995	139815+896	•099
	6	139781.301	139781 • 188	113
J=7 <b>→8</b>	0	179859.374	179859+318	.056
	1	179855.319	179855 • 271	.048
	2	179843.153	179843+184	031
	3	179822.878	17 <del>9</del> 822•898	020
	4	179794.492	179794.638	146
	5	179757.996	179758 • 002	006
	6	179713.390	179713.344	.046

BUS

# <sup>13</sup>CH<sub>3</sub> <sup>15</sup>N<sup>12</sup>C

## ETAT FONDAMENTAL

## TABLEAU B7

Transition	K	Fréquences mesurées
J = 6→7	0	136 650,664
	1	136 647,740
en e	2	136 638,826
	3	136 623,894
	4	136 602,942

12 CH<sub>3</sub> 15 N 13<sub>C</sub>

TABLEAU

B8

Transition	<b>K</b>	Fréquences mesurées
J = 6→7	0	135 656,268
	1	135 653,288
	2	135 644, 186
Francisco Santa	3	135 600,156
	4	136 482,046
	5	<b>136</b> 580,944
	6	135 547,768

TABLEAU B 9

CH<sub>3</sub> NC

ETAT EXCITE V<sub>4</sub>= 1

				<u> </u>
	K	F CALCULEE	F MESUREE	FC-FM
J=4→5	0	99842-108	99842.072	•036
J=5+6	0	119809.274	119809+340	066
	1	119806.578	119806+584	006
	2	119798.492	119798 • 462	.030
	3	119785.015	119784-970	•045
	4	119766.147	119766.200	133
	5	119741.889	119741-814	•075
J=6→7	0	139775.755	139775 • 688	•067
a a a a a a a a a a a a a a a a a a a	1	139772.610	139772.666	056
	2	139763.176	139763-106	•070
	3	139747.453	139747.422	•031
	4	139725.441	139725-612	171
	5	139697-139	139697 • 058	•081

#### RAIES NON IDENTIFIEES

## TABLEAU A10

	60	624,453			140	417,21	8	
	99	875,482		1	140	448,82	8	
	120	308,292			140	463,02	0	
	120	310,292		1	140	467,69	2	
	120	314,880			140	477,39	6	
	120	379,058			140	479,94	2	
	120	380,714			140	484,94	0	
	120	385,894			142	327,08	32	
	120	398,446			162	171,41	1	
	120	402,152			162	366,16	2	
	120	403,748			181	182,86	4	
	120	404,286			181	351,39	5	
•	120	410,572			181	525,08	39	
	120	412,772			181	716		
	120	416,578			182	082,28	32	
	120	416,884			182	866,22	27	
	120	420,046			183	309,70	)5.	
	136	121,260						
	136	127,764		1				
.s	136	135,270						
	136	164,972						
	140	202,566						
	140	234,056						
	140	298,200						
	140	315,478						
	140	323,602						
1	140	329,258						
	140	344,210						
	140	347,974						
	140	358,186						
	140	360,552						

140 380,500



#### - BIBLIOGRAPHIE -

{ 1}	G. AMAT & H.H. NIELSEN	
	J1 chem. Phys., 29, 665	(1958)
{ 2 }	S. MAES	
	Cahiers Phys., <u>14</u> , 125	(1960)
{ 3 }	S.K. KURTZ	
	Thèse, Université d'Etat de l'Ohio, Colombus, Ohio	(1960)
{ 4}	G. TARRAGO	
	Cahiers Phys. <u>N°176, 177</u> , 150	(1965)
{ 5 }	B.T. DARLING & D.M. DENNISSON	
	Phys. Rev. <u>57</u> , 128	(1940)
{ 6}	R. WERTHEIMER	
	Séminaire LILLE	(1973)
{ 7}	G. AMAT, H.H. NIELSEN & G. TARRAGO	
	Monographie, Marcel Dekker, Inc. New York	(1969)
{ 8}	G. AMAT	
	Cr. Ac. Sc. $250$ , 439	(1960)
{ 9}	G. TARRAGO	
	Communication privée	(1972)
{10}	S.N.GOSH, R. TRAMBARVLO, W. CORDY	
	J. Chem. Phys. $\underline{21}$ , 308	(1953)
{11}	R.L. WILLIAMS	
	J. Chem. Phys. 25, 656	(1956)
{12}	M.K.KEMP, J.M.POCHAM, W.H.FLYGARE	
	Journal of Physical Chemistry 71, 765	(1967)
{13}	A. BAUER & M.BOGEY	
1	Cr. Ac. Sc. 2713, 892	(1970)
	A. BAUER, M. BOGEY, & S. MAES	44.5
• ;	Journal de Physique, 32, 763	(1971)
{15}	A. BAUER	4
	Thèse 3ème cycle Lille	(1964)
{16}	M.L. GRENIER-BESSON & G. AMAT	
	J. Mol. Spectroscopy $8, 22$	(1962)
{17}	A. BAUER	/10=11
(10)	J. Mol. Spectroscopy <u>40</u> , 183	(1971)
{18}	G. TARRAGO	(1070)
	J. Mol. Spectroscopy $34$ , 23	(1970)

{19}	H.H. NIELSEN	
{ 13 }		
	J. Phys. Rad $\underline{15}$ , 601	(1954)
{20}	M. GODON	
	Rapport D.E.A. Lille	(1971)
{21}	C.C. COSTAIN	
	J1. Chem. Phys. 29, 864	(1958)
{22}	M. BOGEY	
	Rapport D.E.A. Lille	(1970)
{23}	A. BAUER	
	Communication privée	(1973)
{24}	R.L. WILLIAMS	
	J1. Chem. Phys <u>25</u> , 656	(1956)
{25}	L.F. THOMAS, J.S. HEEKS & J. SHERIDAN	
	Archives Sciences Genève 10, 180	(1957)

